

Է. Դ. ԳԱԶԱԶՅԱՆ

ԱՆՏԵՆԱՅԻՆ
ՀԱՄԱԿԱՐԳԵՐԻ
ԱՆԱԼԻԶԸ ԵՎ ՍԻՆԹԵԶԸ

Ռսումնաօժանդակ ձեռնարկ

ԵՐԵՎԱՆ

ԵՐԵՎԱՆԻ ՊԵՏԱԿԱՆ ՀԱՄԱԼՍԱՐԱՆ
Աւիացային պրոցեսների տեսութային և
ֆիզիկայի ամբիոն

Է. Դ. ԳԱԶԱԶՅԱՆ

ԱՆՏԵՆԱՅԻՆ ՀԱՄԱԿԱՐԳԵՐԻ ԱՆԱԼԻԶԸ

ԵՎ ՍԻՆՏԵԶԸ

/անտենաների պարամետրերի հաշվարկի
և չափման տեսութային հարցեր/

Ուսումնաստժանողակ ժեռնարկ

ԵՐԵՎԱՆԻ ՀԱՄԱԼՍԱՐԱՆԻ ՀՐԱՏԱՐԱԿԶՈՒԹՅՈՒՆ

ԵՐԵՎԱՆ - 1 9 8 3

Ն Ե Ր Ա Տ ՈՒ Թ Յ ՈՒ Ն

Ձեռնարկվում քննարկվում են անտենաների պարամետրերի հաշվարկի և չափման ժամանակակից տեսությունը: Նախատեսվում է ռադիոֆիզիկայի ֆակուլտետի բարձր կուրսերի ուսանողների համար:

Газазян Эдмонд Давидович
АНАЛИЗ И СИНТЕЗ АНТЕННЫХ СИСТЕМ
Учебно-вспомогательное пособие
(На армянском языке)

Издательство Ереванского университета
Ереван - 1983.

Դիֆրակցիայի մաթեմատիկական տեսության խնդիրները պատկանում են մաթեմատիկական ֆիզիկայի առավել դժվար խնդիրների դասին, և շատ հազմադեպ է հաջողվում լուծել սրանք մաթեմատիկական ամենայն հստակությամբ: Առաջինը այդպիսի խնդիր ,այն է՝ կիսաանոնը, հաղորդիչ հարթ էկրանի եզրին հարթ ալիքի դիֆրակցիայի խնդիրը լուծեց Ջոնսթոնը 1896թ.: Այս աշխատանքով նա հիմք դրեց դիֆրակցիայի ժամանակակից մաթեմատիկական տեսությանը: Մինչ այժմ մաթեմատիկական խիստ լուծումներ ունեն դիֆրակցիայի միայն մի քանի խնդիրներ: Դրանք են՝ դիֆրակցիան գուլգահեռ հարթությունների շրջանային անվերջ գլանի, պարաբոլային գլանի, պարաբոլիդի /ֆոկ/, զնդի /Մի/ վրա, ճառագայթումը հարթ և շրջանային կիսանվերջ՝ ալիքատարների Քացվածքից /վայնշտեյն/:

Ներկա դասընթացը անվանվում է անտենաների պարամետրերի հաշվարկի և չափման տեսության հարցեր: Անտենայի Քացվածքի ճառագայթումը ալիքների դիֆրակցիա է /էլեկտրամագնիսական ալիքների, եթե խոսքը գնում է լույսի կամ ռադիոալիքների մասին/ այդ Քացվածքի եզրերին: Լուծել նման խնդիր, նշանակում է սպառիչ պատասխան առլ անտենայի ճառագայթման դաշտի նրա ուղղորդվածության վերաբերյալ և այլն: Բայց, ինչպես վերը նշվեց, խիստ սահմանափակ թվով դիֆրակցիոն խնդիրներ ունեն ճշգրիտ լուծումներ: Անտենաներին վերաբերող խնդիրները պատկանում են, թերևս, ամենաբարդ խնդիրների շարքին, որոնք մաթեմատիկական իմաստով Քացարձակ ճշգրտությամբ լուծելը գրեթե անհնար է: Այսպիսով, հատուկ նշանակություն են ստանում այն մեթոդները, որոնք հիմնվելով երևույթի ֆիզիկական կողմի վրա, հնարավորություն են րնձեռում ստանալ Քավարար ճշտության մոտավոր լուծումներ. րնդ որում, այդ լուծումները հաճախ գերադասելի են թե իրենց ֆիզիկական ակնբերականությամբ, և թե հաշվարկային տեսակետից: Հասկանալի է, հետևաբար, որ մոտարկային մեթոդները ներկայումս մեծ դեր են խաղում դիֆրակցիայի տեսության և անտենաների ֆիզիկայի հարցերում:

Ինչպես ասվեց, մոտարկային մեթոդները հիմնվում են երևույթների ֆիզիկական էություն վրա: Հենց այս ձևով ստեղծվեց դիֆրակցիայի Կիրսեմ-Ֆի մոտավոր տեսությունը: Այն ելնում է Հյուլյգենս-Ֆրենելի սկզբունքից և հաճախ անվանվում է Հյուլյգենս-Կիրսեմ-Ֆի մեթոդ: Ըստ երևույթին, սա դիֆրակցիայի մոտարկային տեսություններից ամենատարբերն է: Անտենաների ֆիզիկայում այն գտնել է գործնական լայն կիրառություն:

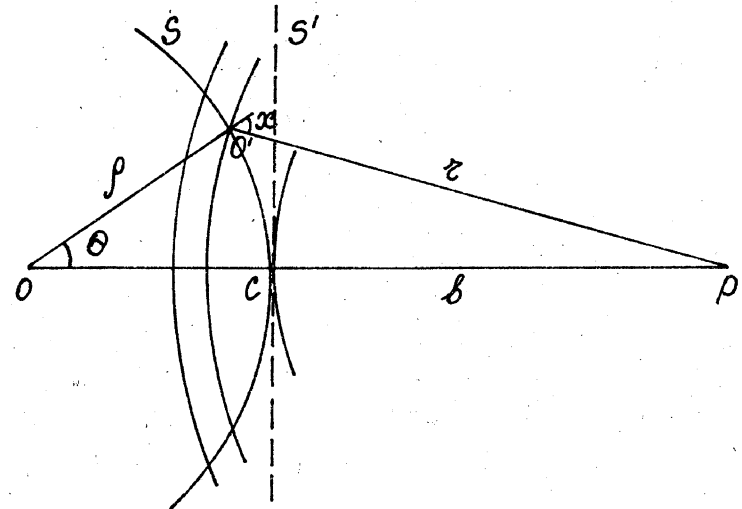
Ներկայացվող դասընթացը Քաղկացած է երեք, միմյանց սերտորեն շաղկաված բաժիններից և տրոհված է տասնհինգ ենթաբաժինների: Առաջին ութ ենթաբաժինները նվիրված են դիֆրակցիայի ֆիզիկոսի տեսությունը, նրա մանրամասն քննարկմանը սկալյար և էլեկտրամագնիսական ալիքների դեպքերում: Այս մասում նշվում են նաև այդ տեսության հակասական կողմերը, թեուսթյունները և սրանց հետևանքով ծագող դժվարությունների հաղթահարման ուղիները: Երկու ենթաբաժին նվիրված է անտենաների դաշտերը Բնորոշող պարամետրերի ձևակերպման հարցերին: Մնացած հինգ ենթաբաժիններում քննարկվում են անտենաների պարամետրերի չափման տեսության ժամանակակից պրոբլեմները:

Հյուլյգենս-Ֆրենելի սկզբունքը: Ըստ Հյուլյգենսի, ալիքային ժապտի ցանկացած կետ կարող է դիտվել որպես երկրորդային զրգուման կենտրոն, որն առաքում է տարրական գնդային ալիք, ընդ որում՝ ալիքային ծակառը ժամանակի ցանկացած անելի ուշ պահին այդ երկրորդային ալիքների ճակատների պարուրիչն է: Ֆրենելը այս վարկածը լրացրեց ենթադրությամբ, որ հիշյալ երկրորդային ալիքների միջև տեղի ունի ինտերֆերենց Հյուլյգենսի վարկածի և Ֆրենելի ինտերֆերենցի սկզբունքի համադրումը անվանվում է Հյուլյգենս-Ֆրենելի սկզբունք:

Քննարկենք այժմ այն հարցը, թե արդյոք՝ այս սկզբունքը ծիշտ է նկարագրում այնպիսի մի հավաստի երևույթ, ինչպիսին է լույսի ուղղագիծ տարածումը մակուռումում:

Նկ.1-ում պատկերված է Հյուլյգենսի վարկածը պարզաբանող մի օրինակ: 0 կետում տեղադրված է կետային աղբյուր, որը $t = \rho/c$ պահին ստեղծել է ρ շառավղով գնդային ծակատով S ալիք: Հենց սկզբից նշենք, որ կառուցումը կարելի է կատարել ցանկացած ուրիշ մակերևույթի ձևով /օրինակ, S հարթություն/. դա էական չէ, սակայն, ինչպես կրտեսենենք, հարմար է հաշվարկային տեսակետից:

Ըստ Հյուլյգենսի վարկածի, S մակերևույթի O' կետում 0-ում գտնվող կետային աղբյուրը ստեղծել է $A \frac{e^{ik\rho}}{\rho}$ ամպլիտուդով երկրորդային տարրական աղբյուր / ժամանակային կախումը $e^{-i\omega t}$ տեսքի է. այն աստեղ և հետագայում, պարզություն համար, Բաց կթողնենք, քանի որ միշտ գործ կունենանք մոնոքրոմատիկ ալիքների հետ/: Այս երկրորդային աղբյուրը P կետում կստեղծի դաշտ՝



Նկ.1

$$K(x) A \frac{e^{ik\rho}}{\rho} \frac{e^{ikz}}{z}$$
 /1.1/

ամպլիտուդով: /1.1/ -ում $K(x)$ գործակիցը նկարագրում է երկրորդային ալիքի կախումը մի X անկյունից, որն իր հերթին կանվանվի դիֆրակցիայի անկյուն: Ըստ Ֆրենելի վարկածի, $K(0) = K_{max}$, այն արագորեն փոքրանում է այդ անկյան մեծացմանը զուգընթաց, և $K(\frac{\pi}{2}) = 0$:

Դաշտի լրիվ արժեքը P կետում որոշելու համար պետք է մերադրել Բոլոր հնարավոր տարրական ալիքների ազդեցությունները, այսինքն՝ ինտեգրել ըստ S գնդային մակերևույթի՝

$$U(P) = A \frac{e^{ik\rho}}{\rho} \int K(x) \frac{e^{ikz}}{z} dS$$
 /1.2/

Այս ինտեգրալը հարմար է հաշվել օգտվելով նկ.1-ում տրված կառուցումից և մտցնելով Ֆրենելի գոտիների հասկացությունը: Ընտրենք P կետը որպես կենտրոն և կառուցենք S զուևող հատող գնդային մակերևույթներ, որոնց շառավղները հավասար են, համապատասխանորեն՝

$$b, b + \frac{\lambda}{2}, b + 2 \frac{\lambda}{2}, \dots, b + n \frac{\lambda}{2}$$

Երբ $\lambda \ll b$, ապա նման ձևով ստացված Ֆրենելի ցանկացած գոտու համար $K(x)$ -ն մոտավորապես հաստատուն մեծություն է, և, ենթադրենք, j -րդ գոտում հավասար է K_j -ի:

Նկ.1-ից կարելի է գրել՝

$$r^2 = \rho^2 + (\rho + b)^2 - 2\rho(\rho + b)\cos\theta,$$

$$r dr = \rho(\rho + b) \sin\theta d\theta$$

և

$$\sin\theta d\theta = \frac{r dr}{\rho(\rho + b)}$$

Հետևաբար՝

$$dS = \rho^2 \sin\theta d\theta = \frac{\rho r}{\rho + b} dr d\varphi$$

և /1.2/-ով. j -րդ գոտու ներդրումը կլինի՝

$$U_j(P) = 2\pi A \frac{e^{ik\rho}}{\rho} K_j \int_{b + \frac{j-1}\lambda}^{b + \frac{j}\lambda} \frac{e^{ikr}}{r} \cdot \frac{\rho r}{\rho + b} dr =$$

$$= \frac{2\pi}{ik} A \frac{e^{ik(\rho+b)}}{\rho + b} K_j e^{\frac{ikj\lambda}{2}} (1 - e^{-\frac{ik\lambda}{2}}) =$$

$$= 2i\lambda (-1)^{j+1} A K_j \frac{e^{ik(\rho+b)}}{\rho + b}$$

/1.3/

/1.3/-ից երևում է, որ Ֆրենելի ֆազորական գոտիների նշանն սխիմանց հակառակ են: Գումարելով թուր գոտիների ներդրումները P կետում, կստանանք՝

$$U(P) = 2i\lambda A \frac{e^{ik(\rho+b)}}{\rho + b} \sum_{j=1}^n (-1)^{j+1} K_j =$$

$$= 2i\lambda A \frac{e^{ik(\rho+b)}}{\rho + b} [K_1 - K_2 + K_3 - \dots (-1)^{n+1} K_n]$$

/1.4/

Միջին փակագծերի արտահայտությունը ներկայացնենք հետևյալ տեսքով՝

$$\frac{K_1}{2} + \left(\frac{K_1}{2} - K_2 + \frac{K_3}{2}\right) + \left(\frac{K_3}{2} - K_4 + \frac{K_5}{2}\right) + \dots \quad /1.4a/$$

Կախված այն բանից, զոտիների լրիվ թիվը $/n - \sigma/$ գույգ է, թե կենտ, զրկված արտահայտության վերջին անդամը կլինի՝

$$\frac{K_n}{2}, \text{ երբ } n - \sigma \text{ կենտ է,}$$

$$\frac{K_{n-1}}{2} - K_n, \text{ երբ } n - \sigma \text{ գույգ է:}$$

Ննթադրենք՝

$$K_j > \frac{K_{j-1} + K_{j+1}}{2}$$

/1.5/

Այս դեպքում՝

$$\sum < \frac{K_1 + K_n}{2}, \text{ երբ } n - \sigma \text{ կենտ է}$$

$$\text{և } \sum < \frac{K_1 + K_{n-1}}{2} - K_n, \text{ երբ } n - \sigma \text{ գույգ է,}$$

/1.6/

բանի որ փոքր փակագծերի միջի արտահայտությունները ընդունում են միայն Բացասական արժեքներ:

Այժմ ներկայացնենք /1.4,ա/ արտահայտությունը հետևյալ տեսքով՝

$$K_1 - \frac{K_2}{2} - \left(\frac{K_2}{2} - K_3 + \frac{K_4}{2}\right) - \left(\frac{K_4}{2} - K_5 + \frac{K_6}{2}\right) - \dots$$

/1.4,բ/

/1.4,բ/ -ի վերջին անդամը, կախված այն բանից, զոտիների լրիվ թիվը գույգ է, թե կենտ, կլինի՝

$$-\frac{K_{n-1}}{2} + K_n$$

, երբ $n - \sigma$ կենտ է

և

$$-\frac{K_n}{2}$$

, երբ $n - \sigma$ գույգ է:

նույն՝ /1.5/, ենթադրության դեպքում՝

$$\sum > K_1 - \frac{K_2 + K_{n-1}}{2} + K_n, \text{ երբ } n\text{-ը կենտ է}$$

$$\sum > K_1 - \frac{K_2 + K_n}{2}, \text{ երբ } n\text{-ը գույճ է}$$

Մենք ենթադրել էինք, որ $\lambda \ll b$, այսինքն՝ ընտրված ալիքային ճակատից թափված մեծ հեռավորությունների վրա K_j -ն հաստատուն է: Նույն պայմանից հետևում է նաև, որ երկու հարևան տիրույթների համար $K_j \approx K_{j \pm 1}$: Հաշվի առնելով այն՝ /1.6/ և /1.7/ անհավասարություններից կարելի է հեշտությամբ ստանալ.

$$\sum = \frac{K_1 \pm K_n}{2}$$

Ակնհայտ է, որ $K_j < \frac{K_{j-1} + K_{j+1}}{2}$ /1.8/ պայմանի դեպքում /1.6/ և /1.7/ անհավասարությունները միայն կփոխեն տեղերը. /1.8/-ը կմնա ուժի մեջ: Ավելին, եթե վերոհիշյալ զուամբների միայն մի մասն է բաժարարում $K_j < \frac{K_{j-1} + K_{j+1}}{2}$, իսկ մնացածը՝ $K_j > \frac{K_{j-1} + K_{j+1}}{2}$ պայմաններին, ապա կարելի է ցույց տալ, որ /1.8/-ը դարձյալ ճիշտ է: /1.8/ պնդումը կխախտվի միայն խիստ հազվադեպ, երբ ամպլիտուդային Քաշիվածությունը կրի անկանոն Բնույթ, այնպես, որ Քերի համակարգված սխալների կուտակման: Եթե այս Բանը տեղի չունի, ապա /1.4/-ը մեծ ճշտությամբ կարելի է գրել՝

$$U(P) = i\lambda A (K_1 \pm K_n) \frac{\exp[ik(\rho + b)]}{\rho + b}$$

/1.9/

/1.9/-ում \pm նշանները համապատասխանում են կենտ և գույճ n -երին: Ըստ Փրենսլի ենթադրության, $K_n(\frac{\pi}{2}) = 0$: Հետևաբար՝

$$U(P) = i\lambda K_1 A \frac{\exp[ik(\rho + b)]}{\rho + b} = \frac{1}{2} U_1(P),$$

/1.10/

ընդ որում՝

$$K_1 = \frac{1}{i\lambda} = \frac{e^{-i\frac{\pi}{2}}}{\lambda}$$

/1.10,ա/

/1.10,ա/ -ից հետևում է, որ տարրական ալիքը՝ ճառագայթված Փրենսլի առաջին գոտում քառորդ պարբերությունն ետ է սկզբնայինից ըստ փուլի, իսկ երկու հարևան գոտիների ամպլիտուդները հարաբերում են միմյանց այնպես, ինչպես՝ 1:λ:

/1.10/-ը ցույց է տալիս, որ Հյույզենս-Փրենսլի սկզբունքը ճիշտ է Բացառում լույսի ուղղագիծ տարածումը վակուումում: Մյուս կողմից, սակայն կլինքեր արվածում փնտրել ավելի խոր ֆիզիկական իմաստ. այն ավելին չէ, քան Բավական հաջող և անհասկանալի մաթեմատիկական վարժություն: Ավելի խիստ՝ K_1 -ի հասկացությունը կորոշվի դիֆրակցիայի Կիրսինֆի տեսությունն ուսումնասիրելիս:

Դիտարկենք մի քանի մասնավոր դեպքեր՝ ելնելով /1.4/ արտահայտությունից:

Խնդիր I. Փակված են Փրենսլի Բոլոր գոտիները. Բացի առաջին գոտու կեսից: Ելնենք /1.4/-ից: $j \neq 1$, Բազմապատկենք այն $\frac{1}{2}$ -ով՝

$$U_{1/2}(P) = A \frac{\exp[ik(\rho + b)]}{\rho + b}$$

Ստացանք սկզբնական աղբյուրի դաշտը $\rho + b$ կետում՝ Էկրանի Բացակայության դեպքում:

Խնդիր II. Փակված են Էկրանով Փրենսլի Բոլոր գոտիները Բացի առաջինից: /1.4/-ից ունենք՝

$$U_1(P) = 2A \frac{\exp[ik(\rho + b)]}{\rho + b}$$

Ինտենսիվությունը P կետում 4 անգամ մեծ է, քան Էկրանի Բացակայության դեպքում, երբ Բաց են Բոլոր գոտիները:

Խնդիր III. Փակված է միայն առաջին գոտին. /1.4/-ը այս դեպքում կարվի՝

$$U_1(P) = 2i\lambda A \frac{\exp[ik(\rho + b)]}{\rho + b} [-K_2 + K_3 - K_4 + \dots]$$

Նույնպես, ինչպես արել էինք վերը /տես /1.6/, /1.7/, /1.8/, կարելի է ցույց տալ, որ միջին փակագծերի արժեքը մոտավորապես հավասար է $-\frac{K_2}{2}$ -ի, այսինքն՝

$$U_1(P) = -i\lambda K_2 A \frac{\exp[ik(\rho + b)]}{\rho + b}$$

Խնդիր IV
 ՕՐ Թողնելով նկ.1-ի կառուցումն անփոփոխ և Բաց թողնելով միայն առաջին գոտին, փոփոխենք P կետի դիրքը ըստ առանցքի:

Ըստ կառուցման, սա համարժեք է էկրանի Բացվածքում տիրույթների թվի փոփոխությանը: Այսպես, եթե Բաց են առաջին և երկրորդ գոտիները $U(P) \sim 0$, առաջինը, երկրորդը և երրորդը՝ $U(P) \sim \lambda$, և այլն, P կետում պարբերաբար կդիտվի լույս կամ մուլ:

Հետաքրքիր է հիշել, երբ Փրենելն իր աշխատությունը ներկայացրեց Փրանսիական ակադեմիային, Պուլատոնը որպես պարադոքս ներկայացրեց ստացված արդյունքները. ըստ Փրենելի, երբ լույսի ճառագարհին կա անթափանց էկրան, նրա ետևում, առանցքի վրա ստացվում է լուսավոր կետ: Միայն փորձի արդյունքները ստիպեցին համաձայնել, որ այստեղ ոչ մի պարադոքս էլ գոյություն չունի:

Հյուսիսային և Փրենելի հետազոտությունները լուծեցին վաղուց/սյուլտոնի մամանակներից/ տարվող վեճը, լույսի կորպուսկուլային/քվանտային/ և ալիքային Բնույթների վերաբերյալ տվյալ փուլում, հօգուտ վերջինի: Այժմ՝ քվանտային ֆիզիկայի դարում, մենք գիտենք, որ նման հարցադրումը մտացածին է:

Հյուսիսային-Փրենելի սկզբունքը շատ հաճախ հնարավորություն է ընձեռում գնահատումներ կատարելիս խուսափել անհարկի մաթեմատիկական և ֆիզիկական Բարդություններից: Մասնավորապես, այս մեթոդը Բավականին արդյունավետ է ալիքների տարածման տեսության մի շարք խնդիրներում, երբ ստիպված են լինում օգտվել ալիքների անդրադարձման երկրաչափական օրենքներից:

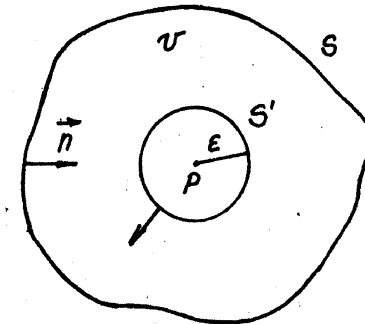
ԳՐԱԿԱՆՈՒԹՅՈՒՆ

- 1. М. Борн, Э. Вольф. Основы оптики. М., Наука, 1970.
- 2. Фейнмановские лекции по физике. Часть 3. Излучение, волны, кванты. М., Мир, 1977.

Կիրառական հետազոտությունների և Բաց թողնելով միայն առաջին գոտին, փոփոխենք P կետի դիրքը ըստ առանցքի:
 Այն երբեմն անվանում են Կիրառական-Փրենելի տեսություն, քանի որ ֆիզիկական պատկերացումները, որոնք ընկած են նրա հիմքում, համապատասխանում են վերը քննարկված Հյուսիսային-Փրենելի սկզբունքին:

Այն երբեմն անվանում են Կիրառական-Փրենելի տեսություն, քանի որ ֆիզիկական պատկերացումները, որոնք ընկած են նրա հիմքում, համապատասխանում են վերը քննարկված Հյուսիսային-Փրենելի սկզբունքին:

Նախ՝ ապացուցենք մի թեորեմ, որը դիֆրակցիայի տեսության մեջ ստացել է Կիրառական ինտեգրալ թեորեմ անվանումը: Այս թեորեմը պնդում է, որ ալիքային համասեռ հավասարման լուծումը դաշտի ցանկացած P կետում արտահայտվում է դաշտի մեծություն և նրա ածանցյալի արժեքներով՝ տված P կետն ընդգրկող V ծավալը սահմանափակող S մակերևույթի վրա / նկ.2/:



նկ.2

Դիտարկենք սկալյար մոնոքրոմատիկ ալիք՝

$$f(x, y, z, t) = U(x, y, z) e^{-i\omega t} \quad /2.1/$$

որը Բավարարում է ալիքային

$$\Delta f - \frac{1}{c^2} \frac{\partial^2 f}{\partial t^2} = 0 \quad /2.2/$$

հավասարմանը:

/2.1/ -ից և /2.2/-ից ունենք՝

$$\Delta U + \kappa^2 U = 0$$

/2.3/

Հելմհոլցի հավասարումը:

Մտցնենք կամայական V ֆունկցիան, որը նույնպես բավարարում է /2.3/ հավասարմանը: Անհրաժեշտ է, որ U , և V ֆունկցիաները լինեն անընդհատ և ունենան առնվազն մինչև երկրորդ կարգի անընդհատ ածանցյալներ ամբողջ ν տիրույթում՝ ընդհուպ մինչև այն սահմանափակող S մակերևույթը: Այս պահանջները հետևում են թեկուզ նրանից, որ U և V ֆունկցիաները պետք է բավարարեն Հելմհոլցի /2.3/ հավասարմանն այդ տիրույթում:

Գրենք Գրինի բանաձևը այդ ֆունկցիաների համար՝

$$\int_V (U \Delta V - V \Delta U) dv = - \int_S (U \frac{\partial V}{\partial n} - V \frac{\partial U}{\partial n}) dS,$$

/2.4/

որտեղ \vec{n} -ը S -ի ներքին նորմալն է /տես նկ.2 /: U և V ֆունկցիաները բավարարում են /2.3/ հավասարմանը և /2.4/-ը կարելի է բերել հետևյալ տեսքին

$$\int_S (U \frac{\partial V}{\partial n} - V \frac{\partial U}{\partial n}) dS = 0.$$

/2.5/

Որպես V ֆունկցիա ընտրենք $\frac{e^{i\kappa r}}{r}$ -ը, որտեղ r -ը հեռավորությունն է P կետից մինչև դաշտի ցանկացած x, y, z կետը: $\frac{e^{i\kappa r}}{r}$ ֆունկցիան ունի հատուկ կետ՝ $r=0$: Քանի որ V ֆունկցիան պետք է անընդհատ լինի դիտարկվող տիրույթում, և որպեսզի /2.5/ հավասարությունը մնա ուժի մեջ, առանձնացնենք ν տիրույթի այդ կետը ε շառավղով S' գնդային մակերևույթով /տես նկ.2/: որի կենտրոնը հենց P կետն է: /2.5/ հավասարությունը տեղի ունի S և S' մակերևույթներով պարփակված տիրույթում, եթե այն արտազրենք հետևյալ տեսքով՝

$$\int_S + \int_{S'} [U \frac{\partial V}{\partial n} - V \frac{\partial U}{\partial n}] dS = 0.$$

/2.5,ա/

Տեղադրենք /2.5,ա/ -ում $V = \frac{e^{i\kappa r}}{r}$ և կատարենք մաթեմատիկական մեկախոսություններ՝

$$\int_S (U \frac{\partial}{\partial n} \frac{e^{i\kappa r}}{r} - \frac{e^{i\kappa r}}{r} \frac{\partial U}{\partial n}) dS =$$

$$= - \int_{S'} (U \frac{e^{i\kappa \varepsilon}}{\varepsilon} (\kappa - \frac{1}{\varepsilon}) - \frac{e^{i\kappa \varepsilon}}{\varepsilon} \frac{\partial U}{\partial n}) \varepsilon^2 d\Omega.$$

Եթե S' մակերևույթը անվերջ փոքրացնենք՝ ձգտեցնելով այն P կետին / $\varepsilon \rightarrow 0$ /, հավասարման աջ մասը կզրկվի՝

$$\lim_{\varepsilon \rightarrow 0} \int_{S'} U e^{i\kappa \varepsilon} d\Omega = 4\pi U(P).$$

Այսպիսով՝

$$U(P) = \frac{1}{4\pi} \int_S (U \frac{\partial}{\partial n} \frac{e^{i\kappa r}}{r} - \frac{e^{i\kappa r}}{r} \frac{\partial U}{\partial n}) dS.$$

/2.6/

/2.6/ -ը կազմում է Կիրխոֆի ինտեգրալ թեորեմի Քովանդակությունը: Այն երբեմն կոչվում է նաև Հելմհոլց-Կիրխոֆի ինտեգրալ թեորեմ: /2.6/-ից հետևում է, որ դաշտի արժեքը ցանկացած P կետում որոշվում է այս կետը շրջափակող ցանկացած S մակերևույթի վրա տրված ֆունկցիայի և նրա նորմալ ածանցյալի արժեքների միջոցով: Թեորեմն ապացուցված է:

/2.6/-ը միշտ է նաև ստատիկ դաշտերի համար: Իրոք, ձգտեցնելով /2.6/-ում $\kappa \rightarrow 0$, կստանանք՝

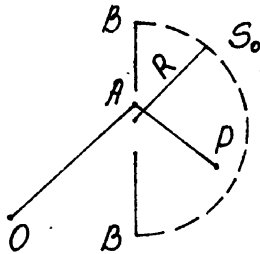
$$U(P) = \frac{1}{4\pi} \int_S (U \frac{\partial}{\partial n} (\frac{1}{r}) - \frac{1}{r} \frac{\partial U}{\partial n}) dS,$$

/2.6,ա/

որը հայտնի է պոտենցիալների տեսությունում: Օգտվելով ապացուցված թեորեմից՝ անցնենք Կիրխոֆի դիֆրակցիայի տեսության քննարկմանը:

Գործնականորեն, թերևս, ամենամեծ հետաքրքրություն ներկայացնող դեպքն այն է, երբ որպես ինտեգրման մակերևույթ վերցվում է հարթությունը: Հիշենք, սակայն, որ /2.6/-ում S -ը պետք է լինի փակ մա-

կերևույթ, /Գրինի Բանաձևը, որից հետևում էր /2.6/-ը, գրված էր փակ մակերևույթների համար/: ծագող դժվարությունը հաղթահարվում է հետևյալ դատողությունների օգնությամբ: Տրված S հարթության վրա կառուցենք դիտման P կետը որպես կենտրոն ունեցող անվերջ շառավղով գնդային մակերևույթ: Մենք կդիտարկենք կետային O աղբյուրի ճառագայթման դաշտի դիֆրակցիան B էկրանի A Բացվածքի վրա /տես նկ.3-ը/
 $/ A + B = S /$:



նկ.3

Ցույց տանք, որ $/S + S_0$ անվերջ մեծ մակերևույթով ինտեգրելիս կարելի է անտեսել ինտեգրալի արժեքը S_0 անվերջ մեծ մակերեսի վրա: Իրոք՝ A Բացվածքից տարամիտող ալիքի ընդհանուր տեսքը, երբ $R \rightarrow \infty$ /դիտման կետը շատ հեռու է Բացվածքից / հետևյալն է՝

$$U = \frac{e^{ikR}}{R} F(\theta, \varphi) \quad /2.7/$$

եթե ընտրենք՝

$$V = \frac{e^{ikR}}{R} F'(\theta, \varphi),$$

ապա ինտեգրալը ըստ մեծ S_0 կիսագնդի կհավասարվի զրոյի՝

$$\int_{S_0} (U \frac{\partial V}{\partial n} - V \frac{\partial U}{\partial n}) dS = \int F(\theta, \varphi) F'(\theta, \varphi) (ik - \frac{1}{R} - ik + \frac{1}{R}) \frac{e^{2ikR}}{R^2} R^2 d\Omega = 0. \quad /2.8/$$

/2.8/ Բանաձևը հայտնի է ճառագայթման պայման անունով:

Այսպիսով, դիտարկվող խնդրի համար ինտեգրումը Կիրխոֆի ինտեգրալում պետք է կատարել միայն ըստ $A + B = S$ հարթության: U և V Ֆունկցիաների նման ընտրությունը /որը մաքուր ֆիզիկական բնույթ ունենք/, մաթեմատիկայի լեզվով ասած, հետևյալն է. եթե U և V անընդհատ և դիֆերենցելի Ֆունկցիաները տրված են ոչ միայն S ծավալում, այլև այդ ծավալը սահմանափակող մակերևույթի վրա, ապա խնդրի լուծման համար անհրաժեշտ է ևս մի լրացուցիչ պայման, այն է՝ այդ Ֆունկցիաների վարքը անվերջությունում / $U \rightarrow 0$ և $V \rightarrow 0$, երբ $R \rightarrow \infty$ /:

Կարելի էր այս հարցին մոտենալ այլ տեսանկյունից: Քանի որ էլեկտրամագնիսական /ինչպես նաև ցանկացած այլ/ ալիքները տարածվում են վերջավոր c արագությամբ, կարելի է վերոհիշյալ գնդի շառավիղն ընտրել $r > ct$, որտեղ t -ն այն ժամանակամիջոցն է, որն անհրաժեշտ է գրգռումը հասնելու P կետը: Այդ պահին S_0 մակերևույթի վրա դաշտի արժեքը իրոք զրո է, և ինտեգրումը կարելի է սահմանափակել Բավական մեծ, Բայց վերջավոր $S = A + B$ հարթությամբ: Այս մոտեցումը որոշ չափով մեղանչում է ալիքի մոնոքրոմատիկության պայմանի դեմ, քանի որ ենթադրում է, որ $t = 0$ պահը ալիքի /մոնոքրոմատիկ/ առաջացման սկիզբն է:

Այսպիսով, /2.6/ ինտեգրալը սովալ խնդրի համար կգրվի հետևյալ սեսքով՝

$$U(P) = \frac{1}{4\pi} \left\{ \int_A + \int_B (U \frac{\partial}{\partial n} \frac{e^{ikr}}{r} - \frac{e^{ikr}}{r} \frac{\partial U}{\partial n}) dS. \quad /2.9/$$

V Ֆունկցիայի նման ընտրությունը ($\frac{e^{ikr}}{r}$ տեսքով) խոսում է այն մասին, որ Կիրխոֆի տեսությունը հիմնվում է Հյուլյգենս-Ֆրենելի սկզբունքի վրա:

Գրված /2.9/ հավասարումը Բարդ ինտեգրալ-դիֆերենցիալ հավասարում է U Ֆունկցիայի նկատմամբ, այն մեծ արժեք չէր ներկայացնի, եթե Կիրխոֆի չկատարեր մի լրացուցիչ և շատ կարևոր բայլ: Ծոսքը Կիրխոֆի եզրային պայմանների մասին է, որոնք նրա տեսության

անկյունաքարն են: Կիրխոֆը ենթադրեց, որ B էկրանի և A Բացվածքի վրա տեղի ունեն հետևյալ մոտավոր, սակայն պարզ ֆիզիկական բովանդակություն ունեցող եզրային պայմանները՝

$$U = U_{\text{ընկերող}}, \quad \frac{\partial U}{\partial n} = \frac{\partial U}{\partial n} \text{ընկերող} \quad A \text{-ի վրա} \quad /2.10/$$

$$U = 0, \quad \frac{\partial U}{\partial n} = 0 \quad B \text{-ի վրա}$$

Համաձայն նկ.3 -ի՝

$$U = A_0 \frac{e^{ik\rho}}{\rho}, \quad V = \frac{e^{ikz}}{z};$$

$$\frac{\partial U}{\partial n} = A_0 \frac{e^{ik\rho}}{\rho} \left(ik - \frac{1}{\rho} \right) \cos(\vec{n}\vec{\rho}),$$

$$\frac{\partial V}{\partial n} = \frac{e^{ikz}}{z} \left(ik - \frac{1}{z} \right) \cos(\vec{n}\vec{z})$$

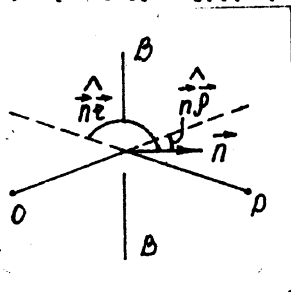
Եթե ընդունենք, որ $kr, k\rho \gg 1$ և անտեսենք $\frac{1}{z}$ և $\frac{1}{\rho^2}$ պարունակող անդամները, ապա՝

$$U(P) = \frac{A_0}{4\pi} \int_A \left\{ \frac{e^{ik\rho}}{\rho} \frac{e^{ikz}}{z} \left(ik - \frac{1}{z} \right) \cos(\vec{n}\vec{z}) - \frac{e^{ikz}}{z} \frac{e^{ik\rho}}{\rho} \left(ik - \frac{1}{\rho} \right) \cos(\vec{n}\vec{\rho}) \right\} dS =$$

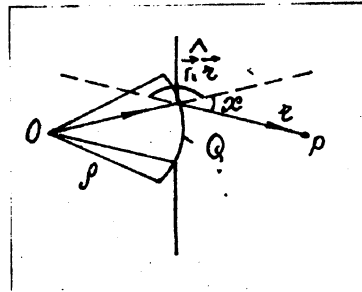
$$\approx \frac{ikA_0}{4\pi} \int_A \frac{e^{ik(r+\rho)}}{z\rho} [\cos(\vec{n}\vec{z}) - \cos(\vec{n}\vec{\rho})] dS.$$

/2.11/

Այս արտահայտությունը Ֆրենել-Կիրխոֆի դիֆրակցիոն ինտեգրալի տեսքն է ընկերող գնդային ալիքի դեպքում:



նկ.4



նկ.5

Նկ.4-ում պատկերված են $\vec{n}\vec{z}$ և $\vec{n}\vec{\rho}$ անկյունները: Եթե որպես A մակերևույթ ընտրենք O -ից ելնող Q գնդային ալիքային մակատը /ինչը մենք արել էինք շյույզենս-Ֆրենելի սկզբունքը քննարկելիս/, որը շոշափում է A Բացվածքի եզրերը, հենվելով նկ.5-ի վրա կարող ենք գրել՝

$$\cos(\vec{n}\vec{\rho}) = 1, \quad \chi = \pi - \vec{n}\vec{z}, \quad \cos(\vec{n}\vec{z}) = -\cos\chi,$$

իսկ

$$U(P) = -\frac{iA_0}{2\lambda} \int_Q \frac{e^{ik(\rho+z)}}{\rho z} (1 + \cos\chi) dS = -\frac{iA_0}{2\lambda} \frac{e^{ik\rho}}{\rho} \int_Q \frac{e^{ikz}}{z} (1 + \cos\chi) dS \quad /2.11,ա/$$

/2.11,ա/-ում դաշտի տարրն է

$$dU(P) = -\frac{iA_0}{2\lambda} \frac{e^{ik\rho}}{\rho} \cdot \frac{e^{ikz}}{z} (1 + \cos\chi)$$

/2.11,բ/

Համեմատելով /2.11,բ/ և /1.1/ արտահայտությունները՝ տեսնում ենք, որ՝

$$K(\chi) = -\frac{1}{2\lambda} (1 + \cos\chi)$$

/2.12/

Երբ $\chi = 0$, ապա $K(0) = -\frac{1}{\lambda}$, ինչը համընկնում է Ֆրենելի առաջին գործակցին: Սակայն $K(\frac{\pi}{2}) = -\frac{1}{2\lambda} \neq 0$, ինչպես կարծում էր Ֆրենելը: Այն հավասարվում է զրոյի, երբ $\chi = \pi$: Սա մի էական ուղղում է, որը չի թիում շյույզենս-Ֆրենելի սկզբունքից և Կիրխոֆի եզրային պայմանների ուղղակի հետևանքն է:

O և P կետերի փոխադարձ տեղափոխումից /2.11/ արտահայտության տեսքը չի փոփոխվում: Այսինքն, P -ում տեղադրված կետային աղբյուրը O -ում կստեղծի այն դաշտը, ինչը P -ում ստեղծել է O -ում տեղադրվածը: Սա Հելմհոլցի փոխադարձության թեորեմն է: Հետագայում մենք այս թեորեմն ավելի խստորեն կապացուցենք էլեկտրամագնիսական ալիքների համար, ելնելով Մաքսվելի հավասարումներից/Լորենցի լեմ /:

Հաջորդ հետևությունը, որին կարելի է հանգել Կիրխոֆի դիֆրակցիոն ինտեգրալներից, լրացնող էկրանների դեպքում դաշտի Քաշխմածությունների միջև եղած առնչությունն է: Դիֆրակցիայի տեսության մեջ այն ստացել է ,,Բաբինսի սկզբունք,, անվանումը: Երկու այնպիսի էկրաններ,

որոնցից մեկի Բացվածքի եզրերը համընկնում են մյուսի անթափանցիկ մասերի եզրերին կազմելով անընդհատ մակերևույթ, կանվանենք միմյանց լրացնող էկրաններ: Այժմ ենթադրենք $U_1(P)$ և $U_2(P)$ դաշտի այն արժեքներն են, որոնք դիտվում են, երբ էկրաններից համապատասխանաբար մեկն է գտնվում ալիքային աղբյուրի 0 և դիտման P կետերի միջև: Հստ /2.6/ Բանաձևի՝

$$U_1(P) = \int_{I \text{ էկրան} + I \text{ բացվածք}} \left(U \frac{\partial}{\partial n} \frac{e^{ikz}}{z} - \frac{e^{ikz}}{z} \frac{\partial U}{\partial n} \right) dS; \quad /2.13/$$

$$U_2(P) = \int_{II \text{ էկրան} + II \text{ բացվածք}} \left(U \frac{\partial}{\partial n} \frac{e^{ikz}}{z} - \frac{e^{ikz}}{z} \frac{\partial U}{\partial n} \right) dS$$

Հստ Կիրխհոֆի եզրային պայմանների, U և $\frac{\partial U}{\partial n}$ ֆունկցիաների արժեքները I և II էկրանների վրա հավասար են զրոյի, և ինտեգրալը /2.13/-ում վերցվում է միայն ըստ I և II Բացվածքների: Հստ լրացնող էկրանների սահմանան, այդ երկու Բացվածքները միասին համարժեք են որևէ էկրանի Բացվածքայնը, հետևաբար գումարելով /2.13/ հավասարումների աջ և ձախ մասերը համապատասխանորեն, կունենանք՝

$$U_1(P) + U_2(P) = \int \left(U \frac{\partial}{\partial n} \frac{e^{ikz}}{z} - \frac{e^{ikz}}{z} \frac{\partial U}{\partial n} \right) dS = U(P), \quad /2.14/$$

ամբողջ մակերևույթի

որտեղ $U(P)$ -ն 0 կետում տեղադրված աղբյուրի ստեղծած դաշտն է P կետում էկրանների Բացվածքայն ղեպքում:

/2.14/-ը Բաբինեի սկզբունքի Բովանդակությունն է. լրացուցիչ էկրանների ստեղծած դաշտերի գումարը հավասար է դաշտի արժեքին նրանց Բացվածքայն ղեպքում:

Ելնելով այս սկզբունքից կարելի է հանգել մի շարք եզրակացությունների:

Առաջին. եթե մի էկրանի ղեպքում P կետում դիտվում է մուկ կետ, ապա լրացուցիչ էկրանի ղեպքում դաշտն այդ նույն կետում կլինի այնպիսին, ինչպիսին կլիներ այն

էկրանների Բացվածքայն ղեպքում:

$$U_1(P) + U_2(P) = U(P), \quad U_1(P) = 0, \quad U(P) = U_2(P).$$

Երկրորդ. երբ $U_1(P) + U_2(P) = 0$, $U_1(P) = -U_2(P)$, այսինքն՝ P կետում դաշտերը հակափոփոխյին են, իսկ ինտենսիվությունները՝ հավասար միմյանց՝

$$|U_1(P)|^2 = |U_2(P)|^2$$

էլեկտրամագնիսական ալիքների համար Բաբինեի սկզբունքն ունի ավելի ընդհանուր բնույթ. այն կապ է հաստատում էլեկտրամագնիսական ալիքների էլեկտրական և մագնիսական վեկտորների միջև և բխում է մաքսվելի հավասարումներից և էկրանների վրա՝ եզրային պայմաններից:

ԳՐԱԿԱՆՈՒԹՅՈՒՆ

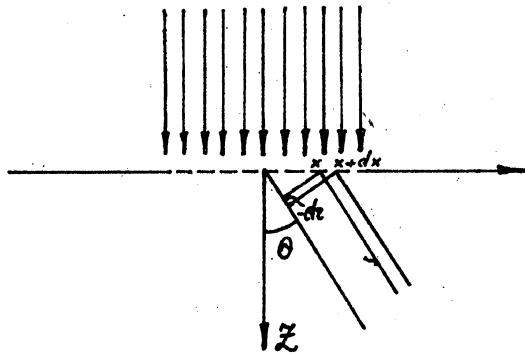
1. М.Борн, Э.Вольф. Основы оптики. М., Наука, 1970.
2. Л.И.Мандельштам. Лекции по оптике, теории относительности и квантовой механике. Москва, Наука, 1972г.

III

ԴԻՖՐԱԿՑԻԱՑԻ ԵՐԿՉԱԾ ԽՆԴԻՐԸ:ՄԻ ՔԱՆԻ ԸՆԵՐԳԵՏԻԿԱԿԱՆ ԱՌՆՉՈՒ-
ՔՑՈՒՆՆԵՐ:ԳՐԻՆԻ ՖՈՒՆԿՑԻԱՑԻ ՄԵՔՈՂԸ ԴԻՖՐԱԿՑԻԱՑԻ ԽՆԴԻՐՆԵՐՈՒՄ

Կիրխհոֆի մոտավորությունը դիտարկենք դիֆրակցիայի մի պարզ և մասնավոր խնդիր: Երկու միտումով. նախ պարզ կդառնա, թե մասնավոր դեպքերում ինչի է Բերվում /2.6/ արտահայտությունը: Մենք արդեն մեկ մասնավոր արտահայտություն ունենք /տես /2.11/ Բանաձևը/ընկնող զնդային ալիքի համար: Երկրորդը և առավել կարևորը՝ արվող հաշվարկները հնարավորություն կտան ստանալ մի շարք էներգետիկական առնչություններ և ուրվագծել դիֆրակցիայի կիրխհոֆի տեսության որոշակի հակասական Բնույթը:

Դիտարկենք հարթ ալիքի դիֆրակցիան, երբ այն ընկնում է անվերջ էկրանի երկշափ մեղքին՝ նրա հարթությանը ուղղահայաց /տես նկ.6-ը/:



նկ.6

Հաշվենք դիֆրակցիոն դաշտը մեղքից մեծ հեռավորության վրա P կետում: Օգտվենք /2.6/ Բանաձևից, երկշափ դեպքի համար՝

$$U(P) = \frac{1}{2\pi} \int_{-a}^a \left(U \frac{\partial V}{\partial n} - V \frac{\partial U}{\partial n} \right) dx.$$

Ընդունենք՝

$$V = \sqrt{\frac{2}{\pi k r}} e^{i(kr - \frac{\pi}{4})}$$

/3.1/

որը առաջին սեռի գրոյական կարգի Հանկելի ֆունկցիայի մոտարկում է մեծ $k r$ -երի համար: նկ.6-ից ունենք՝

$$\frac{\partial V}{\partial n} = \frac{\partial V}{\partial z}, \quad \frac{\partial V}{\partial z} = \frac{\partial V}{\partial r} \cdot \frac{\partial r}{\partial z} = -\frac{\partial V}{\partial r} \cdot \cos \theta$$

$$\begin{aligned} \frac{\partial V}{\partial r} \cos \theta &= \left(i k - \frac{1}{2r} \right) \sqrt{\frac{2}{\pi k r}} e^{i(kr - \frac{\pi}{4})} \cos \theta \approx \\ &\approx i \sqrt{\frac{2k}{\pi r}} \cos \theta e^{i(kr - \frac{\pi}{4})} \end{aligned}$$

Ըստ խնդրի պայմանի, ընկնող U ալիքը հարթ է: ներկայացնենք այն հետևյալ տեսքով՝

$$U = e^{i k z}$$

$z = 0$ հարթության վրա եղած Բացվածքում՝

$$U_{z=0} = 1, \quad \frac{\partial U}{\partial n} \Big|_{z=0} = i k$$

Տեղադրենք հաշված արժեքները /3.1/ Բանաձևի մեջ՝

$$U(P) = \frac{1}{2\pi} \int_{-a}^a \left[-i \sqrt{\frac{2k}{\pi r}} \cos \theta e^{i(kr - \frac{\pi}{4})} - i \sqrt{\frac{2k}{\pi r}} \cos \theta e^{i(kr - \frac{\pi}{4})} \right] dx =$$

$$= -\frac{i(1 + \cos \theta)}{\pi \sqrt{\lambda}} \int_{-a}^a \frac{e^{i(kr - \frac{\pi}{4})}}{\sqrt{r}} dx$$

/3.2/

/3.2/-ը կիրխհոֆի դիֆրակցիոն ինտեգրալի մի նոր, մասնավոր տեսքն է: Բացվածքից մեծ հեռավորության վրա՝ $r \gg a$,

$$r = r_0 - x \sin \theta$$

և ընդհանրապես արտահայտության հայտարարում r -ը կարելի է փոխարինել r_0 -ով: Կատանանք՝

$$U(P) = -\frac{i}{\pi\sqrt{\lambda z_0}} (1 + \cos \theta) e^{i(kz_0 - \frac{\pi}{4})} \int_{-a}^a e^{-ikx \sin \theta} dx =$$

$$= -\frac{2i}{\pi\sqrt{\lambda z_0}} e^{i(kz_0 - \frac{\pi}{4})} (1 + \cos \theta) \frac{\sin(\kappa a \sin \theta)}{\kappa \sin \theta}$$

/3.2, ա/

/3.2, ա/ Բանաձևը Կիրիսոֆի մոտավորությունները անվերջ երկչափ մեղքի վրա հարթ ալիքի դիֆրակցիոն դաշտի վերջնական արտահայտությունն է: Այն գլանային ալիք է:

Ստացված արտահայտությունը համեմատաբար պարզ է և հարավորություն է ընձեռում կտարել մի քանի զնահատումներ, մասնավորապես՝ ստուգել էներգիայի հաշվեկշիռը դիֆրակցիայի դեպքում:

Ննթադրենք՝ $U = E_y$, այսինքն՝ այն $y = 0$ հարթության մեջ Բևեռացած ընկնող հարթ ալիքի էլեկտրական Բաղադրիչն է: Հաշվենք այդ դաշտի Պոյնտինգի վեկտորը՝

$$S_z = \frac{c}{16\pi k \pi} \{ [\vec{E}^* \text{rot } \vec{E}] - [\vec{E} \text{rot } \vec{E}^*] \}_z$$

Առաջին հաշվենք Պոյնտինգի վեկտորի հոսքը՝ վերահիշյալ մեղքի միավոր լայնության շերտի միջով:

$$z = 0, \quad E_y(z=0) = 1, \quad \left. \frac{\partial E_y}{\partial z} \right|_{z=0} \cong -(\text{rot } \vec{E}_y)_x = ik$$

$$J_z = \int_{-a}^a S_z dx = \frac{c}{16\pi k \pi} \int_{-a}^a (E_y^* \frac{\partial E_y}{\partial z} - E_y \frac{\partial E_y^*}{\partial z}) dx = \frac{ac}{4\pi}$$

/3.3/

Երկրորդ հաշվենք այժմ Պոյնտինգի վեկտորի հոսքը մեղքից հեռու, միավոր լայնության անվերջ գլանային մակերևույթի /ալիքային մակաս/ միջով:

$$J_z = \frac{c z_0}{16\pi k \pi} \int_{-\pi/2}^{\pi/2} (E_y^* \frac{\partial E_y}{\partial z} - E_y \frac{\partial E_y^*}{\partial z}) d\theta$$

Օգտվենք /3.2, ա/ Բանաձևից, երբ $U = E_y$:

$$\frac{\partial E_y}{\partial z_0} = \frac{\partial U}{\partial z_0} \cong \frac{2}{\pi\sqrt{\lambda z_0}} (1 + \cos \theta) e^{i(kz_0 - \frac{\pi}{4})} \frac{\sin(\kappa a \sin \theta)}{\kappa \sin \theta}$$

և

$$J_z = \frac{8c}{16\pi^3 \lambda} \int_{-\pi/2}^{\pi/2} (1 + \cos \theta)^2 \left[\frac{\sin(\kappa a \sin \theta)}{\kappa \sin \theta} \right]^2 d\theta$$

/3.4/

Քննարկենք երկու սահմանային դեպք: Առաջին դեպքում ընդունենք, որ $\kappa a \gg 1$, $\sin \theta \sim \theta$, $\cos \theta \cong 1$: /3.4/ արտահայտությունը պարզեցվում է՝

$$J_z = \frac{2c}{\pi^3 \lambda} \int_{-\pi/2}^{\pi/2} \left[\frac{\sin(\kappa a \theta)}{\kappa \theta} \right]^2 d\theta \cong \frac{2ca}{\pi^3 \kappa \lambda} \int_{-\infty}^{\infty} \frac{\sin^2 \xi}{\xi^2} d\xi = \frac{ca}{\pi^3}$$

/3.5/

Ինչպես երևում է /3.5/ և /3.3/ արտահայտությունների համադրումից, որակապես նրանք համընկնում են: Ավելին, եթե վերը ընտրած V Փունկ-ցիան նորմավորենք $\pi/2$ -ով, ինչպես դա արվում է ալիքների տարածման շտ խնդիրներում, /3.5/ արտահայտությունը կՔազմապատկվի $\pi^3/4$ -ով և /3.5/, /3.3/ արտահայտությունները կհամընկնեն: Նշանակում է Հյույ-գենսի երկրորդային ալիքների տեսքը քանակապես միշտ որոշելու համար պետք են լրացուցիչ դատողություններ: Տվյալ դեպքում մենք օգտվում ենք էներգիայի հասկացությունից: /3.4/ արտահայտությունն ստանալիս արվեցին մի շարք մոտավորություններ, որոնք ունեն, իհարկե, մաթեմատիկական և ֆիզիկական հիմնավորում. երբ $\kappa a \gg 1$, ինչպես հետևում է /3.2, ա/ Բանաձևից, դիֆրակցիայի անկյունները շտ փոքր են $(\kappa a \sin \theta \cong \pi)$, և էներգիայի հիմնական մասը տարածվում է փոքր անկյունների տիրույթում: Մյուս կողմից՝ $\kappa a \gg 1$ պայմանը հարավորություն տվեց՝ ստացվող ինտեգրալի սահմանները ձգտեցնել անվերջության և այն Բերել աղյուսակային ինտեգրալի:

Անցնենք երկրորդ սահմանային դեպքի քննարկմանը՝ $\kappa a \ll 1$: Այս դեպքում՝

$$\frac{\sin(\kappa a \sin \theta)}{\kappa \sin \theta} \approx a :$$

/3.4/ Բանաձևից ունենք՝

$$I_z = \frac{ca^2}{\pi^2 \lambda} \int_{-\pi/2}^{\pi/2} (1 + \cos \theta)^2 d\theta = \frac{3a^2 c^3}{2\pi \lambda} \quad /3.6/$$

ինչպես տեսնում ենք, /3.6/-ը կախված է λ -ից և, հետևաբար, ոչ մի ձևափոխություն է անհնարվում չէ Բերել /3.3/ արժեքին:

Այսպիսով, $\kappa a \gg 1$ պայմանի դեպքում էներգիայի հաշվեկշիռը պահպանվում է, $\kappa a \ll 1$ պայմանի դեպքում՝ խախտվում:

Այժմ փորձենք եռաչափ դեպքի համար ստանալ Կիրխոֆի տեսության Բանաձևերին համաձայն /անալոգ/ Բանաձևեր Գրինի Ֆունկցիայի մեթոդով և համադրել դրանք մեզ արդեն հայտնի Բանաձևերի հետ:

Կառուցել Գրինի Ֆունկցիան հնարավոր է լինում միայն պարզագույն դեպքերում /այն էլ մոտավոր ձևով/: Այս դեպքերից մեկն այն է, երբ էկրանը հարթույթի է: Բավականաչափ կարճ ալիքների դեպքում / $\kappa a \gg 1$ / կարելի է արհամարհել եզրային նուրբ երեկույթները/օրինակ, էկրանի վրա ընկնող ալիքի մակածած հոսանքների վարքը եզրին անվերջ մոտենալիս / և ենթադրել, որ ձեռքի վրա ընկնող դաշտը այնպիսին է, ինչպիսին կլիներ էկրանի Բացակայության դեպքում, իսկ էկրանի վրա այն Բավարարում է ժզրիա եզրային պայմաններին: /2.6/ Բանաձևում, որպես օժանդակ Ֆունկցիա V -ն մենք ընտրել էինք $\frac{e^{i\kappa z}}{z}$ -ը նախորդ խնդրում՝ $Z_0^{(n)}(\kappa z)$ -ի կարծալիք մոտարկումը: Ընդ որում՝ այս Ֆունկցիաների ընտրությունը Բավականաչափ կամայական էր: Բավական էր, որ նրանք Բավարարեին Հելմհոլցի հավասարմանը: /Մասնավորապես նման կամայական ընտրության պատճառով էլ /3.5/-ի արժեքը քանակապես չԲավարարեց էներգիայի հաշվեկշռի պայմանին:/

Այսպիսով, Գրինի Ֆունկցիայի մեթոդը դիտարկելիս, օգտվում ենք $\kappa a \gg 1$ պայմանից: Այս Ֆունկցիան, նշանակենք այն G_- -ով, որոշվում է հետևյալ պայմաններից:
ա/ Այն Բավարարում է Հելմհոլցի հավասարմանը $\Delta G_- + \kappa^2 G_- = 0$
բ/ $G_- = 0$ S մակերևույթի վրա:
գ/ երբ $z \rightarrow 0$, $G_- \rightarrow \frac{e^{i\kappa z}}{z}$, այսինքն՝ $z = 0$ կետը նրա համար հատուկ կետ է:

Այժմ անցնենք G_+ և G_- Ֆունկցիաների որոշմանը: Ինչպես ասել էինք, այդ Բանը հնարավոր է անել պարզագույն դեպքերում, մասնավորապես՝ հարթույթի դեպքում: Կատարենք G_- Ֆունկցիայի կառուցումը անդրադարձման մեթոդի օգնությամբ: Ենթադրենք՝ էկրանի հարթույթի վրա համընկնում է $z = 0$ հարթույթի հետ /նկ.7/:

Կերպենք $Q(\xi, \eta, \zeta)$ կետը $\xi > 0$ տիրույթից: Ելնելով ա/բ/ և գ/ պայմաններից, գրենք՝
$$G_- = \frac{e^{i\kappa z_1}}{z_1} - \frac{e^{i\kappa z_2}}{z_2} \quad /3.9/$$

դ/ $z(\frac{\partial G_-}{\partial z} - \kappa G_-) \rightarrow 0$, երբ $z \rightarrow \infty$, այսինքն՝ Բավարարում է ճառագայթման պայմանին և $\frac{e^{i\kappa z}}{z}$ տիպի տարամիտող ալիք է:

Այսպիսով, G_- Ֆունկցիան տարբերվում է /2.6/ -ում մտցված $\frac{e^{i\kappa z}}{z}$ Ֆունկցիայից /բ/ պայմանով: Հենց այս պայմանն էլ $\frac{e^{i\kappa z}}{z} \rightarrow G_-$ դիտարկումով Բերում է /2.6/ -ը հետևյալ տեսքի՝ $\frac{e^{i\kappa z}}{z} \rightarrow G_-$

$$U(P) = \frac{1}{4\pi} \int_A \frac{\partial G_-}{\partial n} dS \quad /3.7/$$

/3.7/ -ից հետևում է, որ $U(P)$ -ն գտնելու համար Բավական է իմանալ U -ի արժեքը S հարթույթի վրա և Գրինի G_- Ֆունկցիան:

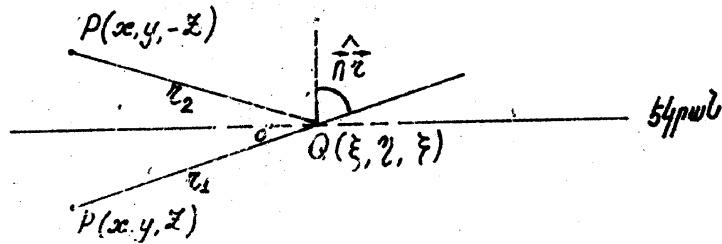
Գրինի մեկ այլ Ֆունկցիա՝ G_+ -ը, կարելի է կառուցել հետևյալ պայմանների համաձայն՝

ա/ $\Delta G_+ + \kappa^2 G_+ = 0$ σ -ում
բ/ $\frac{\partial G_+}{\partial n} = 0$ S մակերևույթի վրա,
գ/ երբ $z \rightarrow 0$, $G_+ \rightarrow \frac{e^{i\kappa z}}{z}$
դ/ $z(\frac{\partial G_+}{\partial z} - \kappa G_+) \rightarrow 0$, երբ $z \rightarrow \infty$:
 G_+ -ը տարբերվում է G_- -ից բ/ պայմանով: Ակնհայտ է, որ այս դեպքում /2.6/-ը կԲերվի հետևյալ տեսքի՝

$$U(P) = -\frac{1}{4\pi} \int_{A+B} G_+ \frac{\partial U}{\partial n} dS \quad /3.8/$$

Այժմ անցնենք G_+ և G_- Ֆունկցիաների որոշմանը: Ինչպես ասել էինք, այդ Բանը հնարավոր է անել պարզագույն դեպքերում, մասնավորապես՝ հարթույթի դեպքում: Կատարենք G_- Ֆունկցիայի կառուցումը անդրադարձման մեթոդի օգնությամբ: Ենթադրենք՝ էկրանի հարթույթի վրա համընկնում է $z = 0$ հարթույթի հետ /նկ.7/:

Կերպենք $Q(\xi, \eta, \zeta)$ կետը $\xi > 0$ տիրույթից: Ելնելով ա/բ/ և գ/ պայմաններից, գրենք՝
$$G_- = \frac{e^{i\kappa z_1}}{z_1} - \frac{e^{i\kappa z_2}}{z_2} \quad /3.9/$$



նկ. 7

որտեղ՝

$$r_1 = \sqrt{(\xi-x)^2 + (\eta-y)^2 + (\zeta-z)^2}$$

$$r_2 = \sqrt{(\xi-x)^2 + (\eta-y)^2 + (\zeta+z)^2}$$

/3.9/-ը բավարարում է, իրոք, ա/ հավասարմանը և բ/ պայմանին, երբ $z_2 \rightarrow 0$ / $z_1 \rightarrow 0$ ունի նույնպիսի հատուկ կետ, ինչպիսին ունի $\frac{e^{ikz}}{z}$ Ֆունկցիան: Տեղադրենք /3.9/-ը /3.7/-ի մեջ $\zeta = 0$ / $r_1 = r_2$ / պայմանի դեպքում և հաշվենք $z = 0$ հարթության նկատմամբ Q - ի նորմալ ածանցյալի արժեքը $r_1 = r_2$ /անդրադարձման / կետում:

$$\frac{\partial G}{\partial \zeta} = \frac{\partial}{\partial r_1} \left(\frac{e^{ikr_1}}{r_1} \right) \frac{\partial r_1}{\partial \zeta} - \frac{\partial}{\partial r_2} \left(\frac{e^{ikr_2}}{r_2} \right) \frac{\partial r_2}{\partial \zeta} \Big|_{r_1=r_2=z, \zeta=0}$$

$$\frac{\partial r_1}{\partial \zeta} = -\frac{z}{r_1}; \quad \frac{\partial r_2}{\partial \zeta} = \frac{z}{r_2}; \quad \frac{\partial r_1}{\partial \zeta} = -\frac{\partial r_2}{\partial \zeta} = -\cos(\hat{n}\vec{z}) \Big|_{r_1=r_2=z, \zeta=0}$$

$$\frac{\partial G}{\partial \zeta} = -\left(ik - \frac{1}{z} \right) \frac{e^{ikz}}{z} \cos(\hat{n}\vec{z}) - \left(ik - \frac{1}{z} \right) \frac{e^{ikz}}{z} \cos(\hat{n}\vec{z}) =$$

$$= -2ik \left(1 - \frac{1}{ikz} \right) \frac{e^{ikz}}{z} \cos(\hat{n}\vec{z}) \Big|_{r_1=r_2=z, \zeta=0}$$

$$U(P) = -\frac{2ik}{4\pi} \int_{A+B} \frac{e^{ikr}}{r} \cos(\hat{n}\vec{z}) U dS$$

/3.10/

Նրկրորդ տիպի Գրինի Ֆունկցիայի տեսքը, ինչպես դժվար չէ համոզվել, հետևյալն է՝

$$G_+ = \frac{e^{ikr_1}}{r_1} + \frac{e^{ikr_2}}{r_2},$$

/3.11/

իսկ /2.6/-ը սրա օգնությամբ կգրվի՝

$$U(P) = \frac{1}{2\pi} \int_{A+B} \frac{e^{ikr}}{r} \frac{\partial U}{\partial n} dS$$

/3.12/

Քանի որ /3.10/-ը և /3.12/-ը ներկայացնում են նույն դաշտերը, կարող ենք գրել հետևյալ հավասարությունը՝

$$-\frac{2ik}{4\pi} \int_A \frac{e^{ikr}}{r} \cos(\hat{n}\vec{z}) U dS = \frac{1}{2\pi} \int_{A+B} \frac{e^{ikr}}{r} \frac{\partial U}{\partial n} dS$$

Այսպիսով, և՛ Կիրխոֆի դասական մոտեցումը, և՛ Գրինի Ֆունկցիայի մեթոդը Քերեցին նույն որակական արդյունքներին: իրոք, եթե /2.6/-ի հիման վրա ստացված արդյունքներում սահմանափակվենք դիֆրակցիայի փոքր անկյուններով, ապա ստացած արդյունքները կհամընկնեն Գրինի Ֆունկցիայի մեթոդով ստացվածներին:

ԳՐԱԿԱՆՈՒԹՅՈՒՆ

1. Л.И.Маңдельштам. Лекции по оптике и др. М., Наука, 1972.
2. А.Зоммерфельд. Оптика. М.ИЛ.1953.

Կիրառական ՏԵՄԱԿԱՆ ՔՆՆԱՐԿՆԵՐԻ ԲԱՏԱՐԿԱՆ ՍԵՎ ԷԿՍՊՆԻ
ԱՆՆԱՐԿՆԵՐԻ ԳԻՏՈՒՄԻ ԵՎ ԿՐԹՈՒՄԻ ԽՈՍՏ ԴՐԱՎՈՐՆԵՐԻ

Երկրորդ և երրորդ ենթաբաժիններում շարադրվեցին Կիրառական տեսությունների հիմնական դրույթները, քննարկվեցին երկու մասնավոր դեպքեր՝ դիֆերենցիալ դաշտի հաշվարկը այդ տեսության շրջանակներում, երբ սկզբնական զննարկն դաշտն ընկնում էր անվերջ էկրանի վրա Բացված ճեղքին, և երբ հարթ ալիքն էր դիֆրակցվում այդպիսի էկրանի երկչափ ճեղքի վրա: Երկրորդ դեպքում ստացված համեմատաբար պարզ Բանաձևերը հնարավորություն տվեցին քննարկել էներգիայի հաշվեկշիռի հարցը. այդ քննարկումը ցույց տվեց, երբ $ka \gg 1$, այսինքն՝ շատ նեղ ճեղքի դեպքում, տեղի ունի Պոյնտինգի թեորեմի կոպիտ խախտում:

Իսկույն և եթ կարելի է պատասխանել հետևյալ կերպ. սխալ են այն արժեքները, որոնք վերագրված են U -ին և $\frac{\partial U}{\partial n}$ -ին էկրանի վրա և Բացվածքում /տես Կիրառական եզրային պայմանները՝ 2.10 /:

Ավելին, եթե $ka \gg 1$, այսինքն՝ շատ լայն Բացվածքի դեպքում, քանի որ տեղի չունի Պոյնտինգի թեորեմի խախտում, ըստ երևույթին, Կիրառական ենթադրությունները U -ի և $\frac{\partial U}{\partial n}$ -ի վերաբերյալ ճիշտ են: Նման պատասխանը միայն փաստերի հավաստում է և չի Բացատրում երևույթի ֆիզիկական էությունը:

Քննարկենք հարցի ֆիզիկական կողմը: Ենթադրենք էկրանը իդեալական հաղորդիչ է: Լուծել դիֆերենցիալ խնդիրը, նշանակում է գտնել այնպիսի դաշտ, որն իր առաջին անացյալներով լինի անընդհատ էկրանից դուրս ամենուրեք, ընդ որում նաև Բացվածքում, դառնա զրո՝ էկրանի վրա և իրենից ներկայացնի տարամիտող ալիքներ էկրանի ետևում: Կիրառական լուծումներն այսպիսին չեն: Սակայն ասվածը դեռ չի ապացուցում, որ Կիրառականի եզրային պայմանները սխալ են: Սրանք կարող են համապատասխանել ինչ-որ մի էկրանի, որն ունի ոչ իդեալական հաղորդիչի հատկություններ, այնպիսիք, որոնք ապահովեն Կիրառականի եզրային պայմանների կատարումը: Կարող է, արդյոք, այս Բանն իրացվել:

Բավականաչափ զգուշորեն կարելի է ասել, որ Կիրառականի եզրային պայմաններին Բավաբարելու համար էկրանի նյութը պետք է ունենա Բացարձակ և և մարմնին Բնորոշ հատկություններ: Սակայն դատողությունները Բացարձակ և մարմնի մասին անհամաձայնելի են Մաքսվելի հավասարումների հետ

մասնատիկորեն ցանկացած եզրային պայմաններ չեն կարող համառոտվել դիֆերենցիալ հավասարումներին, որպիսիք են Մաքսվելի հավասարումները: Ըստ Մաքսվելի ցանկացած ֆիզիկական մարմնի Բնորոշվում է ϵ -դիէլեկտրիկ, μ -մագնիսական թափանցելիություններով և σ հաղորդականությամբ: Հասնելու համար մեծ կլանումների՝ պետք է վերցնել մեծ հաղորդականությամբ օժտված մարմին սակայն, σ -ի մեծացումը ուղեկցվում է մարմնի անդրադարձման ունակության մեծացմամբ և երբ $\sigma \rightarrow \infty$, մարմնին արդեն իդեալական հաղորդիչ է. անդրադարձումը նման մարմնից լրիվ է: Վերցնելով իդեալական հաղորդիչ մակերևույթ, նրա վրա հատուկ անոթ, լցված ներկի լուծույթով, կարելի է փոփոխել անդրադարձման մեծությունը, փոփոխելով կլանումը լուծույթում /փոփոխելով լուծույթի կոնցենտրացիան/ այնպես, որ այն հասնի առավելագույնի: Այսպիսով, և $\sigma \rightarrow 0$, և $\sigma \rightarrow \infty$ դեպքերում մենք կմոտենանք Բացարձակ և մարմնի հատուկություններին: Ցավոք, նման մարմինը, ինչպես ասացինք, համառոտելի չէ Մաքսվելի հավասարումներին: Բերված օրինակը խոսում է էլեկտրադինամիկայում Բացարձակ և էկրանի իրականացնելու անհնարինություն մասին: Կործանականում կարելի է օգտվել ածխով պատած էկրաններից. սրանք Բավական լավ են վերաբառադրում Բացարձակ և մարմնի հատկությունները:

Այսպիսով, Բացարձակ և էկրանի անհնարինությունը Կիրառականի եզրային պայմանների ֆիզիկական ոչ կոռեկտություն պատճառն է:

Հարցի մաթեմատիկական կողմը այն է, որ Կիրառականի եզրային պայմանները մաթեմատիկորեն հակասական են: Իրոք, Կիրառական ապացուցել է միայն /տես Կիրառականի ինտեգրալ թեորեմը. ենթաբաժին երկրորդ/, որ կրբ $U(P)$ -ն ալիքային հավասարման լուծումն է, ապա U և $\frac{\partial U}{\partial n}$ արժեքների միջև տեղի ունի /2.6/ առնչությունը /կամ /3.1/ առնչությունը երկչափ դեպքի համար/: Սակայն նա չէր ապացուցել / և չէր էլ կարող այդ անել /, որ ցանկացած U և $\frac{\partial U}{\partial n}$ Ֆունկցիաների համար /2.6/ -ի / կամ 3.1 -ի / ձևի մասում զրված արտահայտությունը ալիքային հավասարման այնպիսի լուծում է, որի եզրային արժեքները փակ մակերևույթի վրա համընկնում են U Ֆունկցիայի և նրա նորմալ ածանցյալի $\frac{\partial U}{\partial n}$ -ի արժեքներին /հակադարձ պնդում, որը կԵրեք անհրաժեշտ և Բավարար պայմանների կատարմանը քննարկվող թեորեմում/: Ընդհանրապես ասած, այս Բանը տեղի չունի: $\Delta U + \kappa^2 U = 0$ հավասարման լուծումը փնտրելիս չի կարելի կամայական ձևով տալ փակ մակերևույթի վրա U , և $\frac{\partial U}{\partial n}$ արժեքները, քանի որ տված հավասարման

լուծումը միարժեքորեն որոշվում է, երբ փակ մակերևույթի վրա հայտնի են կամ U -ն /Կիրխիլեի խնդիր/, կամ $\frac{\partial U}{\partial n} - c$ /Նեյմանի խնդիր/.

այս պայմաններից միայն մեկին և Օտոագայթման պայմանին Քավարբելու դեպքում հավասարումը կունենա միարժեք լուծում:

V Կիրխիլեի տեսությունը կարելի է ազատել այս թեորեթյունից, եթե Ֆունկցիայի փոխարեն մտնենք Գրինի համապատասխան Ֆունկցիաները՝

$$G_{\mp} = \frac{e^{-i\kappa r_1}}{r_1} \mp \frac{e^{-i\kappa r_2}}{r_2}, \quad /4.1/$$

կամ

$$\bar{Z}_{\mp} = \bar{Z}_0^{(1)}(\kappa r_1) \mp \bar{Z}_0^{(1)}(\kappa r_2), \quad /4.2/$$

համապատասխան եռաչափ և երկչափ դեպքերին: Իրոք, ըստ /3.7/ Բանձևի

$$U(P) = \frac{1}{4\pi} \int_A U \frac{\partial G_{\mp}}{\partial n} dS \quad /4.3/$$

և

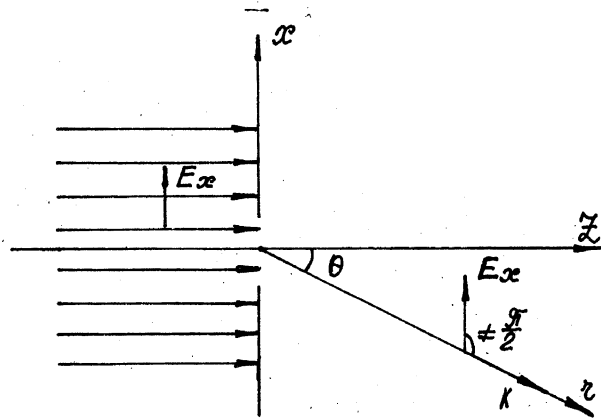
$$U(P) = \frac{1}{2\pi} \int_{A'} U \frac{\partial \bar{Z}_{\mp}}{\partial n} d\bar{S} \quad /4.4/$$

Ըստ /4.3/ և /4.4/- Բանձևերի, միայն U -ի արժեքը Քավարբ է դիֆրակցիոն դաշտը որոշելու համար: /4.1/-ը և /4.2/-ը պարունակում են Գրինի երկու տիպի Ֆունկցիաներ: Երկրորդ դեպքի Ֆունկցիաներով դաշտն արտահայտելիս ինտեգրալի տակ կմնան միայն $\frac{\partial U}{\partial n}$ արժեքները: Այսպիսով, Գրինի Ֆունկցիայի կիրառումը ազատում է Կիրխիլեի տեսությունը որոշակի մաթեմատիկական հակասականություններից: Ասկայն մնում է շատ ավելի կարևոր հարց՝ ինչպես տալ U -ի /կամ էլ $\frac{\partial U}{\partial n}$ -ի/ արժեքները Քացվածքում և էկրանի վրա: Երրորդ ենթաթմունք, Գրինի Ֆունկցիան կառուցելիս, մենք օգտվեցինք Կիրխիլեի պատկերացումներից, որոնք ճիշտ են միայն մոտավոր ձևով: Մեծ Քացվածքների համար, երբ $\kappa a \gg 1$, Կիրխիլեի դատողություններն ավելի ու ավելի հիմնավոր են դառնում:

Վերադառնանք էներգիայի հաշվեկշռի և նրանից Բխող Պոլյտինգի թեորեթի կոպիտ խախտման հարցին: Այս խախտումն ունի երկու, թվում է միմյանց հետ առեղծված չունեցող պատճառներ: Առաջինն այն է, որ փոքր շափսերի Քացվածքների համար Կիրխիլեի ենթադրությունները խիստ հակասական են, մինչդեռ մեծ շափսերի Քացվածքների դեպքում կատարվող մոտավորությունը Քավական լավ է, և Պոլյտինգի թեորեթը մնում է ուժի մեջ: Արևրորդ պատճառը, որը փաստորեն այս նույն ֆիզիկական պատճառի մեկ այլ դրսևորման արդյունք է, հետևյալն է: Պոլյտինգի վեկտորի հոսքի հասկացությունը /հենց այս մեծությունն է մտնում Պոլյտինգի թեորեթի մեջ/ իմաստ ունի միայն փակ մակերևույթների համար: Կիրառենք այն մի փակ մակերևույթի նկատմամբ, որն էկրան է, Քացվածք էկրանի վրա և անվերջ շառավղով կիսագունդ: Ենթադրենք՝ միջավայրը իրական ֆիզիկական միջավայր է և, հետևաբար, ունի փոքր, Քայց վերջավոր կլանում: Այդ դեպքում ինտեգրալը, ըստ կիսագնդի հավասար է գրոյի և մնում է միայն ինտեգրալը ըստ Քացվածքի և էկրանի: Քանի որ մեծ շափսի Քացվածքների համար Կիրխիլեի ենթադրությունները Քավարբ մոտավորությամբ ճիշտ են, հասցը ըստ Քացվածքի հավասար է այդ նույն Քացվածքի շափսի մակերեսի միջով անցնող հոսքին էկրանի Քացվածքային դեպքում: Այսպիսով, կարելի է հաշվել էներգիայի հոսքը ոչ փակ մակերևույթի միջով, եթե մակերեսը, որով անցնում է հոսքը, մեծ է ալիքի երկարությունից / $\kappa a \gg 1$ /: Ասել է, թե ալիքի երկարությունից մեծ շափսեր ունեցող Քացվածքով էկրանի օգնու - թյամբ կարելի է ,կտրել, և չափել այն էներգիան, որն անցնում է Քացվածքին համապատասխան մակերեսով և պնդել, որ այդ էկրանի Քացվածքային դեպքում էլ, նշված մակերեսով կհոսի ընկնող ալիքի էներգիայի նույն քանակությունը: Որքանով այս դատողությունը ճիշտ է, այնքանով էլ Կիրխիլեի մոտավորությունն առավել հիմնավորված է:

Այժմ մեկ այլ հարց, որը նույնպես պարզաբանում է Կիրխիլեի տեսության կիրառման սահմանափակությունը: Կիրխիլեի վերը քննարկված լուծումները վերաբերում են սկալյար ալիքին, մինչդեռ երբ հարցը օրինակ, լույսի ալիքի մասին է մենք գործ ունենք դաշտի \vec{E} և \vec{H} վեկտորների հետ: Դիտարկենք, օրինակ, հարթ ալիքի դիֆրակցիան ճեղքի վրա /նկ.8/:

Նկ.8-ից երևում է, որ θ անկյան տակ դիֆրակցված ալիքը, եթե այն որոշված է Կիրխիլեի սկալյար տեսության մոտավորությամբ, այլևս լայնական չէ և, հետևաբար, չի Քավարբում Մաքսվելի հավասարումներին: Այնուամենայնիվ, մեծ Քացվածքների դեպքում, երբ դիֆրակցված ալիքի



նկ.8

էներգիայի հոսքը հիմնականում ուղղված է փոքր անկյուններով $|\theta \sim 0|$, կարելի է բավարարվել Կիրխոֆի սկալյար տեսության մոտավորությամբ: Մեկ այլ դեպքում, երբ դիֆրակցիան տեղի է ունենում երկչափ մեղքի վրա, և երբ ընկնող ալիքի \vec{E} վեկտորը բևեռացված է մեղքին զուգահեռ, դիֆրակցված ալիքը գլանային է և միշտ կունենա ընկնող ալիքի բևեռացումը. նշված դժվարությունն այս դեպքի համար վերանում է: Ավելին, դիֆրակցիայի նման խնդիր կարելի է լուծել ամենայն խտություններով: Համապատասխան մաթեմատիկական խնդիրը կձևակերպվի հետևյալ կերպ.

Պահանջվում է գտնել

$$\frac{\partial^2 E_y}{\partial x^2} + \frac{\partial^2 E_y}{\partial z^2} + \kappa^2 E_y = 0$$

ալիքային հավասարման լուծումը, երբ հարթ ալիքը ընկնում է $z=0$ հարթության մեջ տեղադրված իդեալական հաղորդիչ էկրանի բացվածքին ուղղահայաց: Այդ լուծումը պետք է բավարարի հետևյալ պայմաններին՝

$$z \rightarrow +\infty, \quad E_y = f(\theta) \frac{e^{i\kappa z}}{\sqrt{z}}$$

այսինքն՝ դիֆրակցված ալիքը պետք է ներկայացնի մեղքից տարամիտող գլանային ալիք:

$$z \rightarrow -\infty, \quad E_y = e^{i\kappa z} - e^{-i\kappa z}$$

այսինքն՝ մեղքից մեծ հեռավորությունների վրա դաշտը պետք է ներկայացնել որպես ընկնող և անդրադարձված ալիքների գումար:

էկրանի մակերևույթին $E_y = 0$:

էկրանից դուրս և բացվածքում E_y -ը և նրա ածանցյալները պետք է լինեն անընդհատ:

Նման դրվածքով խնդիրն անալիտիկ լուծում ունի միայն որոշակի մասնավոր դեպքերում:

Նգրափակենք՝

Կիրխոֆի մոտավոր սկալյար տեսությունն հավաստի է ալիքի երկարության նկատմամբ մեծ բացվածքների դեպքում,

այն առաջել միշտ է դիֆրակցիայի փոքր անկյունների դեպքում,

օպտիկական սարքերում, երբ ալիքի երկարությունը շատ փոքր է սարքերը բնորոշող մեծություններից, Կիրխոֆի սկալյար տեսությունը զրտնում է բավարար և արդյունավետ կիրառություն,

Կիրխոֆի մոտավոր սկալյար տեսությունը ռադիոալիքների տիրույթում ունի կիրառելիության սահմանափակ տիրույթ և, հետևաբար, անհրաժեշտ է այն մշտել:

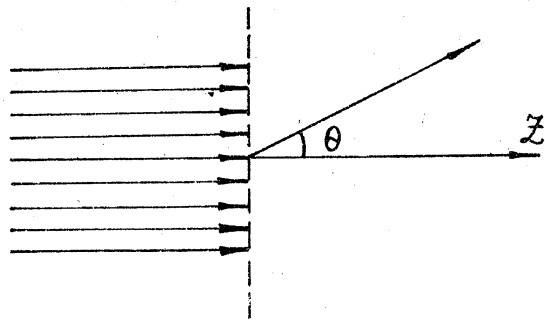
ԿՐԱԿԱՆՈՒԹՅՈՒՆ

1. Л.И.Мандельштам. Лекции по оптике и др. М.,Наука,1972.
2. М.Борн, Э.Вольф. Основы оптики. М.,Наука,1970.

ՌԵԼԵՅԻ ՄԵԹՈԴԸ: ՀԱՏ ՆԵՂ ԺԵՂԵԻ ՎՐԱ ԳԻՓՐԱՆԳԻԱՑԻ ԽՆՊՐԻ ԽԻՍՏ ԼՈՒՆՈՒՄԸ

Գիտարկենք հարթ ալիքի դիֆրակցիայի խնդիրը շատ նեղ անվերջ մեղքի վրա և նրա լուծումը Ռելեյի մեթոդով: Ընդ որում լինելով մոտավոր, այսինքն՝ մշտապես միայն նեղ մեղքի համար, այն ունի ֆիզիկական և մաթեմատիկական խիստ հիմնավորում: Ստացվող խիստ լուծումը, մյուս կողմից, հնարավորություն է ընձեռում, համադրելով նրա արդյունքները վերջավոր մեղքի վրա Կիրխոֆի մոտավորությամբ ստացված լուծումներին՝ քննարկել այդ մոտավորության մի շարք հարցեր: Ֆիզիկական Բովանդակությամբ Ռելեյի մեթոդը համարժեք է Գրինի Ֆունկցիայի մեթոդին, այն կիրառելիս մենք սահմանափակվում ենք միայն էկրանի վրա տրված դաշտի արժեքներով / առանց նորմալ ածանցյալների / և արդյունքները համընկնում են Գրինի Ֆունկցիայի մեթոդով ստացվածներին: Այսպիսով, հենց սկզբից պարզ է, որ Բոլոր այն դժվարությունները, որոնք հատուկ էին Գրինի Ֆունկցիայի մեթոդին, առկա են Ռելեյի մեթոդում:

Գիտարկենք հարթ ալիքի դիֆրակցիան $z = 0$ հարթության մեջ տեղադրված էկրանի մեղքերի վրա / նկ. 9 /



նկ. 9

Մեղքերի ծնիչները զուգահեռ են y - առանցքին, E հարթ ալիքը թևեռացված է y հարթության մեջ՝ $E = E_y$, դաշտը ընկնում է էկրանին ուղղահայաց՝ z առանցքին զուգահեռ:

Փնտրենք E դաշտը որպես

$$\frac{\partial^2 E}{\partial x^2} + \frac{\partial^2 E}{\partial z^2} + \kappa^2 E = 0 \quad /5.1/$$

հավասարման լուծում: Այդպիսի մի մասնավոր լուծում կարելի է գրել հետևյալ տեսքով՝

$$e^{i(\mu x + z\sqrt{\kappa^2 - \mu^2})} \quad /5.2/$$

որտեղ μ -ն կամայական մեծություն է: Երբ $|\mu| < \kappa$, /5.2/-ը ներկայացնում է հաստատուն ամպլիտուդով հարթ ալիք, որը տարածվում է z առանցքի նկատմամբ θ անկյան տակ, ըստ որում՝

$$\text{tg } \theta = \frac{\mu}{\sqrt{\kappa^2 - \mu^2}} \quad /5.3/$$

Երբ $|\mu| > \kappa$, /5.2/ լուծումը աստիճանացույցով նվազող ալիք է z -ի ուղղությամբ, և վազող ալիք՝ x -ի ուղղությամբ, կախված x -ից սինուսիդալ օրենքով՝

$$e^{i(\mu x - z\sqrt{\mu^2 - \kappa^2})} \quad /5.4/$$

/5.1/ զծային հավասարման լուծումները կարելի է ներկայացնել որպես /5.2/ ալիքների վերադրում՝

$$E = \sum_m c_m e^{i(\mu_m x + z\sqrt{\kappa^2 - \mu_m^2})} \quad /5.5/$$

Ենթադրենք էկրանը պարբերական կառուցվածք է / դիֆրակցիոն ցանց է/: Ընտրենք c_m -ը և μ_m -ը այնպես, որ հնարավոր լինի Բավարարել եզրային պայմաններին, ասել է՝ դաշտի Բաշխվածության էկրանի վրա: Այդ դեպքում շնորհիվ միարժեքության թեորեմի, /5.1/ հավասարման լուծումները պետք է համընկնեն Գրինի Ֆունկցիայի օգնությամբ ստացվող լուծումներին:

Իրացնելով $z = 0$ / էկրանի վրա / տրված է դաշտի Բաշխվածությունը որպես x -ից կախված պարբերական Ֆունկցիա՝

$$E(x, 0) = f(x), \quad /5.6/$$

այսինքն՝

$$\sum_m c_m e^{i\mu_m x} = f(x), \quad z=0. \quad /5.7/$$

/5.7/ -ը հնարավոր պայման է: $f(x)$ -ը լինելով պարբերական Ֆուրիեի ցիա, կարող է ներկայացվել նման Ֆուրիեի շարքի ձևով: Իրոք, Բավական է ենթադրել՝

$$\mu_m = \frac{2\pi}{d} m = \mu m, \quad \mu = \frac{2\pi}{d},$$

/5.8/

որտեղ՝ $m = 0, \pm 1, \pm 2, \dots, d$ -ն ցանցի պարբերությունն է, այսինքն՝ $f(x)$ Ֆուրիեի պարբերությունը, որպեսզի /5.8/ Ֆուրիեի շարքի գործակիցները որոշվեն.

$$c_m = \frac{1}{d} \int_{-d/2}^{d/2} f(x) e^{-i\mu m x} dx \quad /5.9/$$

Այսպիսով, նշված դիֆրակցիոն խնդրի լուծման Բաղադրատուսը պարզ է: Պետք է որոշել c_m գործակիցները Ֆուրիեի /5.9/ ինտեգրալի ձևով և գրել խնդրի լուծումը հետևյալ տեսքով՝

$$E = \sum_{m=-\infty}^{\infty} c_m e^{i(m\mu x + z\sqrt{k^2 - m^2\mu^2})} \quad /5.10/$$

Այս շարքի անդամները մեծ m -երի համար / $m > k/\mu$ / աստիճանագրված չեն: Ավելի խիստ՝ ելնելով շարքերի մասին Աբելի թեորեմից, կարելի է ցույց տալ, որ /5.10/-ում անվերջ նվազում է այսպիսի անդամների անվերջ գումարը: Մեծ հեռավորությունների վրա /5.10/-ում մնում են միայն այնպիսի անդամներ, որոնց համար $m < k/\mu$: Սրանք համասեռ հարթ ալիքներ են, որոնց համար տեղի ունի հետևյալ պայմանը՝

$$m\mu = k \sin \theta_m, \quad \sin \theta_m = m \frac{\lambda}{d} \quad /5.11/$$

Մինչ այժմ դիտարկվում էր անվերջ դիֆրակցիոն ցանց / $f(x)$ -ը պարբերական Ֆուրիեի ցիա էր /: Դիֆրակցիոն խնդրի տեսակետից առավել հետաքրքիր է վերջավոր ցանցի և, վերջապես, մեկ մեղքի դիտարկումը: Կիրառելով Ռելեյի դատողություններն այս դեպքում գրենք /5.10/-ը Ֆուրիեի ինտեգրալի ձևով /և ոչ թե շարքի /.

$$E(x, z) = \frac{1}{\sqrt{2\pi}} \int_{-\infty}^{\infty} g(u) e^{i(\mu x \pm z\sqrt{k^2 - u^2})} du \quad /5.11/$$

/5.11/-ում $g(u)$ Ֆուրիեի ցիան պետք է որոշել /5.6/ տիպի եզրային պայմանից: Բանի որ՝

$$E(x, 0) = \frac{1}{\sqrt{2\pi}} \int_{-\infty}^{\infty} g(u) e^{i\mu x} du = f(x) \quad /5.6, a/$$

այսպիսով՝

$$g(u) = \frac{1}{\sqrt{2\pi}} \int_{-\infty}^{\infty} f(x) e^{-i\mu x} dx \quad /5.12/$$

Հայտնի $g(u)$ -ի դեպքում /5.11/-ից, մեծ z -երի համար կարելի է հեշտությամբ հաշվել դիֆրակցիոն դաշտը /մոտավոր հաշվել /5.11/ ինտեգրալը մեծ z -երի համար/: Մենք կգնանք Կիրխոֆի մասնավորում: Ենթադրենք՝ մեղքի լայնությունը հավասար է $2a$ -ի: Այս դեպքում ըստ Կիրխոֆի եզրային պայմանների՝

$$\begin{aligned} f(x) &= 1, & |x| &\leq a; \\ f(x) &= 0, & |x| &> a, \end{aligned}$$

/5.13/

Որտեղից՝

$$g(u) = \frac{1}{\sqrt{2\pi}} \int_{-a}^a e^{-iux} dx = \sqrt{\frac{2}{\pi}} \frac{\sin ua}{u}$$

/5.14/

Այժմ տեղադրենք /5.14/-ը /5.11/-ի մեջ և հաշվենք ինտեգրալը մոտավոր ձևով գերադաս փայլունթացի եղանակով: Շատ մեծ x -երի և z -երի համար /5.11/ ինտեգրալում ներդրում տալիս են u -ի այն արժեքները, որոնք համապատասխանում են , թամբային, կետին այն է՝

$$\frac{\partial}{\partial u} (ux + z\sqrt{k^2 - u^2}) = 0$$

/5.15, ա/

պայմանին:

Մտցնենք գլանային կոորդինատային համակարգ՝

$$x = \rho \sin \theta$$

$$z = \rho \cos \theta$$

/5.15, բ/

/5.15/-ից կստանանք՝

$$x - \frac{uz}{\sqrt{k^2 - u^2}} = 0$$

և

$$u = k \sin \theta$$

Այսպիսով՝

$$E(\rho, \theta) = \frac{1}{\sqrt{2\pi}} \cos \theta \frac{\sin(k\rho \sin \theta)}{k \sin \theta} \cdot \frac{e^{i(k\rho - \frac{z}{\rho})}}{\sqrt{\rho}}$$

/5.16/

եկանք դիֆրակցիոն երկչափ խնդրի համար երրորդ ենթաբաժնում, Գրի-նի Ֆունկցիայի մեթոդով ստացված արտահայտությունը: Արված մոտավոր հաշվարկը ենթադրում էր, որ $\cos \theta \sim 1$, այսինքն՝ $z \cos \theta \gg 1$: Այլ խոսքով՝ /5.16/-ը ճիշտ է դիֆրակցիայի փոքր անկյունների դեպքում:

Այսպիսով, Ռեյլեյի մեթոդը նույնպես հնարավորություն է տալիս որոշել ճեղքի դիֆրակցիոն դաշտը և Բավականաչափ կարծ ալիքների /կամ մեծ Բացվածքների /դեպքում Բերում է հավաստի արդյունքների: Փոքր չափ-սի Բացվածքների դեպքում, ինչպես արդեն նշել ենք, Կիրխոֆի եզրային պայմանները կոռեկտ չեն և Բերում են սխալ արդյունքների: Այս առումով դիտարկենք շատ նեղ ճեղքի սահմանային դեպքը և, ելնելով Ռեյլեյի

պատկերացումներից, տանք խնդրի խիստ լուծումը այս մասնավոր դեպքի համար:

Խնդրին համապատասխանում է նկ.9-ում պատկերված դեպքը: Ալիքը Բևեռացված է $y = 0$ հարթության մեջ / $E = E_y$ /; Մենք փնտրում ենք երկչափ, $2a$ լայնության, անվերջ ճեղքի դիֆրակցիոն դաշտը:

Ճշգրիտ տեսության նպատակն է որոշել $E(x, z)$ դիֆրակցիոն դաշտը, որը

$$\frac{\partial^2 E}{\partial x^2} + \frac{\partial^2 E}{\partial z^2} + k^2 E = 0$$

հավասարման լուծումն է և Բավարարում է հետևյալ պայմաններին՝

E - ն և $\frac{\partial E}{\partial z} = ikH$ - ն անընդհատ են էկրանից դուրս և ճեղքի վրա,

$z = 0$, $|x| > a$, $E_y = 0$ եզրային պայմանը իդեալական հանդուրժելի վրա;

$z = -\infty$ -ում /ընկնող ալիքի կողմից/ դաշտը գրվում է հետևյալ ձևով՝

$$E = e^{ikz} - e^{-ikz} + \varphi(x, z)$$

E -ի համար գրված պայմաններից հետևում է, որ $z = 0$ հարթության մեջ φ -ն և $\frac{\partial \varphi}{\partial z}$ -ն անընդհատ են, սակայն, երբ $z = 0$,

$|x| \leq a$ /ճեղքի վրա/, φ -ն անընդհատ է, մինչդեռ $\frac{\partial \varphi}{\partial z}$ -ը ունի թռիչք՝ $\frac{\partial \varphi}{\partial z} \Big|_{z=0} = 2ik$: Իրոք՝

$$E(x, 0) = \varphi(x, 0) \quad \text{անընդհատ է:}$$

$$\frac{\partial E}{\partial z} = 2ik + \frac{\partial \varphi}{\partial z} \Big|_{z=0}, \quad z \leq 0$$

$$\frac{\partial E}{\partial z} = \frac{\partial \varphi}{\partial z} \Big|_{z=0}, \quad z \geq 0$$

Ամենուր էկրանի վրա / $z = 0$, $|x| > a$ / $\varphi = 0$: Իրոք՝

$$E(x, 0) \Big|_{|x| > a} = 0, \quad \varphi(x, 0) \Big|_{|x| > a} = 0$$

Այսպիսով, եթե գրենք՝

$$\psi(x, 0) = f(x),$$

այսպիսով

$$f(x) = 0, \text{ երբ } |x| > a \quad /A/$$

ψ -ն ձգտում է զրոյի, երբ $z \rightarrow \pm \infty$ և նկարագրում է էկրանից երկու կողմ տարածվող ալիքներ: Խնդրի լուծումը փնտրենք /5.11/-ի նմանությամբ:

$$\psi(x, z) = \int_{-\infty}^{\infty} g(u) \exp [i(ux \pm z\sqrt{k^2 - u^2})] du \quad /5.17/$$

վերցնելով /5.11/-ում+, երբ $z > 0$ կամ -, երբ $z < 0$, ինտեգրալի նշանի տակ կՔավարարենք վերջին՝ /4/ պայմանին: Երբ $z = 0$,

$$\psi(x, 0) = f(x) = \int_{-\infty}^{\infty} g(u) e^{iux} du$$

և

$$g(u) = \frac{1}{2\pi} \int_{-\infty}^{\infty} f(x) e^{-iux} dx$$

Օգտվելով /A/ պայմանից՝

$$g(u) = \frac{1}{2\pi} \int_{-a}^a f(x) e^{-iux} dx \quad /5.18/$$

Մտում է Քավարարել /Ա/ պայմանին: Այդ նպատակով պետք է ընտրել համապատասխան $f(x)$ ֆունկցիա $|x| \leq a$ տիրույթում: Սա է դիտարկվող խնդրի լուծման էությունը:

/5.17/-ով արտահայտված $\psi(x, z)$ ֆունկցիան անընդհատ է ցանկացած $g(u)$ -ի համար $z = 0$ -ում: Անհրաժեշտ է Քավարարել $\frac{\partial \psi}{\partial z}$ -ի թուղի պայմանին: Ածանցենք /5.17/ -ը ըստ z -ի և զրենք՝

$$\left. \frac{\partial \psi}{\partial z} \right|_{z=0} = i \int_{-\infty}^{\infty} g(u) \sqrt{k^2 - u^2} e^{iux} du - i \int_{-\infty}^{\infty} g(u) (-\sqrt{k^2 - u^2}) e^{iux} du = 2i \int_{-\infty}^{\infty} g(u) \sqrt{k^2 - u^2} e^{iux} du$$

/Ա/ պայմանը $\frac{\partial \psi}{\partial z}$ -ի թուղիի համար $z = 0$ -ում կլինի՝

$$\int_{-\infty}^a g(u) \sqrt{k^2 - u^2} e^{iux} du = \kappa, \quad |x| < a \quad /5.19/$$

և $g(u)$ -ն արտահայտվում է $f(x)$ -ով՝ ըստ /5.18/-ի:

Մինչև հիմա դատողություններն ընդհանուր էին: Այժմ անցնենք մեզ հետաքրքրող նեղ մեղրի դեպքին, երբ $\kappa a \ll 1$: Կարելի է ցույց տալ որ այս դեպքում հնարավոր է գտնել $f(x)$ ֆունկցիայի տեսքը: Ինչու Ռեյնո ժամանակին ցույց էր տրվել, որ դաշտի Քաշվածությունը շատ նեղ մեղրի վրա ենթարկվում է հետևյալ օրինաչափության՝

$$f(x) = \frac{\kappa}{i} \sqrt{a^2 - x^2} \quad /5.20/$$

Ցույց տանք, որ /5.20/-ը $a \ll \lambda$ և $\kappa a \ll 1$ պայմանների դեպքում որոշակի ճշտությամբ կՔերի /5.19/ պայմանի կատարմանը: /5.20/-ի դեպքում /5.18/-ը կզրվի՝

$$g(u) = \frac{\kappa}{2\pi i} \int_{-a}^a \sqrt{a^2 - x^2} e^{-iux} dx = \frac{\kappa a^2}{2\pi i} \int_{-1}^1 \sqrt{1 - \mu^2} e^{-i\mu \kappa a} d\mu = \frac{\kappa a^2}{2i} \frac{J_1(ua)}{ua} \quad /5.21/$$

Եթե օգտվենք

$$\int_0^1 \sqrt{1 - \mu^2} \cos \mu d\mu = \frac{\pi}{2} \frac{J_1(\mu)}{\mu}$$

Քանակից:

Մտում է ցույց տալ, որ $g(u)$ -ի համար ստացված /5.21/ արտահայտությունը թույլ է տալիս մոտավոր ձևով ապահովել /5.19/ պայմանի կատարումը:

$$\frac{1}{\kappa} \int_{-\infty}^{\infty} g(u) \sqrt{\kappa^2 - u^2} e^{iux} du = \frac{a}{i} \int_0^{\infty} \frac{J_1(au)}{u} \sqrt{\kappa^2 - u^2} \cos ux du =$$

$$= I_1 + I_2 + I_3 = 1$$

որտեղ՝

$$I_1 = a \int_0^{\infty} J_1(au) \cos ux du,$$

$$I_2 = a \int_0^{\kappa} J_1(au) \cos ux \left[\frac{\sqrt{\kappa^2 - u^2}}{iu} - 1 \right] du$$

$$I_3 = a \int_{\kappa}^{\infty} J_1(au) \cos ux \left[\frac{\sqrt{\kappa^2 - u^2}}{iu} - 1 \right] du$$

Առաջին ինտեգրալը վերցվում է առանց մոտավորության.

$$\int_0^{\infty} J_1(\xi) \cos \left[\xi \left(\frac{x}{a} \right) \right] d\xi = \begin{cases} 1, & |x/a| \leq 1 \\ 1 - \frac{1}{\sqrt{(x/a)^2 - 1}}, & |x/a| > 1 \end{cases}$$

որտեղ $\xi = au$: Այսպիսով, $I_1 = 1$:

Երկրորդ և երրորդ ինտեգրալները կգնահատենք մոտավորապես :
Նախ՝ $|u| < \kappa$.

$$\left| \frac{\sqrt{\kappa^2 - u^2}}{iu} - 1 \right| = \left| \frac{\sqrt{\kappa^2 - u^2} - iu}{iu} \right| = \frac{\sqrt{\kappa^2 - u^2 + u^2}}{u} = \frac{\kappa}{u}, \quad J_1(au) < \text{const} \cdot ua,$$

$$I_2 < a \int_0^{\kappa} |J_1(au)| |\cos ux| \frac{\kappa}{u} du < \kappa a^2 \text{const} \int_0^{\kappa} du = \text{const} \cdot \kappa^2 a^2$$

Այսպիսով՝ $|u| > \kappa$.

$$\left| \frac{\sqrt{u^2 - \kappa^2}}{u} - 1 \right| = \left| \frac{\sqrt{u^2 - \kappa^2} - u}{u} \right| = \left| \frac{u^2 - \kappa^2 - u^2}{u(\sqrt{u^2 - \kappa^2} + u)} \right| \leq \frac{\kappa^2}{u^2}, \quad J_1(au) < 1$$

և

$$I_3 < a \kappa^2 \int_{\kappa}^{\infty} \frac{du}{u^2} = a \kappa$$

Այսպիսով՝

$$I_1 + I_2 + I_3 = 1 + O(\kappa a)$$

և /5.19/ թռիչքի պայմանը կատարվում է (κa) -ի մշտութեամբ /հիշելնք, որ $\kappa a \ll 1$ /:

Այսպիսով՝

$$g(u) = \frac{\kappa a}{2i} \frac{J_1(au)}{u}$$

Դիֆրակցիոն դաշտը կարելի է հաշվել դարձյալ գերադաս վայրերում՝ ընթացի եղանակով, /5.17/ ինտեգրալից՝

$$E(\rho, \theta) = \psi(\rho, \theta)_{z>0} = \sqrt{\frac{2}{\pi}} \frac{\kappa a}{2i} \frac{e^{i(\kappa\rho - \frac{\pi}{4})}}{\sqrt{\rho}} \cos \theta \cdot \frac{J_1(\kappa a \sin \theta)}{\kappa \sin \theta}$$

/5.22/

/5.22/-ը κa -ի մշտութեամբ $|\kappa a \ll 1|$ նեղ ճեղքի վրա երկչափ դիֆրակցիոն խնդրի խիստ լուծումն է և տարբերվում է մեծ ճեղքի համար Կիրխոֆի մոտավորությանը Գորնի ֆունկցիայի մեթոդով ստացված բանաձևից՝ /5.16/-ից :

Երկու դեպքում էլ ճեղքից տարածվում են զլանային ալիքներ : /5.16/ և /5.22/ լուծումներն ունեն նաև ուրիշ որակական ընդհանուր գծեր, սակայն բանական տարբերությունն ակնհայտ է :

ԳՐԱԿԱՆՈՒԹՅՈՒՆ

И. Л.И.Мандельштам. Лекции по оптике и др. М., Наука, 1972.

ԳՐԻՆԻ ԲԱՆԱՉԵՎԻ ՎԵԿՏՈՐԱԿԱՆ ՀԱՄԱՐԱՆՈՒԹՅՈՒՆԸ: ԿԻՐԽՆՈՓԻ ԻՆՏԵԳՐԱԼ ԲԱՆԱՉԵՎԵՐԻ ԱՐՏԱՆՈՒՄԸ ԷԼԵԿՏՐԱՄԱԳՆԻՍԱԿԱՆ ԱԼԿԵՆՆԵՐԻ ՀԱՄԱՐ

Էլեկտրամագնիսական ալիքների դեպքում Կիրխնոփի սկալյար տեսութունը կարելի է կիրառել միայն որոշակի վերապահումներով: Իմաստ ունի, հետևաբար, հետազոտել այն հարցը, թե ինչպես կարելի է համարժեք տեսութուն ստեղծել, ելնելով Մաքսվելի հավասարումներից: Նման ընդհանրացում էլեկտրամագնիսական ալիքների համար արել է Կոտլերը, և ստեղծված տեսութունը երբեմն անվանում են Կիրխնոփ-Կոտլերի տեսութուն:

Ելակետը հանդիսանում է Գրինի Բանաձևի վեկտորական համաբանութունը /անալոգ/: Անցնենք այս Բանաձևի արտածմանը:

Դիցուք՝ \vec{P} և \vec{Q} վեկտորական Ֆունկցիաներն անընդհատ են և ունեն անվազն մինչև երկրորդ կարգի անընդհատ ածանցյալներ ν տիրույթում, ընդհուպ մինչև այդ տիրույթը սահմանափակող S մակերևույթը: Գրենք այս Ֆունկցիաների համար Գաուս-Օստրոգրադսկու Բանաձևը.

$$\int_{\nu} \operatorname{div} [\vec{P} \operatorname{rot} \vec{Q}] d\nu = \oint_S [\vec{P} \operatorname{rot} \vec{Q}]_n dS \quad /6.1/$$

Քանի որ՝

$$\operatorname{div} [\vec{P} \operatorname{rot} \vec{Q}] = \operatorname{rot} \vec{P} \operatorname{rot} \vec{Q} - \vec{P} \operatorname{rot} \operatorname{rot} \vec{Q}$$

ապա՝

$$\int_{\nu} (\operatorname{rot} \vec{P} \operatorname{rot} \vec{Q} - \vec{P} \operatorname{rot} \operatorname{rot} \vec{Q}) d\nu = \oint_S [\vec{P} \operatorname{rot} \vec{Q}]_n dS \quad /6.1, \text{ա}/$$

Գրված արտահայտությունները սիմետրիկ են \vec{P} և \vec{Q} վեկտորների նկատմամբ, կարելի է գրել նաև՝

$$\int_{\nu} (\operatorname{rot} \vec{Q} \operatorname{rot} \vec{P} - \vec{Q} \operatorname{rot} \operatorname{rot} \vec{P}) d\nu = \oint_S [\vec{Q} \operatorname{rot} \vec{P}]_n dS \quad /6.1, \text{բ}/$$

Հանելով, համապատասխանորեն, միմյանցից /6.1, ա/ և /6.1, բ/ հավասարումների աջ և ձախ մասերը, կստանանք՝

$$\int_{\nu} (\vec{Q} \operatorname{rot} \operatorname{rot} \vec{P} - \vec{P} \operatorname{rot} \operatorname{rot} \vec{Q}) d\nu = \oint_S \{ [\vec{P} \operatorname{rot} \vec{Q}] - [\vec{Q} \operatorname{rot} \vec{P}] \}_n dS \quad /6.2/$$

Գրինի Բանաձևի վեկտորական համաբանութունը, ընկած է Կիրխնոփի էլեկտրամագնիսական տեսութան իմքում: Հնդուները, որ /6.2/-ում $\vec{P} \equiv \vec{E}$, $\vec{Q} = \vec{a} \frac{e^{i\kappa t}}{r} = \vec{a} \varphi$, ընդ որում՝ \vec{a} -ը որոշված է միշտ այնպես, ինչպես սկալյար դեպքում, իսկ \vec{a} -ն կամայական հաստատուն վեկտոր է; \vec{E} -ն էլեկտրամագնիսական դաշտի էլեկտրական վեկտորն է և \vec{H} վեկտորի հետ Բավարրում է վակուումում Մաքսվելի հավասարումներին՝

$$\operatorname{rot} \vec{H} = -i \frac{\omega}{c} \vec{E} + \frac{4\pi}{c} \vec{j} \quad /6.3, \text{ա}/$$

$$\operatorname{rot} \vec{E} = i \frac{\omega}{c} \vec{H} \quad /6.3, \text{բ}/$$

$$\operatorname{div} \vec{H} = 0 \quad /6.3, \text{գ}/$$

$$\operatorname{div} \vec{E} = 4\pi g \quad /6.3, \text{դ}/$$

Կատարենք ձևափոխություններ /6.2/-ում զրված արտահայտությունների հետ: Նախ՝

$$\operatorname{rot} \vec{Q} = \operatorname{rot} (\vec{a} \varphi) = \varphi \operatorname{rot} \vec{a} + [\operatorname{grad} \varphi \cdot \vec{a}] = [\operatorname{grad} \varphi \cdot \vec{a}],$$

$$\operatorname{rot} \operatorname{rot} \vec{Q} = \operatorname{rot} [\operatorname{grad} \varphi \cdot \vec{a}] = \operatorname{grad} \varphi \operatorname{div} \vec{a} - \vec{a} \operatorname{div} \operatorname{grad} \varphi +$$

$$+ (\vec{a} \operatorname{grad}) \operatorname{grad} \varphi - (\operatorname{grad} \varphi \cdot \operatorname{grad}) \vec{a} = -\vec{a} \operatorname{div} \operatorname{grad} \varphi + (\vec{a} \operatorname{grad}) \operatorname{grad} \varphi$$

Քանի որ $\varphi = \frac{e^{i\kappa t}}{r}$ Ֆունկցիան Բավարրում է $\Delta \varphi + \kappa^2 \varphi = 0$ հավասարմանը, ապա՝

$$\operatorname{div} \operatorname{grad} \varphi = \Delta \varphi = -\kappa^2 \varphi$$

Դիտենք հետևյալ նույնությունը՝

$$\text{grad}(\vec{a} \text{grad} \varphi) = (\vec{a} \text{grad}) \text{grad} \varphi + (\text{grad} \varphi \text{grad}) \vec{a} +$$

$$[\vec{a} \text{rot grad} \varphi] + [\text{grad} \varphi \text{rot} \vec{a}] = (\vec{a} \text{grad}) \text{grad} \varphi$$

Այսպիսով՝

$$\text{rot rot } \vec{Q} = \kappa^2 \varphi \vec{a} + \text{grad}(\vec{a} \text{grad} \varphi)$$

Այնուհետև, օգտվելով /6.3, ա/ և /6.3, բ/ -ից, կստանանք՝

$$\text{rot rot } \vec{P} = \text{rot rot } \vec{E} = i \frac{\omega}{c} \text{rot } \vec{H} = \frac{\omega^2}{c^2} \vec{E} + \frac{4\pi i \omega}{c^2} \vec{j} =$$

$$= \kappa^2 \vec{E} + \frac{4\pi i \omega}{c^2} \vec{j}$$

Արված ձևափոխությունները թույլ են տալիս /6.2/-ը գրել հետևյալ տեսքով՝

$$\int_V [\vec{a} \varphi (\kappa^2 \vec{E} + \frac{4\pi i \omega}{c^2} \vec{j}) - \vec{E} (\kappa^2 \varphi \vec{a} + \text{grad}(\vec{a} \text{grad} \varphi))] dV =$$

$$= \oint_S \{ [\vec{E} [\text{grad} \varphi \vec{a}]] - \varphi [\vec{a} \text{rot } \vec{E}] \}_n dS,$$

այսինքն՝

$$\vec{a} \frac{4\pi i \omega}{c^2} \int_V \vec{j} \varphi dV - \int_V \vec{E} \text{grad}(\vec{a} \text{grad} \varphi) dV =$$

$$= \oint_S \{ \vec{n} [\vec{E} [\text{grad} \varphi \vec{a}]] - \varphi \vec{n} [\vec{a} \text{rot } \vec{E}] \} dS$$

Շարունակենք արգելումները . դիտարկենք հետևյալ նույնությունը՝

$$\text{div} \{ (\vec{a} \text{grad} \varphi) \vec{E} \} = \vec{E} \text{grad}(\vec{a} \text{grad} \varphi) + (\vec{a} \text{grad} \varphi) \text{div } \vec{E}$$

որի օգնությամբ՝

$$\int_V \vec{E} \text{grad}(\vec{a} \text{grad} \varphi) dV = \int_V \text{div} \{ (\vec{a} \text{grad} \varphi) \vec{E} \} dV - \int_V (\vec{a} \text{grad} \varphi) \text{div } \vec{E} dV$$

Կառու - Օստրոգրադսկու բանաձևի համաձայն՝

$$\int_V \text{div} \{ (\vec{a} \text{grad} \varphi) \vec{E} \} dV = \oint_S (\vec{a} \text{grad} \varphi) (\vec{n} \vec{E}) dS = \vec{a} \oint_S \text{grad} \varphi (\vec{n} \vec{E}) dS$$

Հետո՝

$$\vec{n} [\vec{E} [\text{grad} \varphi \vec{a}]] = [[\vec{n} \vec{E}] \text{grad} \varphi] \vec{a}, \quad \vec{n} [\vec{a} \text{rot } \vec{E}] = -\vec{a} i_k [\vec{n} \vec{H}]$$

/6.3/ -ից ունենք՝

$$\text{div } \vec{E} = 4\pi \rho$$

ի վերջո, /6.2/-ը կգրվի հետևյալ կերպ՝

$$\vec{a} \frac{4\pi i \omega}{c^2} \int_V \vec{j} \varphi dV - \vec{a} \oint_S \text{grad} \varphi (\vec{n} \vec{E}) dS + 4\pi \vec{a} \int_V \rho \text{grad} \varphi dV =$$

$$= \vec{a} \oint_S \{ [[\vec{n} \vec{E}] \text{grad} \varphi] dS - \vec{a} i_k \oint_S [\vec{H} \vec{n}] dS$$

կրճատենք հավասարման երկու կողմերի նույն հաստատուն \vec{a} վեկտորը և հավաքենք ինտեգրալները ըստ փակ մակերևույթի հավասարման աջ մասում.

$$\frac{4\pi i \omega}{c^2} \int_V \vec{j} \varphi dV + 4\pi \int_V \rho \text{grad} \varphi dV =$$

$$= \oint_S \{ \text{grad} \varphi (\vec{n} \vec{E}) + [[\vec{n} \vec{E}] \text{grad} \varphi] + i_k [\vec{n} \vec{H}] \varphi \} dS$$

/6.4/

Ստացված /6.4/ հավասարման մեջ, նրա աջ մասում, ինտեգրալի նշանի տակ մտնում են $(\vec{n} \vec{E})$, $[[\vec{n} \vec{E}]]$ և $[\vec{n} \vec{H}]$ մեծությունները: նման արտահայտություններով որոշվում էին, համապատասխանաբար, էլեկտրական դաշտի նորմալ ու տանգենցիալ և մագնիսական դաշտի տանգենցիալ Բաղադրիչների թռիչքները՝ սահմանային պայմաններին Բավարարելիս: Հստ որում՝ $(\vec{n} \vec{E})$ արտահայտությանը համապատասխանում էին մակերևույթի վրա մակաձվող լիցքերը, $[\vec{n} \vec{H}]$ -ին՝ էլեկտրական հոսանքները: Տեսնվի-

կայում երբեմն էլ ընդունված է $[\vec{n}\vec{E}]$ մեծությունը համաժանորեն անվանել , մագնիսական հոսանք, , իսկ հանդիպող $(\vec{n}\vec{H})$ -ը՝ մագնիսական լիցք, : Իհարկե, ոչ մի իրական մագնիսական լիցքերի և մագնիսական հոսանքների մասին խոսք չի կարող: Սակայն մտցնելով նման մտացածին մեծություններ, հնարավոր է ավիքները տարաբաժանել ըստ նրանց Քևեոսցումների / E և H /: Ավելորդ է ասել, որ ցանկացած ինդիք սկզբունքորեն կարելի է լուծել մինչև վերջ՝ առանց այս գործողությունը կատարելու:

Վերադառնանք /6.4/ հավասարմանը: Այնտեղ $\varphi = \frac{e^{ikz}}{z}$ Փունկցիան $z = 0$ / P / կետում ունի հատուկ կետ: Նույն ձևով, ինչպես անում էինք. Կիրխոֆի սկալյար տեսությունը քննարկելիս, շրջափակենք այդ կետը ε շառավղով S' գնդային մակերևույթով և ենթադրենք, որ S և S' մակերևույթներով սահմանափակված տիրույթում լիցքեր և հոսանքներ չկան, այսինքն՝ այնտեղ $\vec{j} = 0$ և $\rho = 0$: /6.4/ հավասարման ձևի մասը այդ դեպքում հավասար է զրոյի, իսկ շառավղի մասում ինտեգրումը կզնա $S + S'$ մակերևույթներով: Չգտեցնենք S' գնդային մակերևույթի ε շառավղով զրոյի և հաշվենք S' մակերևույթով տարվող ինտեգրման արդյունքն այս դեպքում՝

$$\lim_{\varepsilon \rightarrow 0} \int_{S'} \left\{ \vec{z}_0 \frac{e^{ik\varepsilon}}{\varepsilon} (ik - \frac{1}{\varepsilon})(\vec{n}\vec{E}) + [[\vec{n}\vec{E}]\vec{z}_0] \frac{e^{ik\varepsilon}}{\varepsilon} (ik - \frac{1}{\varepsilon}) + ik[\vec{n}\vec{H}] \frac{e^{ik\varepsilon}}{\varepsilon} \right\} \varepsilon^2 d\Omega =$$

$$= - \int_{S'} \left\{ \vec{z}_0 (\vec{n}\vec{E}) + [[\vec{n}\vec{E}]\vec{z}_0] \right\} d\Omega = 4\pi \vec{E}(P).$$

Հետևաբար՝

$$\vec{E}(P) = \frac{1}{4\pi} \int_S \left\{ ik\varphi[\vec{n}\vec{H}] + [[\vec{n}\vec{E}]\text{grad}\varphi] + \text{grad}\varphi(\vec{n}\vec{E}) \right\} dS$$

/6.5/

/6.5/-ը /2.6/ Քանաձևի էլեկտրամագնիսական համաժանությունն է: Այն ասում է, որ կամայական կետում դաշտի մեծությունը որոշվում է միարժեքորեն, եթե այդ կետը շրջափակող S փակ մակերևույթի վրա տրված են էլեկտրական և մագնիսական դաշտերի արժեքները:

Այնհայտ է, որ մագնիսական դաշտի մեծությունը $\vec{H}(P)$ -ն, կարելի է հաշվել նույն ձևով: Ավելի հեշտ է, սակայն, այն ստանալ /6.5/ից կատարելով էլեկտրամագնիսական ավիքների սիմետրիայի հատկություններից Քխոլ

$$\vec{E} \rightarrow \vec{H} \quad \text{և} \quad \vec{H} \rightarrow -\vec{E}$$

փոխանակումները՝

$$\vec{H}(P) = \frac{1}{4\pi} \int_S \left\{ ik\varphi[\vec{n}\vec{E}] - [[\vec{n}\vec{H}]\text{grad}\varphi] - \text{grad}\varphi(\vec{n}\vec{H}) \right\} dS$$

/6.6/

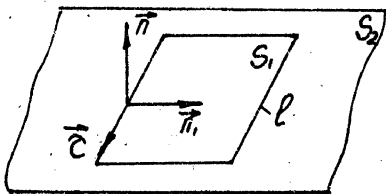
Ստացված /6.5/ և /6.6/ արտահայտությունները Կիրխոֆի ինտեգրալ բանաձևերն են՝ գրված էլեկտրամագնիսական ավիքների համար: Սրանց դեռևս ոչ մի մոտավորություն չեն պարունակում և, ինչպես սկալյար տեսությունում, կարող են հիմք հանդիսանալ համապատասխան մոտավոր դիֆրակցիոն Քանաձևերի ստացման համար:

ԳՐԱԿԱՆՈՒԹՅՈՒՆ

I. Дж.Стреттон. Теория электромагнетизма. М., ГИИТЛ, 1948.

Ձեպւօթոթօթօթօթօթօթ ԿԻՐՈՂՈՒԹ ԻՆՏԵԳՐԱԼՆԵՐԻ ՀԵՏ ԷԿՐԱՆԻ
 ՎՐԱ ԱՌԱՋԱՑՎԱԾ ԲԱՑՎԱԾՔԻ ԴԵՊՅՈՒՄ: ԿԻՐՈՂՈՒԹ ԴԻՖԵՐԱԿՑԻՈՆ
 ԻՆՏԵԳՐԱԼԸ ԷԼԵԿՏՐԱՄԱԳՆԻՍՏԱԿԱՆ ԱԼԻԵՆԵՐԻ ՀԱՄԱՐ: ՈՒՂՂՈՐԴ-
 ՎԱԾՈՒԹՅԱՆ ԴԻՎԵՐԱՄԻ ՀԱՍԿԱՑՈՒԹՅՈՒՆԸ

Այժմ անցնենք դիֆրակցիայի կիրխնոթի տեսութայան էլեկտրամագ-
 նիսական ալիքների համար, որը երբեմն էլ անվանում են կիրխնոթ-կոտլե-
 թի մեթոդ: Ելնենք նախորդ ենթաթածիներում ստացված /6.5/և/6.6/
 ինտեգրալ Բանաժներից: Այդ Բանաժների Ֆիզիկական Բովանդակութունը կա-
 րելի է ներկայացնել հետևյալ ձևով. կամայական P կետում ստեղծված
 դաշտի արժեքը պայմանավորված է այդ կետը պարփակող մակերևույթի վրա
 տրված $[\vec{n}, \vec{H}]$ էլեկտրական, $[\vec{n}, \vec{E}]$, մագնիսական հոսանքներով,
 և (\vec{n}, \vec{E}) էլեկտրական, (\vec{n}, \vec{H}) , մագնիսական լիցքերով, :
 Դիտարկենք այն դեպքը, երբ S -ը փակ մակերևույթ չէ, և նրա վրա
 արված է Բացվածք /սկ.10/.



սկ. 10

սկ.10-ում \vec{n} -ը S_2 մակերևույթի նորմալն է, \vec{n}_1 -ը՝ տված կետում
 մակերևույթը սահմանափակող ℓ կոնտուրի նորմալը և $[\vec{n}_1, \vec{n}] = \vec{c}$ ℓ
 կոնտուրին տանգենցիալ միավոր վեկտորը:
 Մենք դիտարկում ենք էլեկտրամագնիսական ալիքի դիֆրակցիան S_1
 Բացվածքի վրա: Կիրխնոթի եզրային պայմանները մենք կգրենք հետևյալ
 ձևով՝

$$\vec{E}_2 = \vec{H}_2 = 0, \quad \frac{\partial \vec{H}_2}{\partial \vec{n}} = \frac{\partial \vec{E}_2}{\partial \vec{n}} = 0 \quad S_2 \text{-ի վրա} \quad /7.1/$$

$$\vec{E} = \vec{E}_{\text{ընկեր}}, \quad \vec{H}_1 = \vec{H}_{\text{ընկեր}} \quad S_1 \text{-ի վրա}$$

/7.1/ եզրային պայմաններից հետևում է, որ ℓ կոնտուրի վրա \vec{E} և
 \vec{H} Ֆունկցիաները, ինչպես նաև նրանց նորմալ ածանցյալներն ունեն
 թռիչք: Այսպիսով, /6.5/ և /6.6/ Բանաժները ուղղակիորեն կիրառելի
 կենշանակի խախտել խնդրի կոռեկտութունը, քանի որ սրանք արտածելիս
 մենք ենթադրել էինք, որ \vec{E} և \vec{H} Ֆունկցիաներն անընդհատ են, և
 ունեն առնվազն մինչև երկրորդ կարգի անընդհատ ածանցյալներ: Այս հան-
 դամանքը, իրոք, Քերում է հակասության. ըստ Կիրխնոթի եզրային պայ-
 մանների, դաշտի արժեքը P կետում կլինի՝

$$\vec{E}(P) = -\frac{1}{4\pi} \int_{S_1} \{ i\kappa [\vec{n}, \vec{H}] \vec{y} + [[\vec{n}, \vec{E}]] \text{grad} \vec{y} + \text{grad} \vec{y} (\vec{n}, \vec{E}) \} dS \quad /7.2, \text{ա}/$$

$$\vec{H}(P) = \frac{1}{4\pi} \int_{S_1} \{ i\kappa [\vec{n}, \vec{E}] \vec{y} - [[\vec{n}, \vec{H}]] \text{grad} \vec{y} - \text{grad} \vec{y} (\vec{n}, \vec{H}) \} dS \quad /7.2, \text{բ}/$$

Այս ձևով գրված դաշտերը չեն Քավարարում $\text{div} \vec{E}(P) = 0$ և $\text{div} \vec{H}(P) = 0$
 հավասարումներին, այսինքն՝ P կետում էլեկտրամագնիսական դաշտը
 լայնական չէ: Այս հանգամանքը նշվել էր չորրորդ ենթաթածում,
 Կիրխնոթի տեսության քննադատությանը նվիրված հարցերը քննարկելիս:
 Անենք հետևյալ դատողութունները: Հայտնի է, որ իդեալական հա-
 դողիչ մակերևույթի վրա մագնիսական դաշտի տանգենցիալ Բաղադրիչների
 եզրային պայմանը հետևյալն է՝

$$\frac{c}{4\pi} [\vec{n}, (\vec{H}_2 - \vec{H}_1)] = \vec{j}, \quad /7.3/$$

որտեղ \vec{j} -ն էլեկտրական հոսանքի մակերևույթային խտությունն է:
 Ուսումնասիրենք \vec{j} -ի վարքը՝ ℓ կոնտուրին անվերջ մոտենալիս:
 \vec{H}_2 -ը ընկնող դաշտի, իսկ \vec{H}_1 -ը անդրադարձվող դաշտի մագնիսական
 Բաղադրիչների արժեքներն են S_2 մակերևույթի մոտ: Եթե S_2 -ի վրա
 $\vec{H}_2 = 0$, ապա՝

$$\vec{j} = -\frac{c}{4\pi} [\vec{n}, \vec{H}_1] \quad /7.4/$$

Օգտվենք անընդհատության հավասարումից՝

$$\operatorname{div} \vec{j} - i\omega p = 0$$

/7.5/

և

$$\int_V \operatorname{div} \vec{j} dV = i\omega \int_V p dV$$

/7.5,բ/

Անցնենք /7.5,բ/-ում հոսանքի խտությունից նրա մակերևույթային խտությանը և արտադրենք /7.5,բ/ մի ձևով, որտեղ div օգերատորն ունի երկչափ իմաստ՝

$$\int_S \operatorname{div} \vec{j} dS = i\omega \int_L \sigma dl$$

/7.6/

որտեղ σ -ն լիցքերի զեմային խտությունն է L կոնտուրի վրա: Գրենք Գաուս-Օստրոգրադսկու Բանաձևը այս երկչափ դեպքի համար՝

$$\int_{S_1} \operatorname{div} \vec{j} dS = \oint_L \vec{j}_n d\vec{l} = i\omega \oint_L \sigma dl$$

/7.7/

և

$$\sigma = \frac{1}{i\omega} (\vec{n}_1 \vec{j})$$

/7.8/

/7.8/ և /7.4/ Բանաձևերի համադրումից վերջնականապես կունենանք՝

$$\sigma = \frac{-c}{4\pi i\omega} \vec{n}_1 [\vec{n}_1 \vec{H}_1] = \frac{-c}{4\pi i\omega} [\vec{n}_1 \vec{n}_1] \vec{H}_1 = \frac{-1}{4\pi i c} (\vec{e} \vec{H}_1)$$

/7.9/

/7.9/ -ով որոշվում է այն լիցքերի զեմային խտությունը, որոնք առաջանում են L կոնտուրին մոտենալիս \vec{j}_n մակերևույթային հոսանքների ընդհատումից/շնորհիվ այն Բանի, որ S_2 մակերևույթի վրա կա Բացվածքի Հասկանալի է, որ այս լիցքերը կառաջացնեն լրացուցիչ դաշտեր, որոնք հաշվի չեն առնվել /7.2/ ինտեգրալ Բանաձևերն արտաձևելիս:

Վերադառնանք /6.4/ հավասարմանը, որն ստացվել էր Գրինի վեկտորական Բանաձևերից /ենթաթեմին վեցերորդը/: Բանի որ այստեղ S

մակերևույթը փակ էր, և նրանով սահմանափակված ծավալում լիցքեր չկային, այդ հավասարման ծախ մասը, որը չէր պարունակում հոսանքներ և լիցքեր, ենթադրվել էր հավասար զրոյի: Այժմ ելնելով /7.9/ և /6.4/ Բանաձևերից, վերականգնենք այն դաշտը, որ ստեղծում են L կոնտուրի վրա կուտակված լիցքերը՝

$$+4\pi \int_V p \operatorname{grad} \varphi dV \rightarrow -4\pi \frac{c}{4\pi i\omega} \int_V (\vec{e} \vec{H}) \operatorname{grad} \varphi dV = -\frac{1}{i c} \int_V \operatorname{grad} \varphi (\vec{H} d\vec{l})$$

/7.10/

/7.10/ ինտեգրալը պետք է հաշվի առնել /6.4/ հավասարումից /7.2/ Բանաձևերն ստանալիս: Այսպիսով, եթե հաշվի առնենք, որ P կետում ստեղծված $\vec{E}(P)$ դաշտը, ի թիվս այլոց, պայմանավորված է նաև L կոնտուրի վրա կուտակված էլեկտրական լիցքերով, հավասար է /7.2/ Բանաձևերը ներկայացնել հետևյալ կերպ՝

$$E(P) = -\frac{1}{4\pi i c} \oint_L \operatorname{grad} \varphi (\vec{H} d\vec{l}) - \frac{1}{4\pi} \int_{S_1} \{ i c y [\vec{n} \vec{H}] + [[\vec{n} \vec{E}] \operatorname{grad} \varphi] + (\vec{n} \vec{E}) \operatorname{grad} \varphi \} dS$$

/7.11,ա/

և, համապատասխանաբար՝

$$H(P) = \frac{1}{4\pi i c} \oint_L \operatorname{grad} \varphi (\vec{E} d\vec{l}) + \frac{1}{4\pi} \int_{S_1} \{ i c y [\vec{n} \vec{E}] - [[\vec{n} \vec{H}] \operatorname{grad} \varphi] - (\vec{n} \vec{H}) \operatorname{grad} \varphi \} dS$$

/7.11,բ/

Ապացուցենք, որ /7.11,ա/-ով որոշված $E(P)$ դաշտը Բավարարում է $\operatorname{div}_P \vec{E}(P) = 0$ հավասարմանը: Դիտարենցույժ ինտեգրալի նշանի տակ կատարվում է ըստ P կետի կոորդինատների, ընդ որում՝ $\operatorname{grad}_P \varphi = -\operatorname{grad} \varphi$

$$4\pi \operatorname{div}_P \vec{E}(P) = \frac{1}{i c} \oint_L \Delta \varphi (\vec{H} d\vec{l}) - \int_{S_1} \{ i c [\vec{n} \vec{H}] \vec{\nabla} \varphi + \vec{\nabla} [[\vec{n} \vec{E}] \operatorname{grad} \varphi] - \Delta \varphi (\vec{n} \vec{E}) \} dS$$

Բայց՝

$$\Delta \varphi = -\kappa^2 \varphi$$

և

$$[\vec{n} \vec{H}] \vec{\nabla} \varphi = -\vec{n} [\vec{\nabla} \varphi \vec{H}] = -\vec{n} \operatorname{rot} (\varphi \vec{H}) + \vec{n} \varphi \operatorname{rot} \vec{H}$$

Հեռակաթար՝

$$\int_{S_1} ik[\vec{n}\vec{H}] \vec{\nabla} \psi dS = -ik \int_{S_1} \text{rot}(\psi \vec{H})(\vec{n} dS) + ik \int_{S_1} \psi \text{rot} \vec{H}(\vec{n} dS) =$$

$$= -ik \oint_{\partial S_1} \psi (\vec{H} d\vec{\ell}) - (ik)^2 \int_{S_1} \psi (\vec{n} \vec{E}) dS$$

Բացի այդ՝

$$\vec{\nabla} [[\vec{n}\vec{E}]] \vec{\nabla} \psi = 0$$

եվ, ի վերջո՝

$$4\pi \text{div} \vec{E}(P) = \frac{\kappa^2}{\epsilon} \oint_{\partial S_1} \psi (\vec{H} d\vec{\ell}) + ik \oint_{\partial S_1} \psi (\vec{H} d\vec{\ell}) + \kappa^2 \int_{S_1} \psi (\vec{n} \vec{E}) dS - \kappa^2 \int_{S_1} \psi (\vec{n} \vec{E}) dS = 0$$

Այսպիսով, կոնտուրի վրա կուտակված զծային լիցքերի խտությունը ապահովում է այնպիսի լրացուցիչ դաշտի ստեղծում՝

$$-\frac{1}{4\pi ik} \oint \vec{\nabla} \psi (\vec{H} d\vec{\ell}),$$

որի շնորհիվ $\vec{E}(P)$ դաշտը P կետում լինում է լայնական և Բավարում է Մաքսվելի $\text{div} \vec{E} = 0$ հավասարմանը: Համաձայնորեն կարելի է ցույց տալ, որ $\vec{H}(P)$ դաշտը՝ զրկած /7.11, Բ/ տեսքով, Բավարարում է $\text{div} \vec{H}(P) = 0$ հավասարմանը: Այսպիսով, $\vec{E}(P)$ և $\vec{H}(P)$ դաշտերն իրոք լայնական են: Կարելի է ցույց տալ նաև, որ հիշյալ դաշտերը Բավարարում են Մաքսվելի մյուս հավասարումներին ևս՝

$$\text{rot} \vec{H}(P) = -ik \vec{E}(P)$$

$$\text{rot} \vec{E}(P) = ik \vec{H}(P), \quad \kappa = \frac{\omega}{c}$$

Փորձենք օգտագործելով արդեն ստացածը, սահմանել անոնանների ժողովրդական դաշտը Բնորոշող մեկ հիմնական պարամետր:

Ընդունենք, որ $\psi = \frac{e^{ikz}}{z}$ / $z = 0$ -ն P կետն է/: Բացվածքից մեծ հեռավորությունների վրա ունենք՝

$$\text{grad} \psi = \vec{\nabla} \frac{e^{ikz}}{z} = (ik - \frac{1}{z}) \frac{e^{ikz}}{z} \vec{z}_0 \approx ik \vec{z}_0 \frac{e^{ikz}}{z}$$

/7.11/ Բանաձևերը կարողացվեն հետևյալ տեսքով՝

$$E(P) = -\frac{1}{4\pi} \oint \frac{e^{ikz}}{z} \vec{z}_0 (\vec{H} d\vec{\ell}) - \frac{1}{4\pi} \int_{S_1} \{ ik [[\vec{n}\vec{H}]] + [[\vec{n}\vec{E}]] \vec{z}_0 + \vec{z}_0 (\vec{n}\vec{E}) \} \frac{e^{ikz}}{z} dS$$

/7.12/

Անթադրենք S էկրանը իրենից ներկայացնում է հարթություն և համարնկնում է $z = 0$ հարթությանը: S_1 -ը իրենից ներկայացնում է այդ հարթության մեջ որևէ վերջավոր չափսերի: Բացվածք: Դիտման P կետը, որի կոորդինատներն են x, y, z , ընտրենք Բացվածքից՝ նրա չափսերի նկատմամբ շատ ավելի մեծ հեռավորության վրա՝

$$R = (x^2 + y^2 + z^2)^{1/2} \gg \alpha,$$

որտեղ α -ն Բացվածքը Բնորոշող չափսն է: Նշանակենք նշված Բացվածքի կետերի կոորդինատները՝ $x_s, y_s, z_s = 0$: Այդ դեպքում՝

$$r = [(x-x_s)^2 + (y-y_s)^2 + z^2]^{1/2} = R \left[1 - \frac{2(x x_s + y y_s)}{R^2} + \frac{x_s^2 + y_s^2}{R^2} \right]^{1/2}$$

Անցնենք Բևեռային կոորդինատների P կետի համար՝

$$x = R \sin \theta \cos \varphi$$

$$y = R \sin \theta \sin \varphi$$

$$z = R \cos \theta$$

Բանի որ $R \gg x_s, y_s$, վերլուծենք z -ի արտահայտությունը Թեյլորի շարքի՝ սահմանափակվելով քառակուսի անդամներով՝

$$z \approx R - x_s \sin \theta \cos \varphi - y_s \sin \theta \sin \varphi - \frac{x_s^2}{2R} (1 - \sin^2 \theta \cos^2 \varphi) -$$

$$- \frac{y_s^2}{2R} (1 - \sin^2 \theta \sin^2 \varphi) + \frac{x_s y_s}{R} \sin^2 \theta \sin \varphi \cos \varphi \approx R + \tilde{z} \left(\frac{x_s}{R}, \frac{y_s}{R}, \theta, \varphi \right)$$

/7.13/

Կարելի է ցույց տալ, որ դիֆրակցիայի փոքր անկյունների և դիտման կետի՝ Բացվածքից ունեցած Բավականին մեծ հեռավորությունների դեպքում /7.12/-ում կարելի է անտեսել առաջին և վերջին ինտեգրալների ներդրումները: Այս մոտավորությամբ $\vec{E}(P)$ դաշտը E_θ և E_z

Քաղաղրիչները կգրվեն հետևյալ տեսքով՝

$$E_{\theta} = \frac{i\kappa}{4\pi} \cdot \frac{e^{i\kappa R}}{R} \int_{S_1} \{ [\vec{H}\vec{n}]_{\theta} + [\vec{n}\vec{E}]_{\varphi} \} e^{i\kappa \tilde{z}} dS \quad /7.14, a/$$

$$E_{\varphi} = \frac{i\kappa}{4\pi} \cdot \frac{e^{i\kappa R}}{R} \int_{S_1} \{ [\vec{H}\vec{n}]_{\varphi} - [\vec{n}\vec{E}]_{\theta} \} e^{i\kappa \tilde{z}} dS \quad /7.14, b/$$

նույն ձևով՝ $\vec{H}(P)$ դաշտի H_{θ} , H_{φ} Քաղաղրիչների համար կըստանանք՝

$$H_{\theta} = \frac{i\kappa}{4\pi} \cdot \frac{e^{i\kappa R}}{R} \int_{S_1} \{ -[\vec{E}\vec{n}]_{\theta} + [\vec{n}\vec{H}]_{\varphi} \} e^{i\kappa \tilde{z}} dS, \quad /7.15, a/$$

$$H_{\varphi} = \frac{i\kappa}{4\pi} \cdot \frac{e^{i\kappa R}}{R} \int_{S_1} \{ [\vec{n}\vec{E}]_{\varphi} + [\vec{n}\vec{H}]_{\theta} \} e^{i\kappa \tilde{z}} dS \quad /7.15, b/$$

/7.14/ և /7.15/ արտահայտությունները կարելի է ներկայացնել հետևյալ ընդհանրացված տեսքով՝

$$E_{\theta} = \frac{i\kappa}{4\pi} \cdot \frac{e^{i\kappa R}}{R} F_1(\theta, \varphi, \tilde{z})$$

$$E_{\varphi} = \frac{i\kappa}{4\pi} \cdot \frac{e^{i\kappa R}}{R} F_2(\theta, \varphi, \tilde{z})$$

$$H_{\theta} = -E_{\varphi} \quad /7.16/$$

$$H_{\varphi} = E_{\theta}$$

Եթե /7.16/ -ում $R \rightarrow \infty$, ապա F_1 և F_2 Ֆունկցիաներն այլևս R -ից կախում չունեն, այլ կախված են միայն θ և φ անկյուններից: Երրորդ ենթաբաժնում ստացվել էր նման մի արտահայտության անվերջ երկչափ մեղքի դիֆրակցիոն դաշտի արտահայտության մեջ մտել էր

$$\frac{\sin(\kappa a \sin \theta)}{\kappa a \sin \theta}$$

անկյունային ֆունկցիան: Այն անվանել էինք ուղղորդվածության դիագրամ:

$F_1(\theta, \varphi)$ և $F_2(\theta, \varphi)$ Ֆունկցիաները ցանկացած վերջավոր Քացվածքի /անտենայի/ ճառագայթման դաշտի անկյունային Քաշխվածության Բնութագրերն են և անվանվում են ուղղորդվածության դիագրամներ: Ընդհանուր դեպքում սրանք կոմպլեքս ֆունկցիաներ են:

Հաշվենք /7.16/ դաշտերի Պոյնտինգի վեկտորի հոսքը կիսանվերջ զնդային մակերևույթի միջով՝

$$\frac{dS}{d\Omega} = R^2 \frac{c}{8\pi} \operatorname{Re} [\vec{E}\vec{H}^*]_R = \frac{c}{32\pi\lambda^2} (|F_1|^2 + |F_2|^2) = P(\theta, \varphi)$$

$P(\theta, \varphi)$ -ն նույնպես ունի ուղղորդվածության դիագրամի իմաստ, միայն թե այն նկարագրում է ճառագայթման ինտենսիվության Քաշխվածությունն ըստ անկյունների և իրական մեծություն է:

ԿՐԱԿԱՆՈՒԹՅՈՒՆ

I. Дж.Стреттон. Теория электромагнетизма. М., ГИИТЛ, 1948.

VIII

ՓՈՒՍԴԱՐՉՈՒԹՅԱՆ ՄԿՋՐՈՒՆՔԸ /ԼՈՐԵՆՑԻ ԼԵՄ/ : ԱՆՏԵՆՆԱՑԻ
 ԺԱՌԱԳԱՑՓԵՄԱՆ ԴԱՇՏԻ ՆԵՐԿԱՑԱՑՈՒՄԸ ԼՈՐԵՆՑԻ ԼԵՄԻ ԵՎ
 ԳՐԻՆԻ ՁՈՒՆԿՑԻԱՑԻ ՄԻՋՈՑՈՎ

Նախորդ ենթաբաժնում / ենթաբաժին յոթերորդ/ ստացվեցին անտենայի ճառագայթման դաշտի արտադրություններ և մտցվեց ուղղորդվածության դիագրամի հսկայությունը /տես 7.16 Բանաձևերը/: Սա անտենայի դաշտը Բնորոշող, թերևս ամենահիմնական պարամետրն է, որի օգնությամբ կարելի է դառնել անտենայի հատկությունների մասին: Դժվար է տեսնել, որ /7.16/ Բանաձևերում մտնում են ինչպես էլեկտրական, այնպես էլ մագնիսական դաշտերի տանգենցիալ Բաղադրիչները /էլեկտրական հոսանք $\sim [\vec{n} \vec{H}]$ և մագնիսական հոսանք $\sim [\vec{n} \vec{E}]$ /: Սուտորեն ասած՝ տվյալ դեպքում զոյություն ունի ավելորդ ինժեռմացիա. իրոք, խնդրի միաժամբ լուծման համար Բավարար կլիներ ունենալ միայն էլեկտրական, կամ էլ միայն մագնիսական դաշտի տանգենցիալ Բաղադրիչների արժեքները անտենայի մակերևույթին /Բացվածքում/: Սյս Բանը կարելի է ցուցադրել փոխադարձության սկզբունքի /Լորենցի լեմ/ օգնությամբ, որը տվյալ դեպքում կատարում է Գրինի վեկտորական թեորեմի դեր: Անցնենք այս սկզբունքի քննարկմանը և ապացույցին:

Գրենք Մաքսվելի հավասարումները մոնոքրոմատիկ ալիքի համար՝

$$\text{rot } \vec{E} = i\kappa \vec{B}$$

$$\text{rot } \vec{H} = -i\kappa \vec{D} + \frac{4\pi}{c} \vec{j}, \quad \kappa = \frac{\omega}{c}$$

/8.1/

Դիտարկենք ցանկացած տիպի զծային միջավայր: Ընդհանուր դեպքում այն կարող է լինել անհամասեռ և ոչ իզոտրոպ, իսկ այդպիսի միջավայրը կնկարագրվի թենզորական դիէլեկտրական և մագնիսական թափանցելիությունների՝ ϵ_{ik} և μ_{ik} թենզորներով՝

$$D_i = \epsilon_{ik} E_k, \quad B_i = \mu_{ik} H_k$$

/8.2/

Դիցուք, այդպիսի միջավայրում գործում են երկու աղբյուրներ՝ \vec{j}_1 -ը և \vec{j}_2 -ը: Ստեղծենք կապ այս երկու աղբյուրների առաջացած դաշտերի միջև՝

$$\text{rot } \vec{E}_1 = i\kappa \vec{B}_1, \quad \text{rot } \vec{E}_2 = i\kappa \vec{B}_2$$

$$\text{rot } \vec{H}_1 = -i\kappa \vec{D}_1 + \frac{4\pi}{c} \vec{j}_1, \quad \text{rot } \vec{H}_2 = -i\kappa \vec{D}_2 + \frac{4\pi}{c} \vec{j}_2 \quad /8.3, \text{ ա և Բ/}$$

Բազմապատկենք /8.3, ա/-ն համապատասխանորեն \vec{H}_2 -ով և \vec{E}_2 -ով, իսկ /8.3, Բ/-ն՝ $-\vec{H}_1$ -ով և $-\vec{E}_1$ -ով, այնուհետև ստացված արտադրյալներն անդամ առ անդամ գումարենք: Կստանանք՝

$$\vec{H}_2 \text{ rot } \vec{E}_1 - \vec{H}_1 \text{ rot } \vec{E}_2 + \vec{E}_2 \text{ rot } \vec{H}_1 - \vec{E}_1 \text{ rot } \vec{H}_2 =$$

$$= i\kappa (\vec{B}_1 \vec{H}_2 - \vec{B}_2 \vec{H}_1 - \vec{D}_1 \vec{E}_2 + \vec{D}_2 \vec{E}_1) + \frac{4\pi}{c} (\vec{j}_1 \vec{E}_2 - \vec{j}_2 \vec{E}_1)$$

/8.4/

Ընտրված միջավայրերում՝

$$\vec{H}_2 \vec{B}_1 = H_{2i} B_{1i} = H_{2i} \mu_{ik} H_{1k} = \mu_{2k} H_{1k} = \vec{B}_2 \vec{H}_1$$

$$\vec{E}_1 \vec{D}_2 = E_{1i} D_{2i} = E_{1i} \epsilon_{ik} E_{2k} = \epsilon_{1k} E_{2k} = \vec{D}_1 \vec{E}_2$$

Եվ, քանի որ՝

$$\vec{H} \text{ rot } \vec{E} - \vec{E} \text{ rot } \vec{H} = \text{div } [\vec{E} \vec{H}]$$

/8.4/-ը Բերվում է հետևյալ տեսքի՝

$$\text{div } \{ [\vec{E}_1 \vec{H}_2] - [\vec{E}_2 \vec{H}_1] \} = \frac{4\pi}{c} (\vec{j}_1 \vec{E}_2 - \vec{j}_2 \vec{E}_1)$$

/8.5/

Ինտեգրենք /8.5/ հավասարման երկու մասերն ըստ ν ծավալի, որն ընդգրկում է \vec{j}_1 և \vec{j}_2 աղբյուրները: Մթն օգտվենք նաև Գաուս-Օստրոգրադսկու թեորեմից, ապա /8.5/-ից կարելի է ստանալ՝

$$\int_V \text{div} \{ [\vec{E}_1 \vec{H}_2] - [\vec{E}_2 \vec{H}_1] \} d\nu = \oint_S ([\vec{E}_1 \vec{H}_2] - [\vec{E}_2 \vec{H}_1]) d\vec{S} = \frac{4\pi}{c} \int_V (\vec{j}_1 \vec{E}_2 - \vec{j}_2 \vec{E}_1) d\nu$$

Կարելի է ν ծավալն անվերջ մեծացնել: Այդ դեպքում մակերևու-
թային ինտեգրալը կձգտի զրոյի և, վերջնականապես, կունենանք՝

$$\int_{V_1} \vec{j}_1 \vec{E}_2 dV = \int_{V_2} \vec{j}_2 \vec{E}_1 dV, \quad /8.6/$$

որտեղ V_1 -ը և V_2 -ը այն ծավալներն են, որտեղ համապատասխան-
որեն $\vec{j}_1 \neq 0$ և $\vec{j}_2 \neq 0$: Ստացված /8.6/ բանաձևը
Լորենցի փոխադարձության սկզբունքի բովանդակությունն է: Այն Հյուլյան-
սի փոխադարձության սկզբունքի ընդհանրացումն է էլեկտրամագնիսական
դաշտերի համար և ասում է՝ եթե \vec{j}_1 աղբյուրը 2 կետում ստեղծում
է \vec{E}_1 դաշտը, ապա 2 կետում սեղադրված \vec{j}_2 աղբյուրը 1-ում
կստեղծի այնպիսի \vec{E}_2 դաշտ, որ բավարարվի /8.6/ հավասարու-
թյունն այլ աղբյուրների բացակայության դեպքում: Մասնավորապես, եթե
2 կետում սեղադրվի \vec{j}_1 աղբյուր, ապա այն 1 կետում կստեղծի $\vec{E}_2 = \vec{E}_1$
դաշտը:

Փորձենք օգտագործել այս սկզբունքը անտենայի ճառագայթման դաշտը
նկարագրելու համար: Եթադրենք V_1 ծավալում սեղադրված է անվերջ
փոքր չափսերի Հյուլյանսի աղբյուր: Հասկանալի է, որ \vec{E}_2 դաշտը
փոքր ծավալում կարելի է համարել հաստատուն և դուրս բերել ինտեգրման
նշանի տակից՝

$$\vec{E}_2 \int_{V_1} \vec{j}_1 dV = \int_{V_2} \vec{j}_2 \vec{E}_1 dV \quad /8.7/$$

Բայց՝

$$\int_{V_1} \vec{j}_1 dV = \frac{d}{dt} \int_{V_1} \vec{P} dV = \frac{d\vec{P}}{dt} = -ik\vec{P}, \quad k = \frac{\omega}{c}$$

Այսպիսով,

$$-ik\vec{P}\vec{E}_2 = \int_{V_2} \vec{j}_2 \vec{E}_1 dV$$

Ակնհայտ է, որ 2 կետում \vec{j}_1 կետային աղբյուրը կստեղծի $\vec{E}_1 = \vec{P}_0 \frac{e^{ikr}}{r}$
դաշտը: Հետևաբար՝

$$-ik\vec{P}\vec{E}_2 = \vec{P}_0 \int_{V_2} \vec{j}_2 \frac{e^{ikr}}{r} dV \quad /8.8/$$

Եթե ընտրենք $\vec{P} \parallel \vec{P}_0$, ապա /8.8/-ից կարող ենք գրել՝

$$\vec{E}(2) = \int \vec{j} \frac{e^{ikr}}{r} dV \quad /8.9/$$

Արդեն ակնհայտ դարձավ Գրինի Ֆունկցիայի /ովյալ դեպքում՝ եռաչափի /
Ֆիզիկական Բովանդակությունը. այն ոչ այլ ինչ է, եթե ոչ կետային լից-
քի դաշտ՝ $\frac{e^{ikr}}{r}$: Իսկ որ $\frac{e^{ikr}}{r}$ -ը Գրինի Ֆունկցիան է, հետե-
վում է հենց թեկուզ նրանից, որ՝

$$\Delta \vec{A} + k^2 \vec{A} = -\frac{4\pi}{c} \vec{j}$$

հավասարման լուծումը՝

$$\vec{A} = \int \vec{j} G dV, \quad /8.10/$$

որտեղ

$$G = \frac{e^{ikr}}{r},$$

իրոք, համընկնում է /8.9/ -ի հետ, եթե հաշվի առնենք, որ՝

$$\vec{E} = +ik\vec{A}$$

Այսպիսով, Լորենցի լեմբ օվյալ դեպքում կատարում է Գրինի վեկտո-
րական թեորեմի դերը: Ընդ որում, ինչպես հետևում է /8.9/-ից, դաշտի
արժեքը 2 կետում որոշելու համար բավական է իմանալ \vec{j}_2 էլեկտրական
հոսանքը: Եթե խոսքը հոսանքների մակերևույթային \vec{j} խտու-
թյան մասին է, ապա /8.9/ և /8.10/ արտահայտությունները կգրվեն երկչափ
ձևով՝

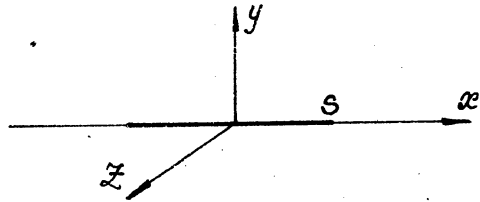
$$\vec{E} \sim \int_S \vec{j} \frac{e^{ikr}}{r} dS, \quad /8.11/$$
$$\vec{A} \sim \int_S \vec{j} \frac{e^{ikr}}{r} dS,$$

որտեղ \vec{j} մակերևույթային հոսանքները զրոյից տարբեր են միայն S
մակերևույթի վրա: /8.11/ տիպի բանաձևերը շատ ավելի մեծ գործնական
նշանակություն ունեն քան /7.16/-ը, հատկապես հայելային անտենանե-
րում: Բանն այն է, որ ըստ /8.11/-ի, անտենայի ճառագայթման դաշտի
որոշումը բերվում է մակերևույթի վրա մակածված \vec{j} մակերևույթային
հոսանքների որոշմանը, իսկ պարզագույն դեպքերում դա անելը համեմատա-

Քար հեշտ է, զոնե որոշակի մոտավորությամբ: Այսպես, ենթադրենք մենք փնտրում ենք կորուսյալ Քավական մեծ շառավիղ ունեցող հայելային անտենայի ճառագայթման դաշտը, որի ճառագայթիչը նրա մակերևույթի վրա մակածել է \vec{j} մակերևույթային խտության հոսանք: Այն հանգամանքը, որ հիշյալ մակերևույթի կորուսյալ շառավիղը շատ մեծ է, թելադրում է, որ նրա յուրաքանչյուր տիրույթ /Քավականին մեծ՝ ալիքի երկարության համեմատությամբ /կարելի է դիտել որպես լոկալ հարթ մակերևույթ: մակերկուցային հոսանքների խտությունը հաղորդիչի վրա եզրային պայմանների ելնելով գրվում է հետևյալ կերպ՝

$$\vec{j} = \frac{c}{4\pi} [\vec{n}, \vec{H}_2 - \vec{H}_1], \quad /8.12/$$

որտեղ \vec{n} -ը հայելու մակերևույթի սովյալ կետում կանգնեցրած ներքին նորմալն է, \vec{H}_2 -ը՝ ընկնող դաշտը և \vec{H}_1 -ը՝ անդրադարձված: Քանի որ ցանկացած կետի շրջակայքում հայելին կարելի է դիտել որպես S հարթություն, խնդիրը բնարկենք դեկարտյան կոորդինատային համակարգում / տես նկ.11 /



նկ.11

Եթե S -ը իդեալական հաղորդիչ է, ապա ընկնող և անդրադարձված դաշտերն ըստ մոդուլի հավասար են և սիմետրիայի օրինաչափություններից ելնելով կարելի է գրել՝

$$\begin{aligned} H_x &= H_{x2}(x, y, z) = -H_{x1}(x, -y, z), \\ H_y &= H_{y2}(x, y, z) = H_{y1}(x, -y, z), \\ H_z &= H_{z2}(x, y, z) = -H_{z1}(x, -y, z) \end{aligned} \quad /8.13/$$

Օգտվելով /8.13/-ից և նկ.11-ից հաշվենք /8.12/-ի արժեքը՝

$$\begin{aligned} \hat{j}_x &= \frac{c}{4\pi} [\vec{n}, \vec{H}_2 - \vec{H}_1]_x = \frac{c}{2\pi} H_z \\ \hat{j}_y &= 0 \\ \hat{j}_z &= \frac{c}{4\pi} [\vec{n}, \vec{H}_2 - \vec{H}_1]_z = -\frac{c}{2\pi} H_x \end{aligned} \quad /8.14, a/$$

կամ էլ՝

$$\vec{j} = \frac{c}{2\pi} [\vec{n}, \vec{H}] \quad /8.14/$$

/8.14, a/-ից և /8.14/-ից հետևում է, որ հոսանքի \vec{j} մակերևույթային խտությունը որոշվում է այդ հարթության մեջ վեկտորի տանգենցիալ Բաղադրիչի միջոցով: Հետևաբար՝

$$\vec{E} \sim \int_S [\vec{n}, \vec{H}] \frac{e^{ikr}}{r} dS \quad /8.15/$$

Ոչ էական հաստատունի ծշտությամբ /8.15/-ը նկարագրում է անտենայի ճառագայթման դաշտը, եթե հայտնի է \vec{H} վեկտորի / և միայն / տանգենցիալ Բաղադրիչը հայելու մակերևույթի վրա:

Նկարագրված մեթոդը կոչվում է ,,հոսանքային մեթոդ,, , ի տարբերություն նախորդ ենթաբաժնում դիտարկվածի, որն ավելի հավաստի էր անվանել ,,ապերտուրային մեթոդ,, : Մի դեպքում տրվում էին հոսանքները հայելու մակերևույթի վրա, մյուս դեպքում՝ դաշտի տանգենցիալ Բաղադրիչները նրա Քացվածքում: Այս երկու մեթոդների միջև կարելի է գտնել համապատասխանություն՝ ելնելով Բաթինսի սկզբունքից և դաշտի արժեքներից S մակերևույթի վրա:

ԳՐԱՆՈՒԹՅՈՒՆ

1. Л.Д.Ландау, Е.М.Лифшиц. Электродинамика сплошных сред. М., ГИИТЛ, 1957.
2. М.Ворн, Э.Вольф. Основы оптики. М.,Наука, 1970

ԱՆՏԵՆԱՅԻ ԴԱՏԵՑ ԲՆՈՒԹԱԳՐՈՂ ՀԻՄՆԱԿԱՆ ՊԱՐԱՄԵՏՐԵՐԸ, ՈՒՂ-
 ԴՈՐԴԱՅՈՒԹՅԱՆ ԳԻՍԳՐԱՄ ԵՎ ԲԵԿՏՈՒՑՈՒՄ, ՈՒՂՈՐԴԱԿ ԳՈՐ -
 ԾՈՂՈՒԹՅԱՆ ԳՈՐԾԱԿԻՑ /ՈՒԳԳ/, ՈՒԺԵՂԱՅՄԱՆ ԳՈՐԾԱԿԻՑ/ՈՒԿ /,
 ԳՈՐԾՈՂ ՄԱԿԵՐԵՍ, ՓՈՒԼԱՑԻՆ ԿԵՆՏՐՈՆ

Ուղղորդվածության դիագրամ և Բևեռացում: Անտենայի ճառագայթման դաշ-
 ան ուղղորդվածության դիագրամը /ուղ/ այդ դաշտը Բնութագրող կարևորա-
 գույն պարամետրն է: Էլեկտրամագնիսական ալիքների համար այն ներկայաց-
 վում է երկու կոմպլեքս Ֆունկցիաների մեով, օրինակ, $\vec{F}(\theta, \varphi)$ վեկտորա-
 կան Ֆունկցիայի F_θ և F_φ Բաղադրիչներով՝

$$\vec{F}(\theta, \varphi) = \vec{y}_0 F_\varphi(\theta, \varphi) + \vec{\theta}_0 F_\theta(\theta, \varphi),$$

/9.1/

որտեղ \vec{y}_0 -ն և $\vec{\theta}_0$ -ն դիտման ուղղության միավոր վեկտորներն են:
 Ընդհանրապես ասած, ուղ-ը Բնութագրում է ճառագայթված գնդային ալիքի
 անկյունային կախվածությունը: Եթե F_φ և F_θ Ֆունկցիաների փուլերը
 φ -ի և θ -ի նույն արժեքների համար տարբեր են, ապա
 ավյալ ուղղությամբ անտենայի դաշտի Բևեռացումը էլիպսային է: Եթե փու-
 լերը հավասար են՝ այն գծային է, ըստ որում, դաշտի Բևեռացման անկյունը
 որոշվում է $|F_\varphi|$ և $|F_\theta|$ մեծություններով: Եվ, վերջապես, երբ
 $|F_\varphi| = |F_\theta|$, իսկ նրանց միջև փուլերի տարբերությունը հավասար է
 $\frac{\pi}{2}$ -ի, մենք գործ ունենք ավյալ ուղղությամբ դաշտի շրջանային
 Բևեռացման հետ: Հարկ է նշել, որ դաշտի Բևեռացման փրկիկական հասկա-
 ցությունը ամենայն իսպուռությամբ տրվում է հարթ ալիքի համար: Անտենայից
 մեծ հեռավորությունների վրա ստեղծված գնդային ալիքային ծակառի ոչ
 մեծ հատվածը կարելի է նույնացնել նրան շոշափող հարթության հետ և,
 հետևաբար, այդ հարթության մեջ որոշել Ստոքսի Բոլոր պարամետրերը,
 ասել է՝ ավյալ ուղղությամբ դաշտի Բևեռացման էլիպսը, նրա դիրքը և
 այլն: Ասվածից հետևում է, որ կախված θ և φ անկյուններից, դաշտի
 Բևեռացումը կարող է լինել ամենատարբեր՝ էլիպսային, շրջանային և գծա-
 յին: Օրինակ, $\varphi = 0$ և $\theta = 0$ ուղղությամբ գծային Բևեռացված ալի-
 քը $\varphi \neq 0$ և $\theta \neq 0$ ուղղություններով կարող է դառնալ շրջանային,
 էլիպսային, ըստ որում՝ փոփոխվում է նաև էլիպսի դիրքը: Հայելային ան-

տենաների դեպքում այս հանգամանքը Բացատրվում է նրա վրա մակածված
 հոսանքների մեծությունից և կոր մակերևույթի վրա նրանց տեղաբաշխու-
 մից:

Ուղ-ն Բնորոշում է անտենայի աշխատանքը երկու տարբեր ուժիմնե-
 րում՝ հաղորդման և ընդունման: Սա հետևում է փոխադարձության սկզբուն-
 քից: Սակայն այս նույն Ֆունկցիան տարբեր ուժիմներում ունի տարբեր
 ֆիզիկական Բովանդակություն. հաղորդման դեպքում այն նկարագրում է
 գնդային ալիքի անկյունային կախվածությունը, ընդունման դեպքում՝ ըն-
 դունման տրակտում ամպլիտուդային կախվածությունը՝ անտենայի վրա ընկնող
 հարթ ալիքի անկման անկյունից: Այս հանգամանքը կարևոր է, քանի որ
 ուղ-ի չափման մեթոդը կախված է այն Բանից, թե ինչ ֆիզիկական իմաստ
 է՝ վերագրվում նրան: Ուղ-ն սովորաբար նորմալիզացվում են, այսինքն՝ նրա
 մաքսիմալ արժեքին վերագրում են որոշակի հաստատուն, սովորաբար՝ մեկ:
 Սակայն, հատկապես սուր անկյան տակ ճառագայթող անտենաները /մեծ
 անտենաները /, գլխավորից տարբեր ուղղություններով ճառագայթում են
 խիստ փոքր, իսկ միևնույնիցում այդ ճառագայթման ինտենսիվությունը
 կարող է լինել միլիոնավոր և տասնյակ միլիոնավոր անգամ փոքր: Նպատա-
 կահարմար է նման ճառագայթման Բաշխվածության համար ընտրել
 համապատասխան մասշտաբ: Սովորաբար ընտրում են տասնորդական լոգարիթմա-
 կան մասշտաբը: Այս դեպքում մաքսիմալ ճառագայթմանը կհամապատասխանի
 զրո, մնացած արժեքները, նայած այն Բանին, չափվում է դաշտի լարվա-
 ծությունը, թե ինտենսիվությունը, Բազմապատկվում են 20-ով կամ 10-ով:
 Ստացված մեծություններն անվանում են դեցիբելներ (դԲ):
 Օրինակ, 60 դԲ նշանակում է 10^6 անգամ ըստ ինտենսիվության և 10^3 ան-
 գամ ըստ լարվածության ավելի թույլ, քան գլխավոր ուղղությամբ, որին հա-
 մապատասխանում է զրո դԲ: Դեցիբելների ընտրությունը հարմար է նաև
 այն առումով, որ միշտ ստացվում է նույն արժեքը, անկախ այն Բանից՝
 կատարվում է լարվածության, թե ինտենսիվության չափում: Այսպիսով, գո-
 յություն ունեն ուղ-ի երկու հասկացություններ, որոնց մասին ասվել էր
 նախորդ ենթաբաժնում /տես, ենթաբաժին յոթերորդ/, այն է՝
 ուղ ըստ լարվածության և ուղ ըստ ինտենսիվության: Դեցիբելային միավոր-
 ներում սրանք համընկնում են: Եթե մեզ հետաքրքրում է միայն ամպլիտու-
 դային Բաշխվածությունը, կարելի է սահմանափակվել միայն ինտենսիվու-
 թյան չափումներով: Այս դեպքում կորչում է ինտեղմացիան փուլային Բաշխ-
 վածության վերաբերյալ: Որոշ դեպքերում անհրաժեշտ է լինում չափել
 F կոմպլեքս Ֆունկցիան լրիվ, այսինքն և՛ ամպլիտուդը, և՛ փուլը

գնդային ճակատի յուրաքանչյուր կետում:

Նույնիսկ միայն ամպլիտուդների չափումը ալիքի գնդային ճակատի Քոլոր կետերում խիստ աշխատասար է և միշտ չէ, որ պետք է այն անել: Սովորաբար Բավարարվում են F Ֆունկցիայի երկու փոխադրահայաց հատույթների չափումով, եթե զծային Բևեռացված-ճառագայթման ուղղու- թյունը համապատասխանում է ուղի-ի մաքսիմումին, ապա չափումը կատարում են $\varphi = 0$ /կամ $\varphi = \pi$ / և $\varphi = \pi/2$ /կամ $\varphi = 3/2 \pi$ /հարթություն- ների մեջ: Եթե որպես $\varphi = 0$ հարթություն ընտրվում է այն հարթու- թյունը, որը պարունակում է \vec{E} վեկտորը, ապա այն անվանվում է E հար- թություն: Այդ դեպքում $\varphi = \pi/2$ հարթությունը H հարթությունն է: Ստացված զծային զրափիկները անվանում են ուղ E հարթության և ուղ H հարթության մեջ. սրանք նկարագրում են դաշտի կախումը θ անկյունից այդ հարթություններում: Եթե ապրիորի հայտնի է, որ անտենա- յի ճառագայթումն ունի քվադրատանցային սիմետրիկ Բնույթ, նման չափում- ները գործնականորեն միանգամայն Բավարար են:

Ուղղորդված գործողության գործակից և գործող մակերես /ուզզ և S_g / մակերեսի օգտագործման գործակից/ մոզ/:

Ըստ երևույթին, եթե անտենան աշխատեր միայնակ, ապա ուղ-ն կլի- ներ նրա հիմնական Բնույթագրող հատկանիշը: Բայց ամենող հարգն էլ այն է, որ երբ մի անտենա ճառագայթում է, անհրաժեշտ է նաև մեկ այլ անտենա, որն ընդունի այդ ճառագայթումը: Այդպիսի ընդունիչ անտենայի առկայու- թյունը անհրաժեշտաբար Բերում է մի շարք կարևոր պարամետրերի մեակերպ- ման:

Դիցուք՝ A անտենան ճառագայթում է: B անտենան, որը գտնվում է A -ից Բավական մեծ z հեռավորության վրա և ունի երկրաչափա- կան մոտավորապես նույն չափսերը /ալիքային կամ Ֆրաունհոֆերի տիրույթ/ այնպես, որ նրա տարածքում A -ի դաշտը կարելի է համարել քվադր- հարթ, ընդունում է այդ ճառագայթումը: B անտենան Բնորոշվում է S_B ընդունող մակերեսով: Հայտնի է /տես՝ ենթաճառագայթի չորրորդ/, եթե S_B մակերեսի զծային չափսերը շատ մեծ են ալիքի երկարությունից / $S_B \gg \lambda^2$ /, ապա կարելի է հաշվել Պոյնտինգի վեկտորի հոսքը այդ մակերևույթի միջով, իսկ ընդունված հզորությունը կլինի՝

$$P_{ընդ} = \frac{c}{4\pi} E^2 S_B \quad /9.2/$$

/9.2/-ում E -ն այն շարվածությունն է, որն ստեղծել է A անտենան շատ մեծ z հեռավորության վրա: Մյուս կողմից /տես՝ ենթաճառագայթի- ները կորորդ, չորրորդ, յոթերորդ / A անտենայի ճառագայթած էներ- յիայի հոսքը z շառավղով գնդային մակերևույթի միջով կլինի՝

$$P_{\text{հաշ}} = \frac{c}{4\pi} E^2 \iint |F(\theta, \varphi)|^2 z^2 d\Omega \quad /9.3/$$

Հետևաբար՝

$$E^2 = \frac{4\pi}{c} \frac{P_{\text{հաշ}}}{z^2 \iint |F(\theta, \varphi)|^2 d\Omega}$$

և

$$P_{ընդ} = \frac{1}{4\pi z^2} \frac{S_B}{\frac{1}{4\pi} \iint |F(\theta, \varphi)|^2 d\Omega} \cdot P_{\text{հաշ}} \quad /9.4/$$

/9.4/-ում S_B -ն ինչ-որ գործող մակերես է, որի հետ արդյունա- վետ փոխազդում է ճառագայթման դաշտը, հենց այդպես էլ անվանվում է B ընդունող անտենայի գործող մակերես: Ամենևին էլ պարտադիր- չէ, որ այն հավասար լինի անտենայի Բազմաբեր երկրաչափական մասին: Ավե- լին, այն կարող է կազմել նրա, Լավագուն դեպքում, նշանակալից մասը: Այդ մասը Բնորոշող η_0 գործակիցը անվանում են մակերեսի օգտագործ- ման գործակից /մոզ/ և $S_g = \eta_0 S_{ընդ}$: Մյուս մեծությունը, որը մտնում է /9.4/ հավասարման մեջ, ի դեպ, հավասար է անվանել ռադիոհաղորդման հավասարում.

$$\frac{4\pi}{\iint |F(\theta, \varphi)|^2 d\Omega} = G_0 \quad /9.5/$$

Այսպիսով, ռադիոհաղորդման /9.4/ հավասարման մեջ, Բացի անտենաների միջև z հեռավորությունից, մտնում են երկու մեծու- թյուններ՝ S_g , որը Բնորոշում է միայն ընդունող B անտենան և G_0 , որը Բնորոշում է միայն հաղորդիչ անտենան: Եթե արտաբերք /9.4/-ը հետևյալ տեսքով՝

$$\frac{P_{ընդ}}{P_{\text{հաշ}}} = \frac{1}{4\pi z^2} G_0 S_g \quad /9.6/$$

ապա՝

$$G_0 = \frac{4\pi r^2}{S_q} \cdot \frac{P_{\text{ընդ}}}{P_{\text{ֆուն}}}$$

/9.7/

G_0 մեծությունը կոչվում է ուղղորդված զործողության գործակից՝ ուլզգ : եթե $G_0 = 1$, $P_{\text{ընդ}}/P_{\text{ֆուն}} = S_q/4\pi r^2$, այսինքն՝ անտենայի ընդունած հզորությունը հավասար է ընդունիչ անտենայի զործող մակերեսին և միավոր մակերեսով ճառագայթված հզորության /ինտենսիվության/ $P_{\text{ֆուն}}/4\pi r^2$ -ի արտադրյալին: նման հաղորդիչ անտենան կկոչվի Բացարձակ չուղղորդված կամ իզոտրոպ անտենա, որը 4π մարմնային անկյան մեջ թուր ուղղություններով ճառագայթում է համահավասար : Այսպիսով, G_0 մեծությունն արտահայտում է տվյալ անտենայի ուղղորդվածության աստիճանը իզոտրոպ անտենայի նկատմամբ:

/9.2/ -/9.7/ հավասարումները գրված են այն դեպքի համար, երբ $E = E_{\text{max}}$, այսինքն՝ երբ S_q մակերեսը ,,լուսավորվում է,, ճառագայթող անտենայի մաքսիմումով: Ընդհանուր դեպքում, պետք է տեղադրել $E(\theta, \varphi) = E_{\text{max}} |F(\theta, \varphi)|$ և գրել /9.5/ -ը հետևյալ տեսքով՝

$$\frac{4\pi |F(\theta, \varphi)|^2}{\iint |F(\theta, \varphi)|^2 d\Omega} = G(\theta, \varphi)$$

/9.8/

Ավելի ծիշտ կլիներ $G(\theta, \varphi)$ մեծությունն անվանել ուլզգ θ, φ ուղղությունում, իսկ /9.5/-ը՝ Բացարձակ ուլզգ, կամ ուլզգ՝ գլխավոր ուղղությամբ / $|F(\theta, 0)| = 1$ /: Ասվածից հետևում է, որ ընդունիչ անտենան ավելի նպաստակա արժեք է Բնորոշել զործող մակերեսով, իսկ հաղորդիչ անտենան՝ ուլզգ-ով: Հասկանալի է, սակայն, որ ընդունող անտենան նույնպես ունի իր ուլզգ -ն, և անհրաժեշտ է միաժամանակ կապ ստեղծել այս երկու մեծությունների՝ զործող մակերեսի և ուլզգ-ի միջև:

Ըստ Լորենցի լեմմի /փոխադարձության սկզբունք/, եթե հաղորդիչ անտենան դարձնենք ընդունող և հակառակը, /9.4/ ուղիղ հաղորդման հավասարումը չի փոխվի, եթե նրա աջ մասի հայտարարում գրվի $\iint |F_1(\theta, \varphi)|^2 d\Omega$, որտեղ F_1 -ը ընդունիչ անտենայի ուլզգ-ն է, իսկ համարիչում՝ S_A , որն այժմ արդեն ճառագայթող անտենայի զործող մակերեսն է, ապա

$$P_{\text{ընդ}} = \frac{1}{4\pi r^2} \cdot \frac{4\pi S_A}{\iint |F(\theta, \varphi)|^2 d\Omega} \cdot P_{\text{ֆուն}} \quad /9.4, \text{ա}/$$

Այսպիսով, /9.4/ և /9.4, ա/ հավասարումները կարելի է ներկայացնել հետևյալ համակարգի ձևով՝

$$P_{\text{ընդ}} = \frac{1}{4\pi r^2} G_A S_B P_{\text{ֆուն}},$$

$$P_{\text{ընդ}} = \frac{1}{4\pi r^2} G_B S_A P_{\text{ֆուն}}$$

/9.9/

/9.9/-ից հետևում է՝

$$\frac{G_A}{G_B} = \frac{S_A}{S_B}$$

Այսպիսով, անտենայի ուլզգ-ի զործող մակերեսի մեծությունների միջև կա միաժամանակ կապ՝

$$G = d S_q,$$

/9.10/

և մեկը մյուսով արտահայտելու համար անհրաժեշտ է միայն իմանալ d համեմատականության գործակիցի մեծությունը:

Որոշենք այս համեմատականության գործակիցը, դիտարկելով էլեկտրական դիպոլը որպես փորձանմուշ անտենա, որի S_q -ն հնարավոր է հաշվարկել տեսականորեն այն հավասար է $\frac{3}{8\pi} \lambda^2$: Մյուս կողմից՝ հայտնի է նաև նրա ուլզգ-ն է $\sin^2 \theta$: Ըստ /9.8/-ի՝

$$G_0\left(\frac{\pi}{2}\right) = \frac{4\pi}{2\pi \int_0^\pi \sin^3 \theta d\theta} = \frac{3}{2}$$

/9.10/ հավասարումից հիմա կարելի է գրել՝

$$d = \frac{4\pi}{\lambda^2},$$

այսինքն՝

$$G = \frac{4\pi S_q}{\lambda^2}$$

/9.11/

ԱՆՏԵՆԱՅԻ ԴԱՇՏԸ ԲՆՈՐՈՇՈՂ ՀԻՄՆԱԿԱՆ ՊԱՐԱՄԵՏՐԵՐԸ /ՇԱՐՈՒՆԱ-
ԿՈՒՅՑՈՒՆ/. ՀԱՄԱՐԺԵՔ , ԱՂՄԱՑԻՆ, , ԶԵՐՄԱՍՏԻՃԱՆ, ,, ՍԵՎ
ՃԱՌԱԳԱՅՑՈՒՄ, ,, ԱՂՔՅՈՒՐԻ ՊԱՅԾԱՌՈՒԹՅԱՆ ԶԵՐՄԱՍՏԻՃԱՆ, ԱՆՏԵ-
ՆԱՑԻՆ ԶԵՐՄԱՍՏԻՃԱՆ, ԳՐԻՏՈՂ ՃԱՌԱԳԱՅՑ ԵՎ ՑՐՄԱՆ ԿՈՐՆԱԿԻՑ

Անտենային ջերմաստիճան: Եվ, այնուամենայնիվ, կան իրավիճակներ,

երբ անտենան, որպես չափող գործիք, աշխատում է միայնակ, առանց կողմնա-
կի անտենայի առկայության: Այդ դեպքում ճառագայթման աղբյուրի դեր
կատարում են ռադիոճառագայթման կողմնակի աղբյուրները: Որպես ամենա-
տարածված և կարևոր նշանակություն ունեցող օրինակ կարելի է բերել
ռադիոհեռուստաչափական անտենաները, որոնք կոչված են ընդունելու տի-
եզերքի խորքերից եկող ռադիոալիքները: Նման ալիքներ ճառագայթում են
նաև արևը, լուսինը /ջերմային ճառագայթում/, համարյա բոլոր մոլորակ-
ները /առավել կամ պակաս չափով՝ կախված ճառագայթման համախառն տի-
յունից/: Այս բոլոր ճառագայթումներն ունեն , աղմկային, , Բնույթ, այ-
սինքն՝ ոչ մոնոքրոմատիկ են և ունեն ճառագայթման համախառնային անընդ-
հատ սպեկտր, ինչպես նաև մեծամասամբ ապաբևեռացված են: Ռադիոտեխնիկա-
յում և ռադիոֆիզիկայում լայնորեն ընդունված է աղմկային ճառագայթման
ինտենսիվությունը /անկախ այն բանից ճառագայթման Բնույթը ջեր-
մային է, ինչպես, օրինակ, լուսնի և մոլորակների ճառագայթումը, թե
պայմանավորված է այլևայլ մեխանիզմներով, սինքրոտրոնային, միջուկա-
յին և այլն /արտահայտել, այսպես կոչված, համարժեք , աղմկային, , ջեր-
մաստիճանով: Ինչու՞ մի որևէ աղբյուր նրա հետ համաձայնեցված Բեռնվա-
ծությունը համախառնայինների $\Delta \omega$ շերտում հաղորդում է

$$P = \int_{\omega}^{\omega + \Delta \omega} P(\omega) d\omega = \overline{P(\omega)} \Delta \omega \quad /10.1/$$

հզորություն: $\overline{P(\omega)}$ -ն հզորության միջին /սպեկտրալ/ խտությունն
է համախառնայինների $\Delta \omega$ տիրույթում: Ըստ վերը ասվածի, պետք է ստեղ-
ծել կապ $\overline{P(\omega)}$ մեծության և մի որևէ մարմնի ջերմային ճառագայթման
ինտենսիվության միջև: Ըստ որում, այդ մարմինը տաքացված է մինչև մի
այնպիսի ջերմաստիճան, երբ նրա ջերմային ճառագայթման ինտենսիվությունը
հավասար է $\overline{P(\omega)} \Delta \omega$ -ի: Եթե որպես այդպիսի փորձանմուշ
ընտրենք Բացարձակ սև մարմինը, ապա կարող ենք օգտվել ,, սև ճառագայթ-
ման, , օրենքներից: Ինչպես հայտնի է, այս ճառագայթումն էլ նկարագրվի-

Ուժեղացման գործակից, օգտակար գործողություն գործակից: Ուժգ հասկա-
ցություն հետ սերտորեն կապված է անտենայի դաշտը Բնորոշող մեկ այլ պա-
րամետր՝ ուժեղացման գործակիցը: Բանը այն է, որ ցանկացած անտենա
ունի կորուստներ և տրակտից նրա ելքին հաղորդված էներգիան ամ-
տորոտին չի մերժվում ճառագայթման: Խոսքը օժտակար կորուստների մա-
տին է՝ պայմանավորված այն հանգամանքով, որ անտենան իդեալական հաղոր-
դիչ չէ և ունի վերջավոր հաղորդականություն: Հասկանալի է, որ տրակտի
և անտենայի վատ համաձայնեցվածությունը կԲերի այսպիսի կորուստների
մեծացման և ճառագայթվող /ընդունող/ հզորության նվազեցման: Եթե մրտց-
նենք η օգտակար գործողության գործակիցի /օգգ / հասկացությունը,
ապա ուժ- ի և ուժգ -ի միջև կառաջանա հետևյալ պարզ կապը՝

$$\tilde{G} = \eta G = \eta \cdot \frac{4\pi S_e}{\lambda^2} \quad /9.12/$$

Հասկանալի է, որ իրական չափումներում /9.3/ -/9.6/ ռադիոհավա-
սարումներում G -ի փոխարեն հավաստի է օգտվել \tilde{G} մեծությունից:
Փուլային կենտրոն: Գոյություն ունի անտենան և նրա դաշտը Բնո-
րոշող նաև մեկ այլ կարևոր պարամետր: Երբ երկու անտենաներ գտնվում են
միմյանցից շատ մեծ հեռավորության վրա, ապա այն հանգամանքը, թե z -ը
նրանց որ կետերի միջև եղած հեռավորությանն է համա-
պատասխանում կարևոր չէ, քանի որ այս դեպքում անտենան կարելի է դիտել
որպես կետային մարմին: Պարզ է, սակայն, որ ցանկացած իրական չափում
իրացվում է անտենաների միմյանցից վերջավոր հեռավորության վրա: Եթե
այս հեռավորությունը Բավականաչափ մեծ է, օրինակ, եթե $z \gg 2D^2/\lambda$
/տես հիմնաբաժին յոթերորդում անցումը Փրաունհոֆերյան տիրույթին/,
ապա նման վերջավոր հեռավորությունը նկատելի սխալների չի Բերի, Բայց
համենայն դեպս պետք է գնահատել հնարավոր սխալները: Կարելի է ցույց
տալ, որ հիշյալ կետերի որոշակի ընտրության դեպքում $P_{\text{նախ}}/P_{\text{սառ}}$ հա-
րաբերությունը կընդունի մաքսիմալ արժեք: Եթե այդպիսի որոշակի կետեր
ընտրված են, ապա հեռավորությունը այս կետերի միջև ընդունվում է որ-
պես երկու անտենաների միջև եղած z հեռավորություն, իսկ այս կե-
տերը կոչվում են սվայլ անտենաների փուլային կենտրոններ:

ԳՐԱԿԱՆՈՒԹՅՈՒՆ

1. Г.Марков, Д.Сазонов. Антенны. М., Энергия, 1975.
2. Дж.Слетер, Передача ультрокоротких радиоволн. М., Гостехиздат,

սական է և ունի հավասարակշռված Բոուլթ: Այդ հավասարակշռվածությունը պայմանավորված է Ֆոտոնների մոտազայթմամբ և կլանումով, ըստ որում՝ սրանց թիվը փոփոխական է և որոշվում է շերմային հավասարակշռվածության պայմանից: Տվյալ քվանտային միջավայրում այդ թիվը որոշվում է Պլանկի Բանաձևով՝

$$\bar{n} = \frac{1}{e^{\frac{\hbar\omega}{kT}} - 1} \quad /10.2/$$

Դիտարկենք α, β, c կողերով ուղղանկյուն պրիզմայով սահմանափակված տիրույթին համապատասխանող փուլային ծավալ՝ $\alpha\beta c d^3k = V d^3k$: Տվյալ փուլային ծավալում Ֆոտոնների թիվը կարող ենք որոշել հետևյալ պարզ դատողություններից:

$$dk_x = \frac{2\pi}{\alpha} dn_x, \quad dk_y = \frac{2\pi}{\beta} dn_y, \quad dk_z = \frac{2\pi}{c} dn_z$$

$$d^3k = \frac{(2\pi)^3}{\alpha\beta c} dn_x dn_y dn_z = \frac{(2\pi)^3}{V} dn$$

մյուս կողմից՝

$$d^3k = \frac{4\pi\omega^2}{c^3} d\omega = \frac{(2\pi)^3}{V} dn$$

և, եթե հաշվի առնենք երկու հնարավոր Բևեռացումները, ապա

$$dn_\omega = \frac{V\omega^2}{\pi^2 c^3} d\omega \quad /10.3/$$

Բազմապատկելով /10.3/-ը /10.2/-ով տվյալ փուլային ծավալում Ֆոտոնների թվի համար կստանանք՝

$$dN_\omega = \frac{V\omega^2}{\pi^2 c^3} \cdot \frac{d\omega}{e^{\frac{\hbar\omega}{kT}} - 1} \quad /10.4/$$

Բազմապատկենք /10.4/-ը Ֆոտոնի էներգիայով՝ $\hbar\omega$ -ով: Կստանանք՝

$$dE_\omega = \frac{V\hbar\omega^3}{\pi^2 c^3} \cdot \frac{d\omega}{e^{\frac{\hbar\omega}{kT}} - 1} \quad /10.5/$$

Դիտարկենք զործնականում /ոադիոմոտազայթման/ շատ ավելի կարևոր դեպքը, երբ $\hbar\omega \ll kT$: Այս դեպքում՝

$$dE_\omega = \frac{V\omega^2}{\pi^2 c^3} kT d\omega \quad /10.6/$$

Մտցնենք սև մոտազայթման սպեկտրալ խտության հասկացությունը՝ $e_o(\omega)$ -ն, Բերված մոտազայթող մարմնի միավոր ծավալի: Աև մոտազայթումն ունի իզոտրոպ Բոուլթ, հետևապես՝

$$e_o(\omega) = \frac{dE_\omega}{4\pi V d\omega} = \frac{\omega^2 kT}{4\pi^3 c^3} \quad /10.7/$$

Այս դեպքում մոտազայթման հզորությունը համախուժությունների $\Delta\omega$ և մարմնային անկյան $d\theta$ միջակայքում կլինի՝

$$c e_o(\omega) d\theta \cdot \Delta\omega = \frac{\omega^2 kT}{4\pi^3 c^2} d\theta \cdot \Delta\omega \quad /10.8/$$

կլանող մարմնի վրա θ անկման անկյան դեպքում /10.8/-ից կըստանանք՝

$$c e_o(\omega) \cos \theta d\theta \cdot \Delta\omega \quad /10.9/$$

Հզորությունը, որը կընդունվի S_q / r^2 անկյունային շափսեր ունեցող անտենայի կողմից, եթե հաշվի առնենք, որ սև մոտազայթումը լրիվ ապաբևեռացված է և միջինացնենք ըստ երկու Բևեռացումների, այն է՝ Բազմապատկենք $1/2$ -ով, հավասար կլինի՝

$$\overline{P}(\omega) = \frac{\kappa\omega^2}{8\pi^3 c^2} \int_{S_{աղբ}} T \cos \theta \cdot \frac{S_q}{r^2} dS_{աղբ}$$

Բայց $\cos \theta \cdot dS_{աղբ} / r^2 = d\Omega$ -ն մոտազայթող մարմնի՝ անտենայից երևացող մարմնային անկյան տարրն է: Մյուս կողմից՝

$$S_q = \frac{\lambda^2 G(\theta, \varphi)}{4\pi} = \lambda^2 \cdot \frac{|F(\theta, \varphi)|^2}{\iint |F(\theta, \varphi)|^2 d\Omega}$$

Հետևաբար՝

$$\overline{P(\omega)} = \frac{\kappa \omega^2 \lambda^2}{8\pi^3 c^2} \frac{\iint_{\Omega_{\omega, \varphi}} T |F(\theta, \varphi)|^2 d\Omega}{\iint_{4\pi} |F(\theta, \varphi)|^2 d\Omega}$$

/10.10/

կամ՝

$$\overline{P(\omega)} = \frac{\kappa}{2\pi} \frac{\iint_{\Omega_{\omega, \varphi}} T |F(\theta, \varphi)|^2 d\Omega}{\iint_{4\pi} |F(\theta, \varphi)|^2 d\Omega}$$

/10.10, ա/

/10.10/-ում գրված T շերմաստիճանը կանվանենք աղբյուրի պայծառության շերմաստիճան և նշանակենք T_{ω} -ով:

/10.10/-ից՝

$$T_{\omega} = \frac{2\pi \overline{P(\omega)}}{\kappa} = \frac{\iint_{\Omega_{\omega, \varphi}} T_{\omega} |F(\theta, \varphi)|^2 d\Omega}{\iint_{4\pi} |F(\theta, \varphi)|^2 d\Omega}$$

/10.11/

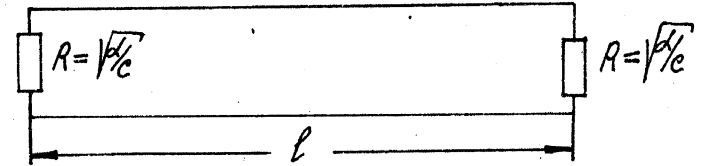
որտեղ T_{ω} -ն ուղիղճառագայթման աղբյուրի անտենային շերմաստիճանն է տրված անտենայի համար /որի ուղ-ն է $F(\theta, \varphi)$ -ն / : իրոք՝ կարելի է ցույց տալ, որ հզորության սպեկտրալ խտությունը, որն անջատվում է անտենային համաձայնեցված և միջև T_{ω} շերմաստիճանը տարացված Քեռնվածության վրա, հավասար է՝

$$\overline{P(\omega)} = \frac{\kappa T_{\omega}}{2\pi}$$

/10.12/

/10.12/ Բանաձևը ամենայն խտությունում ղուրս է Քերվում շերմային էլեկտրամագնիսական դաշտերի տեսությունում և, մասնավորապես, հետևում է նայվիսի Բանաձևից:

Իհարկենք երկհողորդալար զիծ, որն ունի $\sqrt{L/c}$ ալիքային դիմադրություն և որի ծայրերին միացած են ω հաճախության վրա համաձայնեցված $R = \sqrt{L/c}$ դիմադրություններ /տես, նկ. 12-ը/: Այս դիմադրություններն ունեն նույն T_{ω} շերմաստիճանը /հավասարակշռված վիճակ/:



նկ. 12

Ըներգիայի փոխանակությունը R դիմադրությունների միջև կկատարվի այդ դիմադրություններում զրգոված ալիքների միջոցով, որոնք, շնորհիվ զծի հետ ունեցած համաձայնեցվածության, չեն կրի անդրադարձումներ հաճախությունների քննարկվող ω , $\omega + \Delta\omega$ սիրույթում: Ժամանակի մի որևէ պահի կարծենք այս զծի ծայրերը իդեալական հաղորդիչներով, որպեսզի, բռնենք, տարբեր ω հաճախություններով հանդիպակաց վազող ալիքները: Կանգուն ալիքների այս համակարգը կարելի է դիտել որպես սեփական այնպիսի տատանումների վերադրում զծի տվյալ l հատվածի համար, որոնց հաճախություններն ընկած են ω , $\omega + d\omega$ միջակայքում: Այս հաճախությունները էքվիդիստանտ են և արտահայտվում են $\omega_m = \pi m v/l$ Բանաձևով, որտեղ $m = 0, \pm 1, \pm 2 \dots$ և v -ն ալիքի փուլային արագությունն է: Հարևան սեփական հաճախությունների միջև եղած միջակայքը $\Delta\omega_m = \pi v/l$: Այսպիսով, ω , $\omega + d\omega$ սիրույթում սեփական տատանումների թիվը կլինի՝

$$dN = \frac{d\omega}{\Delta\omega_m} = \frac{l d\omega}{\pi v}$$

/10.13/

Եթե օգտվենք Բոլցմանի հավասարեաշխվածության թեորեմից, ըստ որի ազատության յուրաքանչյուր աստիճանին ընկնում է κT_{ω} շերմային էներգիա, կստանանք՝

$$dE_{\omega} = \kappa T_{\omega} \cdot \frac{l}{\pi v} d\omega$$

/10.14/

Եթե միացած են $R = \sqrt{L/c}$ դիմադրությունները, անդրադարձումներ չկան և, հետևաբար, ստացված /10.14/ արժեքը հավասար է այն էներգիային, որն ուղարկվում է երկհողորդալար զծին երկու դիմադրությունների կողմից $\tau = l/v$ ժամանակահատվածում: Այստեղից հետևում է, որ յուրաքանչյուր $R = \sqrt{L/c}$ դիմադրություն, որն ունի T_{ω} շերմաստի-

Օճ, ժամանակի միավորի ընթացքում առաքում է էներգիայի մի քանակութիւն, որը հավասար է /10.14/-ի արժեքի կեսին, այն է՝

$$\frac{dE_{\omega}}{2\tau} = \frac{\kappa T_{\omega}}{2\pi} d\omega$$

Ստացված արտահայտութիւնը համընկնում է /10.12/ Բանաձևի հետ: Այսպիսով, մինչև T_{ω} ջերմաստիճան տաքացված մարմինը նրան համաձայնեցված էրևէ մի զործիքի /այդ թվում անտեսային/ հաղորդում է /10.12/ Բանաձևով որոշվող հզորութիւն:

Բուլցմանի հավասարաբ շխվածութեան օրենքը միշտ է միայն մոտավորապես երկար ալիքների տիրույթում և համապատասխանում է Ռեյլեյ-Ջինսի Բանաձևից ստացված /տես. /10.6/-ը / արտահայտութեանը: Ավելի միշտ արտահայտութիւն ստանալու համար պետք է κT -ն փոխարինել

$$\kappa\theta = \hbar\omega \left(\frac{1}{2} + \frac{1}{e^{\frac{\hbar\omega}{\kappa T}} - 1} \right) \quad /10.15/$$

արտահայտութեամբ, որը ոչ այլ ինչ է, եթե ոչ քվանտային օսցիլյատորի

$$E = \hbar\omega \left(\frac{1}{2} + \bar{n} \right)$$

էներգիան: /10.15/-ը $\hbar\omega \ll \kappa T$ պայմանի դեպքում հավասար է κT -ի:

Գործող ճառագայթ և ցրման գործակից. Ռադիոաստղադիտակն չափում է ներում շատ կարևոր է, որ անտեսան ունենա նեղ /սուր/ ճառագայթ, այլապես այն կընդունի ոչ միայն շատ փոքր անկյունային չափսեր ունեցող օբյեկտի, այլև այն շրջապատող տիրույթից եկող ճառագայթումը: Անտեսանի այս հատկութիւնը Բնորոշվում է գործող ճառագայթի հակացութեամբ, որը սահմանվում է հետևյալ դատողութիւնների օգնութեամբ: Ներկայացնենք /9.5/ -ը հետևյալ տեսքով՝

$$G = \frac{4\pi}{\iint_{\Omega_{գլխ}} |F(\theta, \varphi)|^2 d\Omega + \iint_{4\pi - \Omega_{գլխ}} |F(\theta, \varphi)|^2 d\Omega} \quad /10.16/$$

Երբ

$$\iint_{\Omega_{գլխ}} |F(\theta, \varphi)|^2 d\Omega \gg \iint_{4\pi - \Omega_{գլխ}} |F(\theta, \varphi)|^2 d\Omega$$

$$G \approx \frac{4\pi}{\iint_{\Omega_{գլխ}} |F(\theta, \varphi)|^2 d\Omega} (1 - \beta) \quad /10.17/$$

/10.17/-ում $\Omega_{գլխ}$ գլխավոր ճառագայթն ընդգրկող մարմնային անկյունն է: Այս Բանաձևում $\frac{4\pi}{\iint_{\Omega_{գլխ}} |F(\theta, \varphi)|^2 d\Omega}$ մեծութիւնն անվանում են գործող ճառագայթ / beam efficiency /, իսկ

$$\beta = \frac{\iint_{\Omega_{գլխ}} |F(\theta, \varphi)|^2 d\Omega}{\iint_{4\pi - \Omega_{գլխ}} |F(\theta, \varphi)|^2 d\Omega} \quad - \text{ն}^{\circ}$$

ցրման գործակից:

ԳՐԱԿԱՆՈՒԹՅՈՒՆ

1. Л.Д.Ландау, Е.М.Лифшиц. Статистическая физика. М., Наука, 1976.
2. Н.Цейтлин. Антенная техника и радиоастрономия. М., Советское радио, 1976.
3. С.М.Рытов. Введение в статистическую радиофизику. Часть I. М., Наука, 1978.

ԱՆՏԵՆԱՆԵՐԻ ՊԱՐԱՄԵՏՐԵՐԻ ՉԱՓԱՆ ՏԵՍՈՒԹՅԱՆ ՀԱՐՑԵՐ: ԱՆՏԵՆԱՅԻ ՃԱՌԱԿԱՑՔԱՆ ԴԱՇԻ ՄՈՏԱՐԿԱՅԻՆ ՎԵՐԼՈՒԾՈՒԹՅՈՒՆԸ ԵՎ ՓՈԽԱՑԻՆ ԿԵՆՏՐՈՆԻ ՈՐՈՇՈՒՄԸ

Օգտվելով /9.6/ Բանաձևից, անտենայի մադալայի մասնիկի դաշտը կարելի է ներկայացնել հետևյալ տեսքով՝

$$\vec{E}(r, \theta, \varphi) = E_0 \sqrt{G_0} \frac{e^{ikr}}{kr} \vec{F}(\theta, \varphi, \tilde{z}) \quad /11.1/$$

/11.1/-ում \vec{F} Ֆունկցիան գրված է վերջավոր z հեռավորության համար: Այս դեպքում /11.1/-ը համընկնում է /7.14/ արտահայտության հետ: Այն կարելի է ներկայացնել հետևյալ մոտարկային վերլուծության ձևով /տես, զրականություն 1 /.

$$\vec{E}(r, \theta, \varphi) = E_0 \frac{e^{ikr}}{r} \sqrt{G_0} \sum_{n=0}^{\infty} \frac{1}{(ikr)^n} \hat{P}_n \vec{F}(\theta, \varphi) \quad /11.2/$$

/11.2/-ում \hat{P}_n դիֆերենցիալ օպերատորը հետևյալն է,

$$\hat{P}_n = \frac{1}{2^n n!} [n(n-1) + \Delta] \dots [2 \cdot 1 + \Delta] \Delta, \quad \hat{P}_0 = 1$$

և

$$\Delta = \frac{\partial^2}{\partial \theta^2} + \operatorname{ctg} \theta \frac{\partial}{\partial \theta} + \frac{1}{\sin^2 \theta} \frac{\partial^2}{\partial \varphi^2}$$

/11.2/-ից հետևում է, որ վերլուծության գլխավոր աղամբ կլինի՝

$$\vec{E}(\theta, \varphi) = E_0 \sqrt{G_0} \frac{e^{ikr}}{r} \vec{F}(\theta, \varphi) \quad /11.3/$$

/11.3/-ում $\vec{F}(\theta, \varphi)$ -ն արդեն համընկնում է ուղղորդվածության դիադրամի անտենայից շատ հեռու տիրույթում:

Անդրադառնալով /9.6/ հավասարմանը: նշանակենք $P_{\text{ուղ}}/P_{\text{առ}}$ հարաբերությունը $|\mu|^2$ -ով և անվանենք μ -ն հաղորդման գործակից: Օգտվելով նաև /9.11/-ից ներկայացնենք /9.6/-ը հետևյալ տեսքով՝

$$|\mu|^2 = \left(\frac{\lambda}{4\pi z}\right)^2 G_1 G_2$$

Քանի որ $G_1 = G_{10} |F_1(\theta, \varphi)|$ և $G_2 = G_{20} |F_2(\theta, \varphi)|$, ապա՝

$$|\mu|^2 = \left(\frac{\lambda}{4\pi z}\right)^2 G_{10} G_{20} |F_1(\theta, \varphi)|^2 |F_2(\theta, \varphi)|^2$$

և վերջապես՝

$$\mu = \frac{e^{ikr}}{2kr} \sqrt{G_{10} G_{20}} F_1(\theta, \varphi) F_2(\theta, \varphi), \quad /11.5/$$

եթե /11.5/-ում $F(\theta, \varphi)$ -ում վերականգնենք կախումը z ՝ հեռավորությունից ըստ /7.14/-ի: Հաղորդման μ գործակիցը կարելի է ներկայացնել /11.2/-ի տիպի մոտարկային վերլուծության ձևով՝

$$\mu = \frac{\sqrt{G_{10} G_{20}}}{2kr} e^{ikr} \sum \frac{1}{(ikr)^n} \hat{P}_n (F_1, F_2) \quad /11.6/$$

որի գլխավոր աղամբ համընկնում է /11.5/-ի հետ:

Եթե /11.6/-ում $F_2 = 1$, այսինքն՝ ընդունող անտենան Բացարձակ իզոտրոպ է, ապա զալիս ենք /11.2/ վերլուծությանը դաշտի լույլ արժե համար աված կետում: Այլ խոսքով, եթե որպես ընդունող անտենա վերցվի օրինակ, էլեկտրական դիպոլը, ապա /11.6/-ի փոխարեն կարելի է օգտվել /11.2/ Բանաձևից: Հարկ է նշել, որ Քոլորովին էլ պարտադիր չէ, որ ընդունող անտենայի չափերը փոքր լինեն. Բավական է, որ այն լինի շուրջորդված՝ $|F_2| \sim 1$. նշենք նաև, որ /11.6/-ում, ի տարբերություն /11.2/-ի, \hat{P}_n դիֆերենցիալ օպերատորն ազդում է F_1 -ի, և F_2 -ի փոփոխականների վրա հավասարազոր:

Ներկայացրած /11.2/ և /11.6/ մոտարկային վերլուծությունները հարավորություն են ընձեռում հետազոտել անտենային չափումների մի շատ կարևոր խնդիր. այն է՝ հեռավորության վերջավորության ազդեցությունն անտենայի չափով մեծությունների վրա: /11.6/-ից որոշենք μ

մեծությունն ուղիղ և անկյունային կախվածության տարբերությունը μ_0 -ից, երբ դաշտերն ունեն $\frac{e^{ikz}}{z} \sqrt{G'} F(\theta, \varphi)$ տեսքը: Այս տարբերությունը կորոշի չափման այն սխալանքը, որը պայմանավորված է անտեսաների միջև եղած վերջավոր հեռավորությամբ:

/11.6/-ից հետևում է; որ ամենամեծ ուղղումները հեռավոր տիրույթի նկատմամբ z^{-1} և z^{-2} կարգի մեծություններ են: Քանի որ $\mu - k$ կոմպլեքս մեծություն է, իսկ էքսպերիմենտում, ընդհանրապես ասած, չափվում է k ամպլիտուդը, և՛ փուլը, Քերենք մոտարկային արտահայտություններ այս երկուսի համար էլ: Այն է՝

$$|\mu| = \frac{\sqrt{G_{10} G_{20}}}{2kz} |F_1 F_2| \left\{ 1 + \frac{1}{kz} \text{Im} \frac{\hat{P}_1(F_1 F_2)}{(F_1 F_2)} + \frac{1}{(kz)^2} \text{Re} \frac{\hat{P}_2(F_1 F_2)}{(F_1 F_2)} + \dots \right\}$$

/11.7/

և

$$\arg \mu_0 = kz + \arg F_1 + \arg F_2 + \frac{1}{kz} \text{Re} \frac{\hat{P}_1(F_1 F_2)}{(F_1 F_2)}$$

/11.8/

/11.7/ և /11.8/-ից հետևում է, որ և՛ մոդուլի, և՛ փուլի համար μ -ն μ_0 -ով փոխարինելու սխալանքը z^{-1} կարգի է: Կարելի է, սակայն, այդ սխալանքի մեծությունը ավելի փոքրացնել, այսինքն՝ դարձնել z^{-2} թվական է, որպեսզի ապահովվի հետևյալ պայմանների կատարումը՝

$$\text{Re} \frac{\hat{P}_1(F_1 F_2)}{F_1 F_2} = 0$$

/11.9/

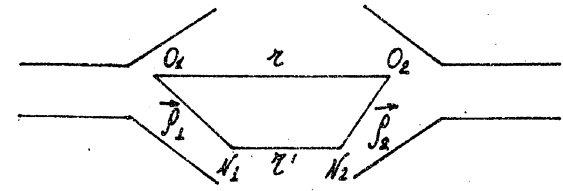
և

$$\text{Im} \frac{\hat{P}_2(F_1 F_2)}{F_1 F_2} = 0$$

/11.10/

Մինչև այժմ դեռ ոչինչ որոշակի չի ասվել z հեռավորության վերաբերյալ՝ թե անտեսայի որ կետերի միջև եղած հեռավորությանն է այն համապատասխանում: Պատրկենք հետևյալ նկարը /տես, նկ.13-ը /: Միանգամայն պարզ է, որ անկախ O_1 և O_2 կետերի ընտրությունից z -ի մեծացմանը զուգընթաց ուղղումը կձգտի զրոյի: Սակայն, ինչպես

ասվել էր վերը, ցանկացած իրական ֆիզիկական էքսպերիմենտում, այսինքն՝ վերջավոր z -ի դեպքում, O_1 և O_2 կետերի ընտրությունը դառնում է էական:



նկ.13

իրոք, փոխարինենք O_1 և O_2 կետերը N_1 -ով և N_2 -ով: Այս դեպքում վերը Քերված Քանոններում պետք է փոխարինվեն՝ $F_1 \rightarrow F_1 e^{ikz_1}$ և $F_2 \rightarrow F_2 e^{ikz_2}$, իսկ $z = O_1 O_2$ հեռավորությունը՝ $z' = N_1 N_2$ հեռավորությամբ: Ենթան փոխարինումները Քերում են և՛ z հեռավորության, և՛ $\hat{P}_1(F_1 F_2)$, $\hat{P}_2(F_1 F_2)$ Ֆունկցիաների փոփոխության: N_1 և N_2 կետերի հարմար ընտրությամբ կարելի է Քավարարել /11.9/ և /11.10/ պայմաններին: Պատրկենք /11.10/ պայմանը. սա առավել մեծ գործնական նշանակություն ունի, քանի որ շատ ավելի հաճախ սահմանափակվում են մոդուլի /ամպլիտուդի/ չափմամբ: Այս պայմանը Քավարարվում է ինքնըստինքյան, եթե F_1 և F_2 դիագրամները իրական են՝

$$\text{Im} F_1 = \text{Im} F_2 = 0$$

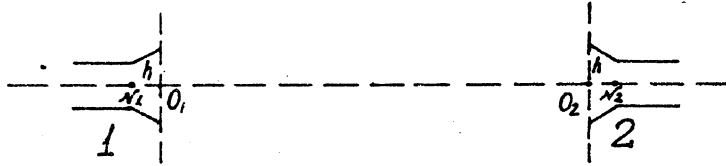
/11.11/

/11.11/-ը նշանակում է՝

- երկու անտեսաներն էլ ունեն փուլային կենտրոն,
- ուղի-ի չափման համար անտեսան պտտվում է իր փուլային կենտրոնի շուրջը,
- z հեռավորությունը չափվում է որպես անտեսաների փուլային կենտրոնների միջև եղած հեռավորություն:

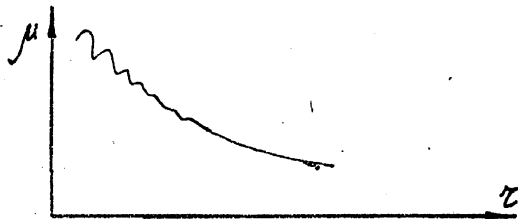
Սակայն /11.10/ պայմանին կարելի է Քավարարել և կոմպլեքս դիագրամների դեպքում, այսինքն, երբ ըստ սահմանման՝ անտեսան չունի փուլային կենտրոն: Այս դեպքում N_1 և N_2 կետերի դիրքը կախված է θ և φ անկյուններից և անվանվում է ակնթարթային փուլային կենտրոն:

Ցուցադրենք, թե ինչպես կարելի է, ելնելով /11.7/ և /11.10/ հավասարումներից, որոշել անտենայի փուլային կենտրոնը: Մոտեցումը հարցի լուծմանը կարող է լինել տարբեր. նկարագրենք մի մասնավոր եղանակ: Ենթադրենք 1 և 2 անտենաները տեղադրված են նկ.14-ում արված ձևով.



նկ.14

Առանցքային սիմետրիայի շնորհիվ N_1 և N_2 կետերը կգտնվեն նույն O_1, O_2 առանցքի վրա. $z = O_1, O_2$: μ -ի շափման արդյունքները, եթե աստիճանաբար մեծացնենք z հեռավորությունը, կարելի է պատկերել հետևյալ ձևով /տես, նկ.15-ը/:



նկ.15

Մոտ հեռավորությունների վրա դիտվող օսցիլյացիաները Բացառվում են երկու անտենաների միջև եղած փոխադարձ անդրադարձումներով և մարում են հեռավորության ամմանը զուգընթաց: Հետաքրքրող $\mu(z)$ կախումը նրա վերին և ներքին պարուրիչների միջինն է: Կամայականորեն ընտրած h պարամետրի դեպքում /11.7/-ը գրվում է հետևյալ ձևով՝

$$\mu(z) = \frac{a}{z+2h} + \frac{b}{(z+2h)^2} + \frac{c}{(z+2h)^3} + O(z^{-4})$$

/11.12/

որտեղ a -ն, b -ն և c -ն կախված են ուղ-ի արտադրյալների արժեքներից $\theta = 0$ և $\varphi = 0$ ուղղությամբ /տես, նկ.14-ը/: h -ի ընտրությամբ կարելի է b գործակիցը դարձնել զրո: Այդ դեպքում ուղղումը հեռավորության վերջավորության համար արդեն կլինի z^{-2} կարգի: Եթե անտենաները գտնվում են միմյանցից Բավական մեծ, Բայց վերջավոր հեռավորության վրա /այսպես կոչված՝ Ֆրենելյան տիրույթ/, $\theta = 0$ պայմանը Բավարար չափով կփոքրացնի սխալանքի մեծությունը /մինչև $2 \div 3\%$ / և փուլային կենտրոնը, որը կհամապատասխանի այդ սխալանքի մինիմումի դիրքին, կորոշվի h -ի ստացված մեծությամբ:

Շարադրվածը միայն հուշում է, թե ինչպես կարելի է մոտենալ խրնդ-րի լուծմանը /ավյալ դեպքում անտենայի փուլային կենտրոնի որոշմանը/: Վերոհիշյալ դատողություններից ելնելով, ըստ երևույթին, կարելի է մշակել շարադրվածից տարբեր, գուցե և ավելի արդյունավետ եղանակներ:

ԳՐԱԿԱՆՈՒԹՅՈՒՆ

1. И.Е.Арсеев, Б.Е.Кинбер. О применимости и погрешностях метода фокусировки. Радиотехника и электроника, XXIV, 3, 1979.
2. Б.Е.Кинбер, В.А.Попиченко. Определение параметров антенн по измерениям радиальной зависимости поля в зоне Френеля. Сб.тезисов УИИ СДВ. Волны и дифракция. т.3. М., 1981.

ԱՆՏԵՆԱՆԵՐԻ ՊԱՐԱՄԵՏՐԵՐԻ ՉԱՓՄԱՆ ՏԵՍՈՒԹՅԱՆ ՀԱՐՑԵՐ/ՇԱՐՈՒՆԱԿՈՒԹՅՈՒՆ/. ՀԱՅԵԼԱՅԻՆ ԱՆՏԵՆԱՆԵՐԻ ՈՒԳԳ-Ի ՉԱՓՈՒՄԸ ԿԵՐՋԱՆԳԻ ՀԵՌԱԿՈՒԹՅԱՆ ԱՐՄՆԱՅԻՆ ԱՊԱՖՈԿՈՒՍԱԾՄԱՆ ԵՂԱՆԱԿՈՎ

/12.2/-ում մտնում է χ պարամետրը՝

$$\chi = \frac{\varepsilon z}{f^2}$$

/12.4/

/11.7/ արտահայտություններից կարելի է անցնել քննարկման համար հարմար տեսքի մեկ այլ արտահայտության, եթե հաշվի առնենք, որ ուզ-ի u -երորդ անանցյալը համեմատական է $(kD)^n$ -ին, որտեղ D -ն անտենայի Բացվածքի չափան է, իսկ հայելու ծառայած շեղված է նրա կիզակետից սրա առանցքի ուղղությամբ՝

որտեղ f -ը հայելային անտենայի ծառայած ճեղքի հեռավորությունն է նրա կենտրոնից /կիզակետ/, ε -ը հայելու առանցքի ուղղությամբ կիզակետային դիրքից ծառայած շեղման մեծությունն է /ենթադրվում է, որ $\varepsilon = 0$ դեպքում ծառայած ճեղքի դիրքը համընկնում է անտենայի կիզակետի հետ և $\chi = 0$ /:

$$|u| = \frac{\sqrt{Q_{10}}}{2kz} \left\{ 1 - \left(\frac{2\pi D^2}{16\lambda z} \right)^2 [A + \chi B + \chi^2 C] \right\}, \quad Q_{20} \approx 1$$

χ մեծությունը պայմանավորում է այն սխալները, որն առջանում է ուզ-ի կամ ուզգ-ի չափման ժամանակ, երբ անտենաների միջև հեռավորությունը որոշվում է որպես նրանց փուլային կետերների միջև եղած հեռավորություն:

/12.1/

/12.1/-ում հաշվի է առնված, որ անտենաներից մեկը իզոտրոպ է: Իսկույն երևում է, որ /12.1/-ը որոշում է $|u|$ -ի որոշման սխալների մեծությունը z^{-2} մոտավորությամբ, որպես՝

/12.4/-ից հետևում է, որ ε -ի փոփոխմամբ կարելի է փոփոխել χ մեծությունը: /12.2/-ը χ -ից կախված է պարաբոլային օրենքով և χ -ի որոշակի արժեքների դեպքում այն ունի միևնույն: Այսպես՝ χ -ի այն արժեքը, որի դեպքում /12.2/-ը միևնույն է, հավասար է՝

$$-\left(\frac{2\pi D^2}{16\lambda z} \right)^2 [A + \chi B + \chi^2 C]$$

$$\chi_0 = -\frac{B}{2C}$$

/12.2/

/12.2/-ից հետևում է, որ $z \rightarrow \infty$ դեպքում այդ սխալները կձգտի զրոյի, իսկ ցանկացած մեծ, սակայն վերջավոր z -ի համար այն ունի որոշակի վերջավոր արժեք: A , B և C գործակիցները 1 և 2 անտենաների դիագրամներով պայմանավորված դրական հաստատուն մեծություններ են: Ըստ որում, այդ դիագրամները հաշվված են անտենայի Բացվածքում՝

Այսպիսով, եթե՝

$$\frac{\varepsilon z}{f^2} = -\frac{B}{2C}$$

/12.5/

հավասարումից որոշվի ε -ը, ապա պարզ կդառնա, թե որքան պետք է շեղել ծառայած ճեղքը կիզակետից դեպի դուրս, որպեսզի /12.2/-ը ընդունի միևնույն արժեք. այս գործողությունն անվանում են անտենայի ազմոնկուսացում:

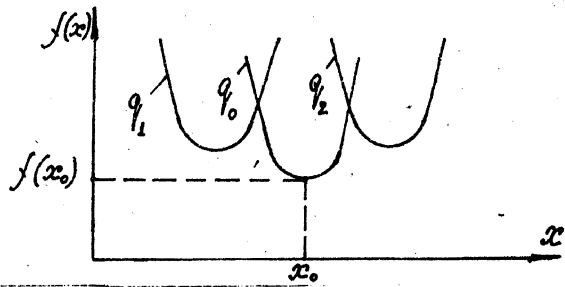
$$a(\rho) = 1 - (1 - \rho)^2 \rho^2, \quad 0 \leq \rho \leq 1$$

/12.3/

տիպի դաշտի Բաշխվածության համար: Հասկանալի է, որ խոսքը $|u|$ մեծության զնահաման մասին է և ոչ թե նրա մշարիտ հաշվման, այնպես չոր /12.3/ ենթադրությունը միանգամայն թույլատրելի է, քանի որ փոփոխելով P -ն գրոյից մինչև մեկ, կարելի է դիտարկել Բացվածքում դաշտի Բաշխվածության հանդիպող հիմնական դեպքերը:

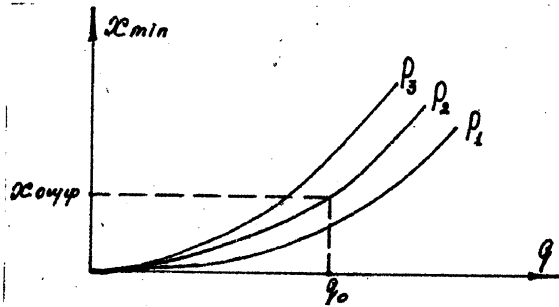
Ասվածից հետևում է, որ ուզ-ի չափման ժամանակ հեռավորության ոչ Բավականաչափ մեծ լինելու հետևանքով առաջացած սխալները կարելի է կոմպենսացնել, եթե անտենան ազմոնկուսացվի: Ենթադրենք՝ անտենան որոն հայտնի է /12.2/ Ֆունկցիայի տեսքով կախված χ պարամետրից /տես, նկ.16 -ը/, երբ երկրորդ անտենան քվադրիպոլային է:

նկ.16-ում $Q = D/4f$ մեծությունը անտենան Բնորոշող պարամետր է: Այս նկարից հետևում է, որ, ընդհանրապես ասած, առբեր տիպի անտենաների համար $A + \chi B + \chi^2 C$ Ֆունկցիայի կախումը χ պար-



նկ. 16

մեծերից տարբեր է լինելով միշտ պարաբոլային: Մյուս կողմից՝ կարելի է տեսականորեն հաշվել χ_{min} -ի կախումը նույն պարամետրից դաշտի տարբեր /տես, 12.3/ Բաշխվածությունների համար /նկ. 17/:



նկ. 17

վարվենք հետևյալ կերպ: նկ. 17-ից տրված $q = q_0$ -ի և $P = P_0$ -ի համար որոշենք $\chi_{այդ}$ մեծությունը: Ունենալով նկ. 16-ի գրաֆիկները տված q_0 -ի համար, $\chi_{այդ}$ -ին համապատասխան

$$f(\chi_{այդ}) = \left(\frac{2\pi D^2}{16\lambda z}\right)^2 [A + \chi_{այդ} B + \chi_{այդ}^2 C]$$

արժեքից կգտնենք μ -ի չափման սխալների գնահատականը՝

$$\left(\frac{2\pi D^2}{16\lambda z}\right)^2 [A + \chi_{այդ} B + \chi_{այդ}^2 C], \quad /12.6/$$

իսկ շեղման ϵ մեծությունը կորոշվի /12.4/ Բանաձևից՝

$$\epsilon_0 = \frac{\chi_{այդ} f^2}{z}$$

/12.7/

Այսպիսով, եթե ճառագայթի շեղենք կիզակետային դիրքից ϵ_0 մեծությամբ, հեռավորության վերջավորության պատճառով առաջացած սխալները կորոշվի /12.6/-ով: Արվածը թույլ է տալիս նշված սխալների մեծությունը էականորեն փոքրացնել և դարձնել արհամարհելի փոքր: Հասնելով սրան $|\mu|$ մեծությունը կարելի է որոշել

$$|\mu| = \frac{\sqrt{G_{10} G_{20}}}{2kz}, \quad G_{20} \sim 1$$

Բանաձևով, վերոհիշյալ փոքր սխալների մոտավորությամբ:

/12.1/ Բանաձևը միշտ է, եթե երկրորդ /օժանդակ/ անտենան իզոտրոպ էր: Երբ հարցը վերաբերում է երկու համարժեք անտենաների ուղ-ի չափմանը, կարելի է առաջարկել հետևյալ ալգորիթմը.

- որպես երկրորդ /իզոտրոպ/ անտենա օգտագործել որևէ վիճարտորային անտենա /կամ էլ ալիքատարի Բացվածք/: Կատարել վերոհիշյալ գործողությունները: Արանց հետևանքով ազդանշանի արժեքը պետք է մեծանա և $\epsilon = \epsilon_0$ -ի դեպքում հասնի իր մաքսիմումին:
- առաջին անտենան փոխարինել Բաց ալիքատարով /կամ վիճարտորով/, կրկնել նույն գործողությունը երկրորդ անտենայի հետ:
- առաջին և երկրորդ անտենաները տեղադրել իրենց դիրքերում և շարունակելով ϵ -ի մեծացումը սրանց համար՝ հասնել, միաժամանակ, ազդանշանի մաքսիմումի արժեքին:

Հնարավոր է վարվել և այլ կերպ: Համարելով, որ $\epsilon = 0$ դիրքը համապատասխանում է կիզակետի տեսական հաշվարկային դիրքին, կատարել երեք չափումներ երեք տարբեր հեռավորությունների վրա: Հավասարումների համակարգից կարելի է որոշել A , B և C հաստատունները: Այս մոտեցումը գերադասելի է այն իմաստով, որ ընդհանուր դեպքում նկ. 16-ի և նկ. 17-ի վրա պատկերված գրաֆիկների ստացումը խիստ աշխատատար է. համեմատաբար հեշտ այս Բանն արվում է, երբ անտենաներից մեկը քվազիիզոտրոպ է:

Շարադրված մեթոդն առավել հավաստի և մշտադիմ է, եթե երկու անտենաների միջև եղած հեռավորությունը Բավականաչափ մեծ է, սակայն դեռևս չի Բավարարում Ֆրաունհոֆերի պայմանին: Շատ մոտ հեռավորությունների վրա /12.1/ -ը պետք է ձևափոխել, պահպանելով z^{-2} , z^{-4} և մյուս անդամները: Սակայն սա արդեն հեռանկարային չէ, և դժվար կլինի սպասել հավաստի արդյունքներ նման փորձերից:

Տես նախորդ ենթաբաժնի գրականությունը

ԱՆՏԵՆԱՆԵՐԻ ՊԱՐԱՄԵՏՐԵՐԻ ՉԱՓՄԱՆ ՏԵՍՈՒՅՑՄԱՆ ՀԱՐՑԵՐ/ՇԱՐՈՒ-
ՆԱԿՈՒՅՑՈՒՆ/ ԳԵՏՆԻՑ ԱՆԴՐԱԴԱՐՉԱԿԵ ԺԱՌԱԳԱՑՓՄԱՆ ԱԶԻԵՑՈՒՅՑՈՒՆԸ
ՈՒԳ-Ի ՈՐՈՇՄԱՆ ԱՐՄ՝ԱՆՏԵՆԱՆԻՍ ՓՈՐՉԱԴԱՇՏԵՐՈՒՄ/ՅՐԵՆՆԵՆՍԱՆ
ՏԻՐՈՒՅՑՆԵՐԻ ՄԵՓՈՂԸ/

Քանի որ անտենայի մառազայթման դաշտն ունի կողմնային թերթիկ-
ներով տարածական ուղի, Բացի ուղղակի ազդանշանից, որը տարածվում է
երկու անտենաները միացնող զծով, ընդունիչ անտենայի վրա ընկնում
է նաև կողմնային մառազայթման՝ գեոնից անդրադարձած դաշտը: Ժամանակա-
կից անտենային տեխնիկայում այս դաշտերի գնահատումը և հաշվարկը հույժ
կարևոր նշանակություն է ստանում անտենաների աշխատանքի հուսալիու-
թյանը և ստացվող արդյունքների մշտնոլթյանը ներկայացվող աճող պա-
հանջների պայմաններում:

Քննարկվող հարցը պատկանում է մաթեմատիկական ֆիզիկայի առավել
դժվարին խնդիրների շարքին: Դեռևս Ջոմմերթելը ըննարկել է հարթ մակ-
երևույթից /գեոնից/ որոշակի Բարձրության վրա տեղադրված դիպոլի դաշտը
/տես, զրականություն 1: Գտնված լուծումները գործնական սահմանափակ
կիրառություն գտան. սրանք վերաբերում են խիստ մասնավոր դեպքի: Ավե-
լի արդյունավետ եղանակ երկրաչափաօպտիկական մոտեցումը: Այն հնարավորու-
թյուն տվեց ստանալու, միշտ է՝ մոտավոր, սակայն գործնականում պիտանի
լուծումներ:

Դիտարկենք հետևյալ, համեմատաբար պարզ դեպքը: Ժառազայթող անտենան
գտնվում է S հարթ մակերևույթից h Բարձրության վրա: Ներկայաց-
նենք անտենայի դաշտը /11.1/-ի տեսքով՝

$$\vec{E}_1(z, \theta, \varphi) = E_{10} \frac{e^{iKz}}{Kz} \sqrt{G} \vec{F}(\theta, \varphi) \quad /13.1/$$

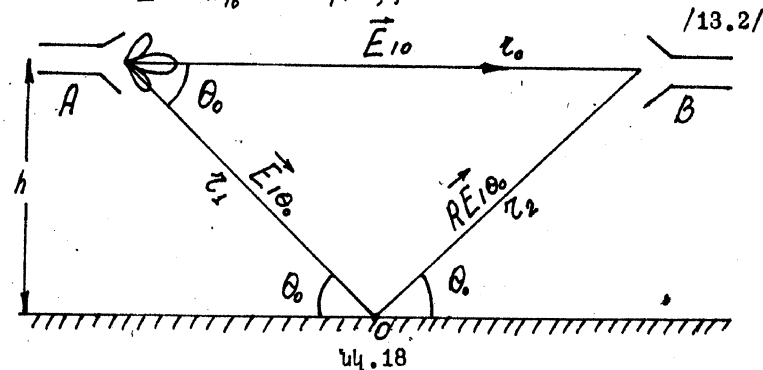
\vec{E}_1 դաշտը որոշակի θ_0 անկյան տակ ընկնում է գեոնի վրա և
անդրադառնում նրանից նույն θ_0 անկյան տակ /տես, նկ.18/՝ $\varphi=0$

$\theta=0$ ուղղությամբ տարածվում է սկզբնական դաշտը /ուղղակի դաշտ/
և ընդունվում B անտենայի կողմից: Բացի սրանից B անտենայի
վրա կընկնի նաև O կետից անդրադարձված $R\vec{E}_1(\theta, \varphi=0)$ դաշտը, որտեղ R -ը
 S հարթ մակերևույթի անդրադարձման գործակիցն է: Կախված այն Բանից,
 \vec{E}_1 վեկտորը Բևեռացված է անկման հարթության մեջ, թե նրան ուղղա-

հայաց, R գործակիցը ունի տարբեր արժեքներ: Նշանակենք սրանք, հա-
մապատասխանաբար, R_{μ} և R_h /ուղղաձիգ և հորիզոնական/:

B անտենայի վրա ընկնում է, հետևաբար,

$$\vec{E} = \vec{E}_{10} + R\vec{E}_1(\theta_0, \varphi=0)$$



դաշտը, որտեղ՝

$$R\vec{E}_1(\theta_0, \varphi=0) = E_0 \frac{\sqrt{G_1}}{(z_1+z_2)K} e^{iK(z_1+z_2)} R_{\mu, h} \vec{F}_1(\theta_0, \varphi=0) \quad /13.3/$$

եթե $z \gg h$, ապա՝

$$z_1 + z_2 = 2z = \sqrt{z_0^2 + 4h^2} \approx z_0 + \frac{2h^2}{z_0}$$

և, հետևաբար,

$$R\vec{E}_B = E_0 \frac{\sqrt{G_1}}{Kz_0} e^{iKz_0 + \frac{2iKh^2}{z_0}} R_{\mu, h} \vec{F}(\theta_0, \varphi=0) \quad /13.4/$$

/13.2/ դաշտը B կետում, այսպիսով, կլինի՝

$$\vec{E}_B = E_0 \frac{\sqrt{G_1}}{Kz_0} e^{iKz_0} \left\{ \vec{F}_1(0, 0) + R_{\mu, h} \vec{F}_2(\theta_0, \varphi=0) e^{i\frac{2Kh^2}{z_0}} \right\} \quad /13.5/$$

/13.5/ արտահայտությունը կարելի է գրել սկալյար տեսքով՝ ի նկատի
ունենալով \vec{F} -ի θ և φ Բաղադրիչները՝

$$E_{B, \theta, \varphi} = E_0 \frac{\sqrt{G_1}}{Kz_0} e^{iKz_0} \left\{ 1 + R_{\mu, h} F_{\theta, \varphi}(\theta_0, \varphi=0) e^{i\frac{2Kh^2}{z_0}} \right\} \quad /13.6/$$

/13.6/-ում ընդունվեց, որ $F(0,0) = 1$: եթե $R_{m,h}$ անդրադարձման գործակիցները ունեն կեղծ մասեր /կա կլանում/, ապա կարելի է գրել՝
 $R_{m,h} = |R_{m,h}| e^{i\beta_{m,h}}$ և արտագրել /13.6/-ը հետևյալ համարժեք տեսքով՝

$$E_{B,\theta,\varphi} = E_0 \frac{\sqrt{q_1}}{kz_0} e^{i(kz_0 + \psi_{m,h})} \left\{ 1 + |R_{m,h}|^2 F_{\theta,\varphi}^2(\theta_0, \varphi=0) + 2|R_{m,h}| F_{\theta,\varphi}(\theta_0, \varphi=0) \cos\left(\frac{2kh^2}{z_0} + \beta_{m,h}\right) \right\}^{1/2} \quad /13.7/$$

ըստ որում՝

$$\operatorname{tg} \psi_{m,h} |_{\theta,\varphi} = \frac{|R_{m,h}| F_{\theta,\varphi}(\theta_0, \varphi=0) \sin\left(\frac{2kh^2}{z_0} + \beta_{m,h}\right)}{|R_{m,h}| F_{\theta,\varphi}(\theta_0, \varphi=0) \cos\left(\frac{2kh^2}{z_0} + \beta_{m,h}\right) + 1}$$

Արմատատակ արտահայտությունը կոչվում է ինտերֆերենցիոն Բազմապատկիչ: Եթե B կետը ընտրված լիներ ոչ թե ծառայածի գլխավոր ուղղության վրա, այլ ինչ որ $\theta \neq 0$ ուղղության, ինտերֆերենցիոն Բազմապատկիչը կախված կլիներ նաև այս անկյունից: Նշանակում է, եթե B կետի շրջակայքում ուղղաձիգ հարթության մեջ տեղաշարժվի որևէ ընդունիչ զոնդ, նրա ելքին կդիպեն դաշտի որոշակի օսցիլյացիաներ, որոնց մեծությունը և պարբերությունը կորոշվի այս ինտերֆերենցիոն Բազմապատկիչից: $R_{m,h}$ գործակիցներն արտահայտվում են Ֆրենելի Բանձներով:

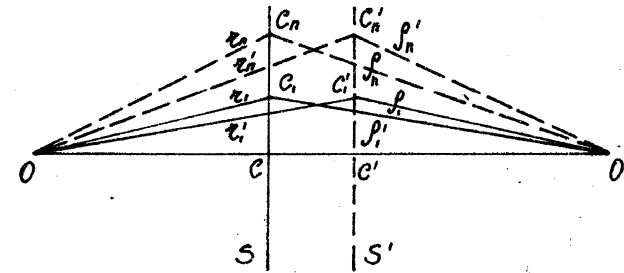
$R_{m,h}$ -ն ունի մի էական տարբերություն R_h -ից. անկման որոշակի անկյունների դեպքում այն հավասարվում է գրոյի: Այս անկյունը հայտնի է Բրյուստերի անկյուն անունով: Ուրեմն՝ կարող է պատահել, որ անդրադարձված հորիզոնական Բեռնացված ալիքն ունենա Բավականին մեծ ինտենսիվություն, մինչդեռ Բավական կլինի փոխել անտենայի Բեռնացումը, և /եթե θ_0 անկյունը հավասար լինի սվյալ միջավայրի համար Բյուստերի անկյանը / B կետում կդիտվի միայն ուղղակի ծառայությունը՝ առանց գեռնի որևէ ազդեցության:

/13.2/-/13.7/ Բանձները ենթադրում էին, որ B կետում որպես ընդունող անտենա հանդես է գալիս կետային իզոտրոպ մի զոնդ: Եթե այս զոնդը փոխարինվի որևէ ուղղորդված անտենայով և, եթե, օրինակ, $\theta = \theta_0$ ուղղությունը համապատասխանի նրա դիագրամի մինիմումին, դարձյալ կարձանագրվի անդրադարձման Բացակայություն. ընդհանրապես ասած, ուղղորդված անտենայի համար անդրադարձված ալիքի ինտենսիվությունը նվազում

է, կախված սվյալ ուղղությունից: Եթե B կետում ինտենսիվությունը նվազում է, կախված սվյալ ուղղությունից:

Հարցը համեմատաբար պարզ էր, երբ դիտարկվում էր անկյունը հարթ մակերևույթի: Իրական ֆիզիկական չափումներում համախ գործ են ունենում անհարթ մակերևույթներով փորձադաշտերի հետ. մասնավորապես, այդպիսիք են Բնական անտենային փորձադաշտերը: Այս դեպքում փորձադաշտի պրոֆիլը կարելի է /Բավականին երկար ալիքների համար / մոտարկել հարթություններով: Ստացված հարթ մակերեսները կունենան վերջավոր չափեր, և ծագում է հարց՝ ինչպես որոշել արդյունավետ անդրադարձող մակերեսները: Օգտվենք առաջին ենթաբանումով՝ մտցված Ֆրենելի գոտիների հակացուծությունից:

Դիտարկենք նկ.19 -ը՝



նկ.19

$$\alpha_1 + \beta_1 - \alpha_0 - \beta_0 = \frac{\lambda}{2}$$

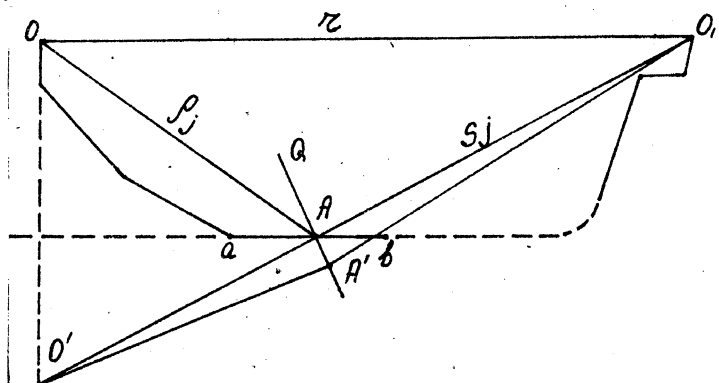
$$\alpha_n + \beta_n - \alpha_0 - \beta_0 = n \frac{\lambda}{2}$$

Եթե S հարթությունը, որի վրա C, C' հատվածը որոշում էր Ֆրենելյան առաջին, C_n, C_n' -ը՝ n -րդ գոտիների հատությունը S հարթությանը, տեղաշարժենք դեպի ձախ՝ OO_1 ուղղությամբ, ապա ստացված

$$\alpha'_1 + \beta'_1 - \alpha'_0 - \beta'_0 = \frac{\lambda}{2}$$

$$\alpha'_n + \beta'_n - \alpha'_0 - \beta'_0 = n \frac{\lambda}{2}$$

հավասարումներով որոշված $C_1, C_1', \dots, C_{n-1}, C_n$ հատվածները կհամապատասխանեն ֆրենելի գոտիների հատույթներին S' հարթութամբ: Միացնելով C_1, C_1', C_2, \dots կետերը, կստանանք ֆրենելի առաջին գոտին, որն իրենից կներկայացնի էլիպս: Գտնելով ստացված էլիպսը OO_1 , առանցքի շուրջը, կստանանք առաջին գոտու համապատասխանող ֆրենելի նավալը. սրանում տարածվում է ալիքի էներգիայի հիմնական մասը: Ենթադրենք՝ անտենային փորձադաշտն ունի հետևյալ կտրվածքը/տեսն, նկ.20/՝



նկ.20

Որոշենք ab հատվածի համար առաջին ֆրենելի գոտին: Կառուցենք O կետի հայելային անդրադարձումը ab -ի շարունակությունը նկատմամբ: A կետում տանենք $O'O_1$, -ին ուղղահայաց Q հարթությունը և նրա վրա որոշենք A' կետը՝ այնպես, որ

$$O'A' + O_1A' - O'A - O_1A = \frac{\lambda}{2}$$

Տեղաշարժելով Q հարթությունը $O'O_1$ առանցքի ուղղությամբ, կստանանք A', A'', \dots կետերի Քազմութունը, որոնք ընկած են $\lambda/2$ կիսաառանցքով էլիպսի վրա: Գտնենք այդ էլիպսը $O'O_1$ առանցքի շուրջը և ստացված էլիպսիդի հատույթը ab հարթության հետ հենց կորոշի արդյունավետ անդրադարձման գոտին փորձադաշտի ab մասում: Նույն բանը կարելի է անել փորձադաշտի մնացած մասերի հետ: Հնարավոր է, որ կառուցված հատույթը չհամընկնի ab -ի և ոչ մի մասի հետ, կամ էլ գտնվի նրանից էականորեն դուրս: Այդ դեպքում պնդում ենք, որ անդրադարձային մոտեցման դեպքում տվյալ գոտին ոչ մի դեր չի խաղում: Որոշելով արդյունավետ անդրադարձնող Բոլոր գոտիները, սրանց

նկատմամբ կարելի է կիրառել /13.5/ -13.7/ տիպի բանաձևերը, զրված, իհարկե, ոչ թե երկու, այլ կամայական թվով գումարելիների համար /գումարելիների թիվը հավասար է արդյունավետ անդրադարձնող հատույթների թվին/: Վերանայով ինտերֆերենցիոն էֆեկտներից, կարելի է օգտվել հետևյալ բանաձևից՝

$$\frac{P_{ուղղ}}{P_{ուղղ}} = \sum_j \frac{1}{(S_j + S_j')^2} F_1^2(\theta_j') F_2^2(\theta_j'') R_{j, n, h}$$

/13.8/

/13.8/-ում γ -ը երկու անտենաների միջև եղած հեռավորությունն է, S_j -ն ծառայությունից մինչև j -րդ հատվածում ֆրենելի առաջին գոտու կենտրոնը և S_j' -ն այդ կենտրոնից մինչև ընդունող անտենան եղած հեռավորություններն են: F_1^2 -ն և F_2^2 -ն ծառայությունը և, ընդունող անտենաների դիագրամներն են ըստ ինտենսիվությունների, θ_j' -ը և θ_j'' -ը՝ տիրույթի վրա ընկնող և անդրադարձված ծառայությունների անտենաները միացնող գծի հետ կազմած անկյուններն են: /3.7/ և /3.8/ բանաձևերը հնարավորություն են տալիս միայն որոշակի մոտավորությամբ գնահատել անդրադարձված հզորության մակարդակը:

Այս մեծությունը չափումը դժվարանում է նրանով, որ այն միշտ հանդես է գալիս և արձանագրվում ուղիղ ծառայության հետ մեկտեղ: Այնուամենայնիվ, կարելի է առաջարկել անդրադարձման մակարդակի որոշման մի եղանակ, որը հիմնված է հետևյալ պարզ դատողությունների վրա: Երբ երկու անտենաներ գտնվում են փոխադարձաբար ֆրոնտալ-հորիզոնական /շտ հեռու են միմյանցից/, ապա ծառայությունը անտենաների միջև կազմված կետերի քվադրանթի ալիքային մակառված/տես, 13.7/: Տեղաշարժելով իզոտրոպ զոնդը տարածության այս տիրույթում, նրա ելքին, իր տեղաշարժմանը զուգընթաց կարձանագրենք ամպլիտուդի օսցիլյոգրամներ, որոնց մեծությունը կորոշվի /13.8/ բանաձևով, եթե նրանում $F_2^2(\theta_j'')$ -ի փոխարեն տեղադրենք զոնդի դիագրամը: Ստանալով համապատասխանությունը չափող և հաշվված մեծությունների միջև, այնուհետև /13.8/ բանաձևով, որտեղ $F_2^2(\theta_j')$ -ն արդեն ընդունող անտենայի ուղ-ն է, կարելի է որոշել անդրադարձման $P_{ուղղ}/P_{ուղղ}$ մակարդակը ալիքի տվյալ երկարության, բևեռացման և փորձադաշտի եղանակի համար:

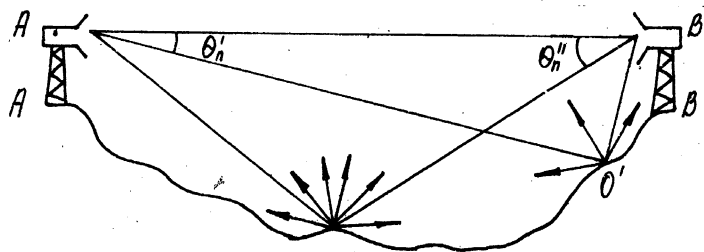
Արվածը երբեմն անվանում են անտենայի փորձադաշտի վկայագրում/տես-տացիա/:

ԱՆՏԵՆԱՆԵՐԻ ՊԱՐԱՄԵՏՐԵՐԻ ՉԱՓՄԱՆ ՏԵՍՈՒԹՅԱՆ ՉԱՐՅԵՐ: ԳԵՏՆԻՑ
 ԱՆԴՐԱՊԱՐԶՎԱԾ ԸՆԴՈՒՆՈՂ ԱՆՏԵՆԱՅԹՄԱՆ ԱԶԴԵՑՈՒԹՅՈՒՆԸ ՈՒԴ-Ի ՈՐՈՇՄԱՆ
 ՎՐԱ ԱՆՏԵՆԱՅԻՆ ՓՈՐՉԱԴԱՇՏԵՐՈՒՄ ԵՎ ԱՆԱՐՉԱԳԱՆՔ ԽՑԻԿՆԵ-
 ՐՈՒՄ /ՇԱՐՈՒՆԱԿՈՒԹՅՈՒՆ/ ՑՐՄԱՆ ԻՆԴԻԿԱՏՐԻՍՆԵՐԻ ԵՎ ԿՈՇԵՐԵՏ
 ՖՈՒՐՅԵ-ՕՊՏԻԿԱՅԻ ՄԵԹՈԴՆԵՐԸ

ա/ Ցրման ինդիկատրիսների մեթոդը:

Անտենային փորձադաշտերում զետևի երկրորդային մառազայթումը միշտ չէ, որ կարող է կրել անդրադարձային Բնույթ: Ավելին՝ անհամասեռ և անհարթութուններով Բնորոշվող փորձադաշտային մակերևույթներն ունեն գերադասորեն ցրող Բնույթ: Ըստ որում, որպես կանոն, ցրումն առավել մեծ ինտենսիվությամբ տեղի ունի համապատասխան անդրադարձման ուղղութայնում, իսկ մյուս ուղղութայններով նվազում է Բավականաչափ դանդաղ: Ցրման ինտենսիվության կախումը անկյուններից տրվում է տված մակերե-
 վույթի համար որոշված ցրման ինդիկատրիսի միջոցով: Հասկանալի է, որ ցրման դեպքում ընդունող անտենայի վրա կրնան զաշտեր ամենատարբեր ուղղութայններից / ի տարբերություն անդրադարձման դեպքի, երբ անդրա-
 դարձված դաշտեր անտենան ընդունում էր միայն այն դեպքում, երբ նրա դիրքը համապատասխանում էր անդրադարձման ուղղութայնը/: Այսպիսով, մակ-
 երևույթի անհարթութունները Բերում են ինչ-որ էֆեկտիվ ցրման փոր-
 ձադաշտի որոշակի կետերում, ըստ որում՝ ընդունող անտենան կարող է ընկալել ցրումներ, ընդհանրապես ասած, փորձադաշտի Բոլոր կետերից:

Անցնենք նշված էֆեկտի քանակական քննարկմանը: Իրցուք, փորձադաշտի A կետում տեղադրված է մառազայթող անտենան, իսկ B կետում՝ ընդու-
 նիչը /նկ.21/.



նկ.21

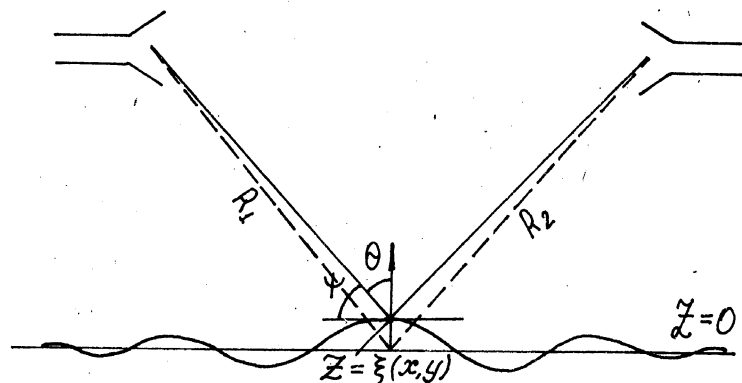
Ինչպիսի փորձադաշտի O կետը ուղղված մառազայթը այդ կետում ցրվում է ամենատարբեր ուղղութայններով, ըստ որում՝ ցրված մառազայթներից մեկն ընկնում է B ընդունող անտենայի վրա: Ակնհայտ է, որ OB ուղ-
 ղութայնը առաջված էներգիան ավելի քիչ կլինի, քան համապատասխան ան-
 դրադարձման դեպքում /շնորհիվ ցրման/: Մյուս կողմից՝ ընդունող անտենայի վրա արդեն կրնան փորձադաշտի փաստորեն Բոլոր տիրույթնե-
 րից ցրված ալիքները:

Նախորդ ենթաբաժնում արվածի նմանությամբ մոտարկենք փոր-
 ձադաշտի պրոֆիլը քվազիհարթ մակերեսներով և ստանանք սրանց համար ցրո-
 ման ինդիկատրիսի արտահայտությունները:

Իտարկենք այն սահմանային դեպքը, երբ հարթ մակերևույթի անհարթութունները իրենց չափերով զգալիորեն գերազանցում են ընկնող ալիքի երկարությունը: Եթե մտցնենք անհարթութունների Բարձրութայնների միջին քառակուսային մեծություն՝ σ -ի հասկացությունը, այս պայմանը կարելի է ձևակերպել հետևյալ կերպ՝

$$k\sigma \sin \psi \gg 1,$$

որտեղ ψ -ն անկման սահմանային անկյունն է / տես, նկ.22 / /14.1/



նկ.22

Եթե S ցրող մակերևույթն այնքան ողորկ է, որ դաշտի արժեքը նրա վրա կարելի է ներկայացնել որպես ընկնող \vec{E}_0 և ըստ երկրաչափական օպտիկայի օրենքների անդրադարձված դաշտերի գումար, ապա՝

$$E_i = E_i^0 + T_{ij}(\vec{n}) E_j^0$$

/14.2/

$T_{ij}(\vec{n})$ անդրադարձման թենզորը կախված է ընկնող ալիքի \vec{k} ալիքային վեկտորի՝ անկման կետում մակերևույթի նորմալի հետ (\vec{n}) կազմած անկյունից: Ակնհայտ է, որ նման թենզոր իմաստ ունի մտցնել, եթե S մակերեսը գտնվում է մտազայթող անտենայի ալիքային տիրույթում, այնպես, որ ցրող մակերեսի յուրաքանչյուր հատվածում ընկնող ալիքը լինի քվազիհարթ: Փոխարինելով մակերևույթի սվյալ հատվածը նրան շոշափող հարթությամբ /նկ.22/

$$ab \gg \frac{\lambda}{2\pi \sin \psi} \quad bd \ll \frac{\lambda}{2\pi} \sin \psi$$

/14.3/

պայմանների առկայության դեպքում /որոնք հնարավորություն են տալիս արհամարհել Քազմակի անդրադարձումները/ Կիրիսինոֆի դիֆրակցիոն տեսության մոտավորությամբ կարելի է որոշել ընդունող անտենայի շրջակայքում $\vec{\chi}$ ուղղությամբ տարածվող դաշտը հետևյալ տեսքով /տես, ենթաբաժին 7-րդ/

$$\vec{E} = \frac{1}{4\pi} \int_S \left\{ ik [\vec{n} \vec{H}] + (\vec{n} \vec{E}) \vec{\nabla} + [(\vec{n} \vec{E}) \vec{\nabla}] \right\} \frac{e^{ikR_2}}{R_2} dS$$

/14.4/

Եթե էլեկտրամագնիսական ալիքների աղբյուրը գտնվում է ալիքային տիրույթում, /Ֆրաունհոֆերյան տիրույթ/ S մակերեսի նկատմամբ, ապա ընկնող դաշտի համար կարելի է գրել՝

$$\vec{E}_{\text{գնչ}} = \vec{E}_0 \frac{e^{ikR_1}}{R_1}, \quad \vec{H}_{\text{գնչ}} = \vec{H}_0 \frac{e^{ikR_1}}{R_1}$$

և այս տիրույթում դեպի B անտենան $\vec{\chi}$ ուղղությամբ տարածվող դաշտի համար կստանանք հետևյալ ինտեգրալ Բանաձևը՝

$$\vec{E}(\vec{r}, \vec{\chi}) = \frac{ik}{4\pi} \frac{e^{ik(R_1+R_2)}}{R_1 R_2} \int \left\{ [\vec{n}, \vec{H} - \vec{H}_0] - (\vec{n}, \vec{E} - \vec{E}_0) \vec{\beta} + \right.$$

$$\left. + [\vec{\beta} [\vec{n}, \vec{E} - \vec{E}_0]] \right\} \exp\{i[(\vec{k} - \vec{\chi})\vec{r} + (\kappa_z - \chi_z) \xi(z)]\} \frac{d\vec{r}}{R_2}$$

/14.5/

որտեղ՝

$$\vec{\chi} = -\kappa \vec{\nabla} R_2 = \kappa \vec{\beta}, \quad \vec{r} = \{x, y\}$$

Բավական կարճ ալիքների համար, օգտվելով ստացիոնար փուլի մեթոդից՝ կարելի է գրել՝

$$\vec{n} = \vec{n}_0 = \frac{\vec{q}}{q}, \quad \vec{q} = \vec{\chi} - \vec{k} = 2\kappa \vec{n}_0 (\vec{n}_0 \vec{\beta}), \quad q_z = \chi_z - \kappa_z$$

/14.5/ արտահայտությունն այս դեպքում պարզեցվում է:

իրոք՝

$$\vec{E}^{\text{անդր}} = \vec{E} - \vec{E}_0, \quad \vec{H}^{\text{անդր}} = \vec{H} - \vec{H}_0 = \frac{[\vec{\chi}, \vec{E} - \vec{E}_0]}{\chi} = [\vec{\beta} \vec{E}^{\text{անդր}}]$$

և ընդհանուրապես արտահայտության ոչ աստիճանացուցչային մասը Բերվում է հետևյալին՝

$$\begin{aligned} & [\vec{n}_0, \vec{H} - \vec{H}_0] - (\vec{n}_0, \vec{E} - \vec{E}_0) \vec{\beta} + [\vec{\beta} [\vec{n}_0, \vec{E} - \vec{E}_0]] = \\ & = [\vec{n}_0 [\vec{\beta} \vec{E}^{\text{անդր}}]] - (\vec{n}_0, \vec{E}^{\text{անդր}}) \vec{\beta} + [\vec{\beta} [\vec{n}_0, \vec{E}^{\text{անդր}}]] = \\ & = \vec{\beta} (\vec{n}_0, \vec{E}^{\text{անդր}}) - (\vec{n}_0 \vec{\beta}) \vec{E}^{\text{անդր}} - (\vec{n}_0, \vec{E}^{\text{անդր}}) \vec{\beta} + \\ & + \vec{n}_0 (\vec{\beta} \vec{E}^{\text{անդր}}) - (\vec{n}_0 \vec{\beta}) \vec{E}^{\text{անդր}} = -2(\vec{n}_0 \vec{\beta}) \vec{E}^{\text{անդր}} = \\ & = -\frac{q^2 \cdot n_z}{\kappa q_z} \vec{E}^{\text{անդր}}; \quad (\vec{\beta} \vec{E}^{\text{անդր}}) = 0 \end{aligned}$$

ի վերջո, /14.5/ արտահայտությունը գալիս է հետևյալ տեսքին

$$\vec{E}(\vec{r}, \vec{\chi}) \approx \frac{1}{4\pi i} \frac{e^{ik(R_1+R_2)}}{R_1 R_2} \frac{q^2}{q_z} \int \vec{E}^{\text{անդր}} e^{-i[\vec{q} \cdot \vec{r} + q_z \xi(z)]} d\vec{r}$$

/14.6/

Արտահայտելով $\vec{E}^{\text{անդր}}$ դաշտի կապը ընկնող \vec{E}_0 դաշտի հետ անդրադարձման $T_{ij}(\vec{n})$ թեմագրի միջոցով, գրենք՝

$$E_i(\vec{x}, \vec{k}) \approx \left\{ \frac{1}{4\pi i} \frac{e^{i\mathbf{k}(\mathbf{R}_1 + \mathbf{R}_2)}}{R_1 R_2} \frac{q^2}{v_z} \int e^{-i[\vec{q}\vec{z} + q_z \xi(\vec{r})]} d\vec{z} \right\} T_{ij} E_{0j}$$

/14.7/

Ենթադրենք՝ մակերևույթների անհարթությունները նկարագրվում են գաուսյան Քաշխման օրենքով: Այս դեպքում /14.7/-ում գրված ինտեգրալի մոդուլի քառակուսին կարելի է գնահատել մոտարկային եղանակով և գրել ցրման Բևեռացման հետևյալ մատրիցան՝

$$T_{ij} = \overline{E_i E_j^*} = \frac{T_{ic} T_{jk}^* E_{0c} E_{0k}^*}{4R_1^2 R_2^2} \frac{q^4}{v_z^2} W(\vec{\gamma} = -\frac{\vec{\gamma}_{\perp}}{q}) S_0,$$

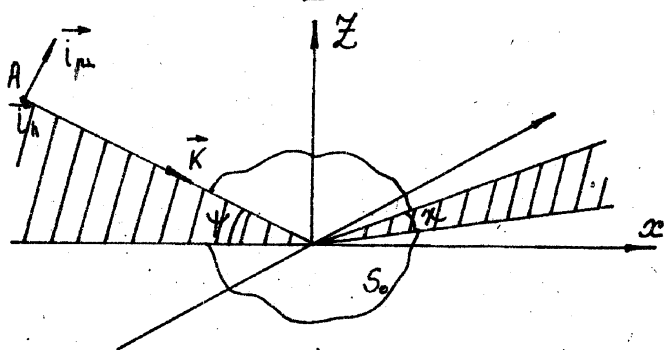
/14.8/

որտեղ S_0 -ն ցրող մակերեսի մեծությունն է,

$$W(\vec{\gamma}) = -\frac{1}{2\pi(\delta_x^2 \delta_y^2)^{1/2}} \exp\left[-\frac{\gamma_x^2}{2\delta_x^2} - \frac{\gamma_y^2}{2\delta_y^2}\right],$$

$$\overline{\delta_x^2} = \frac{\sigma^2}{L_x^2}, \quad \overline{\delta_y^2} = \frac{\sigma^2}{L_y^2} \quad \text{և } L_x\text{-ը, } L_y\text{-ը կո-}$$

ռելյացիայի շտամիդներն են: T_{ik} մատրիցայի տարրերի ֆիզիկական Շոմանդակությունն ավելի ակնհայտ դարձնելու նպատակով քննարկենք հետևյալ երկրաչափական պատկերը՝



նկ. 23

A և B կետերում համապատասխանորեն մտցնենք Քաղսային մեկտորներ՝ \vec{l}_{nA} , \vec{l}_{nB} , \vec{K} և \vec{l}_y , \vec{l}_x , \vec{x} և դիտարկենք /14.8/ մատրիցայի անկյունագծային տարրերը: \vec{l}_y և \vec{l}_x Քաղսում անկման ալիքների երկու տիպերի համար՝ հորիզոնական՝ $\vec{E}_0 \parallel \vec{l}_{nA}$, և ուղղաձիգ՝ $\vec{E}_0 \parallel \vec{l}_{nB}$, Բևեռացված: Այս երկու անկյունագծային տարրերը ներկայացնում են ցրման ինդիկատրիսները, համապատասխանորեն ընկնող ալիքների հորիզոնական / J_{yy}^k / և ուղղաձիգ / J_{xx}^k / Բևեռացումների դեպքում, ըստ որում՝ /14.8/-ից հետևում է, որ

$$J_{yy}^k = J_{xx}^n, \quad J_{yy}^n = J_{xx}^k$$

/14.8/ մատրիցան և նրանից հետևող $J^{k,n}$ ինդիկատրիսները որոշվում են անտենային փորձադաշտի տվյալ կտորի համար: Ելնելով նկ.21 -ից և մոտարկելով փորձադաշտի պրոֆիլը հատվածներով, որոնց մակերևույթները ընտրվում են վիճակագրորեն տրված անհարթություններով, յուրաքանչյուր ալիքի հատված ընտրված ընդհանուր ինդիկատրիսով: n հատվածից Քաղացած փորձադաշտի համար, ընդունման B կետում ցրված և ուղղակի ճառագայթների ինտենսիվությունների հարաբերությանը այժմ կտրվի հետևյալ տեսքը՝

$$\left(\frac{P_{y\text{ըլ}}(B)}{P_{ուղղ}}(B) \right)_{n,h} = \tau^2 \sum_n |F_1(\theta_n') F_2(\theta_n'')|^2 J_n^{k,n}$$

/14.9/

Օգտվելով /14.9/ արտահայտությունից՝ հնարավոր է գնահատել փորձադաշտի անդրադարձրած ինտենսիվության մեծությունը ընդունող անտենայի շրջակայքում: Պետք է նախորդ ենթաբաժնում նկարագրվածի նմանությունը, ընդունող անտենան փոխարինել գոնդով և վերջինս տեղաշարժել B անտենայի Քացվածքին համապատասխանող տիրույթում: Արժանազորված շեղումները հավասարաչափությունից որոշում են նշված ինտենսիվությունների մեծությունները: Փորձը պետք է կատարել ճառագայթող անտենայի երկու՝ հորիզոնական և ուղղաձիգ Բևեռացումների դեպքում:

Ք/ Կոհերենտ Փուլայն- օպտիկայի մեթոդը

ինչպես այս, այնպես էլ նախորդ ենթաբաժնում, փորձադաշտի

մակերևույթի առաջացրած անդրադարձումները գնահատվում էին, ելնելով սկզբնական ալիքի հարթ մակտի՝ այդ անդրադարձումների հետևանքով առաջացած խտորումներից, ըստ որում, երկու մեթոդներն էլ ենթադրում էին միայն ամպլիտուդային չափումներ: Ամելի Քարդացնելով չափումները, այն է՝ կատարելով նաև փուլային Քաշխածուծայան չափումներ, կարելի է ստանալ անդրադարձումների դաշտի առավել լրիվ պատկերը:

Դիցուք՝ դեկարտյան կոորդինատային համակարգի Z առանցքը ուղղված է երկու՝ մատագայթող և ընդունիչ անտենաները միացնող զծով: Այս դեպքում B անտենայի Քացվածքում, փորձադաշտի անդրադարձումների Քացա-կայունության դեպքում կդիտվի քվազիհարթ՝

$$\vec{E} = \vec{E}_0 e^{i(kz - \omega t)} \quad /14.10/$$

ալիքը, որտեղ \vec{E}_0 -ն քվազիհաստատուն մեծություն է: Փորձադաշտի առաջացրած անդրադարձումները Քերում են նրան, որ /14.10/ -ի փոխարեն B անտենայի շրջակայքում առաջանում է ինչ-որ

$$\vec{E}(z, t) = \vec{E}(z) e^{-i\omega t} \quad /14.11/$$

դաշտ: Դիտարկվում են միայն մոնոքրոմատիկ ալիքներ և $k^2 - \omega^2/c^2 = 0$ դիսպերսիոն հավասարումից հետևում է, որ /14.11/ դաշտը կարելի է մերժումը երկչափ Ֆուրյե-ինտեգրալի, օրինակ, հետևյալ տեսքով՝

$$\vec{E}(x, y, z_0) = \iint_{-\infty}^{+\infty} \vec{E}(k_x, k_y) \exp[i(k_x x + k_y y + \sqrt{k^2 - k_x^2 - k_y^2} z_0)] dk_x dk_y \quad /14.12, a/$$

$$\vec{E}(k_x, k_y) = \frac{1}{(2\pi)^2} \iint_{-\infty}^{+\infty} \vec{E}(x, y, z_0) \exp[-i(k_x x + k_y y)] dx dy \quad /14.12, b/$$

/14.12, b/ Քանաձևն ասում է; որ չափելով $E(x, y, z_0)$ մեծությունները, այսինքն, դաշտի ամպլիտուդային և փուլային Քաշխածուծությունները B անտենայի Քացվածքին համապատասխանող $z_0 = 0$ հարթության

մեջ, կարելի է որոշել $\vec{E}(k_x, k_y)$ մեծությունները, որոնք նկարագրում են ընդունող անտենայի վրա ընկնող Քուրր հարթ ալիքների ամպլիտուդներն ու տարածման ուղղությունները: Նման չափումները կանվանենք ամպլիտուդաչափումներ, իսկ մեթոդը՝ ամպլիտուդաչափային մեթոդ:

Իհարկե, անիմաստ կլիներ միանգամից օգտվել /14.12, b/ Քանաձևից: Սրանից հետևում է, որ \vec{E}_x -ն որոշելու համար պետք է չափել \vec{E} կոմպլեքս վեկտորական մեծությունը կոորդինատների փոփոխման անվերջ տիրույթում՝ $-\infty < \{x, y\} < \infty$, ըստ որում այդ չափումները գործնականում կկատարվեն միայն որոշակի դիսկրետ քայլով՝ $\Delta x, \Delta y$: /14.12, b/ Քանաձևը կարելի է Քերել չափան համար պիտանի տեսքի, ելնելով Ֆուրյե-ձևափոխության հատկություններից և օգտվելով կոտելնիկովի թեորեմից, ըստ որի, ցանկացած անընդհատ Ֆունկցիա կարելի է ճշգրիտ վերականգնել սվյալ տիրույթում՝ նրա դիսկրետ արժեքներով:

Դիտարկենք այն դեպքը, որը համընկնում է նախորդ դասախոսություններում քննարկված՝ անտենայի Քացվածքի տիրույթում կատարվող չափումներին: Դիցուք՝ անտենայի Քացվածքի հարթության մեջ ($z = z_0$) տրված է դաշտի /որևէ մի Քաղաղրիչի/ ամպլիտուդային $\alpha(x, y)$ Քաշխածուծությունը ներկայացնենք այն երկչափ Ֆուրյե-ինտեգրալի տեսքով՝

$$\alpha(x, y) = \iint_{-\infty}^{+\infty} A(\xi, \eta) \exp[2\pi i(\xi x + \eta y)] d\xi d\eta \quad /14.13, a/$$

$$A(\xi, \eta) = \frac{1}{(2\pi)^2} \iint_{-\infty}^{+\infty} \alpha(x, y) \exp[-2\pi i(\xi x + \eta y)] dx dy \quad /14.13, b/$$

կոտելնիկովի թեորեմից հետևում է, որ

$$\alpha(x, y) = \sum_{m=-\infty}^{+\infty} \sum_{n=-\infty}^{+\infty} \alpha\left(\frac{m}{\xi_{\max}}, \frac{n}{\eta_{\max}}\right) \frac{\sin[\pi(\xi_{\max} x - m)]}{\pi(\xi_{\max} x - m)} \cdot \frac{\sin[\pi(\eta_{\max} y - n)]}{\pi(\eta_{\max} y - n)} \quad /14.14/$$

և /14.13, b/ արտահայտությունը կարելի է գրել մոտավոր ձևով

$$A(\xi, \eta) \approx \Delta x \cdot \Delta y \sum_{m=-M}^M \sum_{n=-N}^N a(m\Delta x, n\Delta y) \exp[-2\pi i(m\Delta x \xi + n\Delta y \eta)]$$

/14.15/

ընդ որում Δx -ը և Δy -ը բավարարում են Գոմելնիկովի թեորեմից թիող հետևյալ պայմաններին՝

$$\Delta x \leq \frac{1}{f_{max}}, \quad \Delta y \leq \frac{1}{\eta_{max}}$$

/14.15/ ձևափոխությունը անվանվում է դիսկրետ Ֆուրյե-ձևափոխություն։ Այն այնքանով ավելի ճշգրիտ է, որքանով որ մեծ են M և N թվերը։

/14.15/-ում ξ և η պարամետրերն ունեն ակնբերելի չափեր և ֆիզիկական իմաստ՝

$$\xi = \frac{k_x}{2\pi} = \frac{\cos \alpha}{\lambda}, \quad \eta = \frac{k_y}{2\pi} = \frac{\sin \alpha}{\lambda}$$

այն է՝ որոշում են $A(\xi, \eta)$ դաշտի տարածման ուղղությունը։ Այսպիսով, չափելով $a(m\Delta x, n\Delta y)$ կոմպլեքս մեծությունները, կարելի է /14.15/ բանաձևից հաշվել $A(\xi = \frac{\cos \alpha}{\lambda}, \eta = \frac{\sin \alpha}{\lambda})$ Ֆունկցիան, այսինքն՝ որոշել տարբեր ուղղություններից դեպի անտեսան անդրադարձված դաշտերը։ Մենք կանգ չառանք այն թուղոր նրբությունների վրա, որոնք առաջանում են խնդրի ինչպես ֆիզիկական, այնպես էլ մաթեմատիկական հարցադրումներից, այլ միայն նշեցինք անտեսանյին փորձադաշտերի անդրադարձումների որոշման սկզբունքային հնարավորությունը ամպլիֆուլաչափային եղանակով։ Այն շատ հեռանկարային է թվում նաև անարձագանքային խցիկներում կողմնակի անդրադարձումների պատկերը որոշելու գործում։

ԳՐԱՆԱՆՈՒԹՅՈՒՆ

1. Ե.Լ.Ֆայնբերգ. Распространение радиоволн вдоль земной поверхности. Изд-во АН СССР, М., 1961.
2. Փ.Բյսս, Ի.Ֆուկս. Рассеяние волн на статистически неровной поверхности. Мир, 1970.
3. Дж.Гудмен. Введение в фурье-оптику. М., Мир, 1970

ԱՆՏԵՆԱՅԻ ԺԱՌԱԳԱՅՅՄԱՆ ԴԱՇՏԻ ՈՒՂ-Ի ՈՐՈՇՈՒՄԸ ԱՄՂԼԻՓՈՒԼԱ-ԶԱՓԱՑԻՆ ԵՂԱՆԱԿՈՎ ԺԱՌԱԳԱՅՅՄԱՆ ԴԱՇՏԻ ՎԵՐԼՈՒԿՈՒԹՅՈՒՆԸ՝ ԸՍՏ ՍԵՓԱԿԱՆ ՖՈՒՆԿՑԻՆՆԵՐԻ ԵՎ ՎԵՐԼՈՒԿՈՒԹՅԱՆ ԳՈՐԾԱԿԻՑՆԵՆԵՐԻ ԶԱՓՈՒՄԸ ՄԵՐՉԱՆՏԵՆԱՅԻՆ ՊԱՐՓԱԿ ՄԱԿԵՐԵՎՈՒԹՅՈՒՆՆԵՐԻ ՎՐԱ

Յոթերորդ ենթաբաժնում տրվել էր ուղղորդվածության դիագրամի հասկացությունը, որպես անտեսանյի ճառագայթման դաշտի /կամ ինտենսիվության/ անկյունային բաշխվածություն, նրանից բավականաչափ հեռու տիրույթում։ Այնտեղ ցույց էր տրվել, որ $r \gg 2D^2/\lambda$ պայմանի դեպքում, որտեղ D -ն անտեսանյի բացվածքի չափն է, λ -ն՝ ճառագայթվող /ընդունվող/ ալիքի երկարությունը, նրա ուղ-ն ունի հետևյալ տեսքը՝

$$\vec{E} = \frac{e^{ikr}}{r} F(\theta, \varphi)$$

այսինքն՝ ճառագայթման դաշտի կախումը հեռավորությունից տրվում է զրն-դային ալիքի ձևով։ Երբ $D/\lambda \gg 1$ /կարծ ալիքներ կամ մեծ անտեսաներ/, այն հեռավորությունը, որտեղ ձևավորվել է ուղ-ն, կարող է լինել խիստ մեծ։ Այս հանգամանքը առաջացնում է տեխնիկական կարգի դժվարություններ, որոնց հետ կապված փոքրանում է նաև չափման ճշգրտությունը։

Վերջին տարիներս սկսեցին Բուռն թափով զարգանալ չափման նոր մեթոդներ՝ հիմնված ռադիոհոլոգրաֆիայի, մոտ հեռավորության վրա կատարվող չափման վրա և այլն։ Նման չափումը ենթադրում է չափման գործողության լրիվ կամ մասնակի ավտոմատացում, էՀՄ-ի հնարավորությունների լայն օգտագործում, որը Բերում է չափմանը հատկացվող անհրաժեշտ ժամանակամիջոցի կրճատման, նվազեցնում աշխատատարությունը։ Մյուս կողմից՝ ամպլիֆուլաչափային /ճադիոհոլոգրաֆիական/ եղանակը հնարավորություն է տալիս ստանալ ուղ-ի տարածական պատկերը։

Այս ենթաբաժնում կքննարկվեն անտեսանյի ուղ-ի չափման ամպլիֆուլաչային եղանակի հիմնական սկզբունքները։

Մեթոդի էությունը ճառագայթման դաշտը մերձանտեսանյին պարփակ մակերևույթի վրա ըստ խնդրի սեփական ֆունկցիաների՝ վերլուծելույն մեջ է։ Դիցուք՝ տրված են Հելմհոլցի

$$\Delta \Psi_n + \kappa^2 \Psi_n = 0, \quad \kappa = \frac{\omega}{c}$$

/15.1/

հավասարման լուծումները Ψ_n սկալյար ֆունկցիաների տեսքով: Առանց նախապես կոնկրետացնելու տարածության կոնֆիզուրացիան, կառուցենք տված Ψ_n -ով որոշվող սեփական վեկտորական ֆունկցիաները, որոնք բավարարեն Մաքսվելի հավասարումներին: Իրարկենք հետևյալ երեք վեկտորական ֆունկցիաները՝

$$\vec{L}_n = \text{grad } \Psi_n, \quad \vec{M}_n = \text{rot}(\vec{a} \Psi_n), \quad \vec{N}_n = \frac{1}{\kappa} \text{rot rot}(\vec{a} \Psi_n)$$

/15.2/

որտեղ \vec{a} -ն առայժմ կամավոր հաստատուն միավոր վեկտոր է: Փնտրենք \vec{A} վեկտորական պոտենցիալը հետևյալ տեսքով՝

$$\vec{A} = \frac{1}{i\kappa} \sum (a_n \vec{M}_n + b_n \vec{N}_n + c_n \vec{L}_n)$$

/15.3/

Լորենցի պայմանից ունենք՝

$$\text{div } \vec{A} - i\kappa \varphi = 0$$

/15.4/

$$\text{div } \vec{A} = \frac{1}{i\kappa} \sum \left\{ a_n \text{div rot}(\vec{a} \Psi_n) + \frac{b_n}{\kappa} \text{div rot rot}(\vec{a} \Psi_n) + c_n \text{div grad } \Psi_n \right\} = \frac{1}{i\kappa} \sum c_n \Delta \Psi_n = i\kappa \sum c_n \Psi_n,$$

այսինքն՝

$$\varphi = \sum c_n \Psi_n$$

/15.5/

Այնուհետև՝

$$\vec{E} = -\text{grad } \varphi - \frac{1}{c} \frac{\partial \vec{A}}{\partial t} = -\text{grad } \varphi + i\kappa \vec{A} = -\sum c_n \text{grad } \Psi_n +$$

$$+ \sum (a_n \vec{M}_n + b_n \vec{N}_n + c_n \vec{L}_n) = \sum (a_n \vec{M}_n + b_n \vec{N}_n)$$

$$\vec{H} = \text{rot } \vec{A} = \frac{1}{i\kappa} \sum (a_n \text{rot } \vec{M}_n + b_n \text{rot } \vec{N}_n + c_n \text{rot } \vec{L}_n) = \\ = \frac{1}{i} \sum (a_n \vec{N}_n + b_n \vec{M}_n)$$

հորը, եթե հաշվի առնենք /15.2/-ը՝

$$\text{rot } \vec{M}_n = \text{rot rot}(\vec{a} \Psi_n) = \kappa \vec{N}$$

$$\text{rot}(\vec{a} \Psi_n) = \Psi_n \text{rot } \vec{a} + [\text{grad } \Psi_n, \vec{a}] = [\text{grad } \Psi_n, \vec{a}]$$

$$\text{rot rot}(\vec{a} \Psi_n) = \text{rot}[\text{grad } \Psi_n, \vec{a}] = \text{grad } \Psi_n \text{div } \vec{a} - \vec{a} \text{div grad } \Psi_n +$$

$$+ (\vec{a} \text{grad}) \text{grad } \Psi_n - (\text{grad } \Psi_n \text{grad}) \vec{a} = -\vec{a} \text{div grad } \Psi_n +$$

$$+ (\vec{a} \text{grad}) \text{grad } \Psi_n = \kappa^2 \vec{a} \Psi_n + \text{grad}(\vec{a} \text{grad } \Psi_n)$$

քանի որ $\vec{a} = \text{const}$ և $\text{rot grad} = 0$,

$$\text{grad}(\vec{a} \text{grad } \Psi_n) = (\vec{a} \text{grad}) \text{grad } \Psi_n + (\text{grad } \Psi_n \text{grad}) \vec{a} +$$

$$+ [\vec{a} \text{rot grad } \Psi_n] + [\text{grad } \Psi_n \text{rot } \vec{a}] = (\vec{a} \text{grad}) \text{grad } \Psi_n$$

ի վերջո՝

$$\text{rot rot rot}(\vec{a} \Psi_n) = \kappa^2 \text{rot}(\vec{a} \Psi_n) = \kappa^2 \vec{M}_n$$

և

$$\text{rot } \vec{N} = \frac{1}{\kappa} \text{rot rot rot}(\vec{a} \Psi_n) = \kappa \vec{M}_n$$

Այսպիսով,

$$\vec{E} = \sum (a_n \vec{M}_n + b_n \vec{N}_n)$$

$$\vec{H} = -i \sum (a_n \vec{N}_n + b_n \vec{M}_n)$$

/15.6/

/15.6/ արտահայտությունները բավարարում են Մաքսվելի հավասարումներին՝

$$\text{rot } \vec{E} = \sum (a_n \text{rot } \vec{M}_n + b_n \text{rot } \vec{N}_n) = \kappa \sum (a_n \vec{N}_n + b_n \vec{M}_n) = i\kappa \vec{H},$$

$$\text{rot } \vec{H} = -i \sum (a_n \text{rot } \vec{N}_n + b_n \text{rot } \vec{M}_n) = -i\kappa \sum (a_n \vec{M}_n + b_n \vec{N}_n) = -i\kappa \vec{E}$$

/15.7/

\vec{M}_n -ը և \vec{N}_n -ը այն սեփական մեկտորյան Ֆունկցիաներն են, ուստի ուրոնց կարելի է մերժուծել մոտազայման էլեկտրամագնիսական դաշտը և որոնք բավարարում են Մաքսվելի հավասարումներին: Ամենաընդհանուր դեպքում /15.7/ հավասարումներում զուգարի տակ կարելի է հասկանալ ինտեգրալ, եթե համապատասխան սեփական արժեքներն ունեն փոփոխման անուղհատ ընտելք:

Ելնելով /15.6/ բանաձևերից՝ մագազայման \vec{E} և \vec{H} դաշտերի շափումը հանգում է a_n և b_n գործակիցների շափմանը, եթե հայտնի է \vec{M}_n և \vec{N}_n սեփական Ֆունկցիաների լրիվ համարածոն: Քննարկենք այս գործակիցների որոշման երեք տարբերակներ, անտեսան պարփակող երկր տարբեր մակերևույթների՝ գնդային, գլանային և հարթ մակերես-մույթների վրա կատարվող շափումներից:

ա/ Գնդային հարմոնիկների մեթոդը:

Գնդային ժակ մակերևույթի վրա կատարվող շափումների համար հարկ է ելնել /15.1/ հավասարման լուծումներից կոորդինատների Քեռոյին համակարգում/ r, θ, φ /: Այդ լուծումներն ունեն հետևյալ տեսքը՝

$$\Psi_{nm}^e = Z_n(\kappa r) P_n^m(\cos \theta) \frac{\cos m\varphi}{\sin m\varphi}, \quad /15.8/$$

որտեղ $Z_n(\kappa r)$ -ը Հանկելի սֆերիկ Ֆունկցիաներն են կիսաՄորզե ինդեքսներով,

$$Z_n(\kappa r) = \sqrt{\frac{\pi}{2\kappa r}} H_{n+1/2}^{(1)}(\kappa r)$$

/15.8,ա/

ուստ որում /15.8,ա/ -ն Հանկելի առաջին սեռի Ֆունկցիան է: նման ընտրությունը լիովին պայմանավորված է ժամանակային կախման $e^{-i\omega t}$ ունեցողությունից: Իրոր՝ /15.8,ա/ Ֆունկցիայի մոտարկումը մեծ արգումենտների համար / $\kappa r \gg 1$ / ունի՝

$$\frac{e^{i\kappa r}}{\kappa r} \exp[-i(n+1)\frac{\pi}{2}]$$

տեսքը՝ որին համապատասխանում է մոտազայմող անտեսայից տարածվող

$$\frac{e^{i(\kappa r - \omega t)}}{\kappa r}$$

տիպի գնդային ալիք: Եթե $e^{-i\omega t}$ ժամանակային կախման դեպքում ընտրելիք Հանկելի երկրորդ սեռի Ֆունկցիա, /կամ՝ $e^{i\omega t}$ ժամանակային կախման դեպքում Հանկելի առաջին սեռի Ֆունկցիա/ որի մոտարկումն է՝

$$\frac{e^{-i\kappa r}}{\kappa r} \exp[i(n+1)\frac{\pi}{2}],$$

այս /15.8,ա/-ին կհամապատասխաներ դեպի մոտազայմիչը մագող

$$\frac{e^{-i(\kappa r + \omega t)}}{\kappa r}$$

տիպի գնդային ալիք: Այլ խոսքով՝ Հանկելի Ֆունկցիայի սեռը որոշվում է մոտազայմման սկզբունքից:

Գնդային հարմոնիկների տեսքը որոշելիս ալիքի հարմար է /15.2/-ու \vec{a} հաստատուն վեկտորի փոխարեն մեղցնել \vec{z}_0 վեկտոր/որպես սեփական սկալյար Ֆունկցիա դիտարկել $\Psi_n -$ ը: Այս դեպքում գնդային մակերևույթի վրա M_{nm}^e և N_{nm}^e սեփական Ֆունկցիաները ներկայացվում են տանգենցիալ և նորմալ Քաղաղրիչների ձևով, ուստի որում /15.6/-ը $\vec{a} \rightarrow \vec{z}_0$ -ի դեպքում կարելի է ստանալ միանգամայն համաձայնորեն : M_{nm}^e և N_{nm}^e Ֆունկցիաների տեսքը հետևյալն է, եթե նրանք որոշվում են ուստ /15.2/-ի, երբ $\vec{a} = \vec{z}_0 = \vec{z}_0$

$$\vec{M}_{l,m} = \vec{E}_0 A \frac{\sin m\varphi}{\cos m\varphi} - \vec{y}_0 B \frac{\cos m\varphi}{\sin m\varphi}, \quad (\vec{z}_0 \vec{M}) = 0$$

/15.9/

$$\vec{N}_{l,m} = \vec{z}_0 E \frac{\cos m\varphi}{\sin m\varphi} + \vec{\theta}_0 D \frac{\cos m\varphi}{\sin m\varphi} - \vec{y}_0 C \frac{\sin m\varphi}{\cos m\varphi}$$

որտեղ \vec{z}_0 -ն, $\vec{\theta}_0$ -ն, \vec{y}_0 -ն միավոր վեկտորներն են, իսկ

$$A = \frac{m P_n^m(\cos \theta)}{\sin \theta} Z_n(\kappa r), \quad C = \frac{m P_n^m(\cos \theta)}{\sin \theta} \frac{1}{\kappa r} \frac{\partial}{\partial r} [r Z_n(\kappa r)]$$

$$B = \frac{\partial P_n^m(\cos \theta)}{\partial \theta} Z_n(\kappa r), \quad D = \frac{\partial P_n^m(\cos \theta)}{\partial \theta} \frac{1}{\kappa r} \frac{\partial}{\partial r} [r Z_n(\kappa r)]$$

/15.9,ա/

$$E = \frac{n(n+1)}{\kappa r} P_n^m(\cos \theta) Z_n(\kappa r)$$

Օգտվելով /15.9/ Ֆունկցիաների օրթոգոնալության հատկությունից և /15.6/ համասարումներից կարելի է որոշել a_n և b_n գործակիցները: Մտնար արտահայտում են որոշակի $r = z_0$ շառավղով գնդի վրա տրված \vec{E} և \vec{H} դաշտերի E_θ, E_φ և H_θ, H_φ տանգենցիալ ընդհանուր շաղկապներով: z_0 -ի բավականաչափ մեծ, սակայն մեղջավոր արժեքների դեպքում /ստորաբար՝ $z_0 > 10\lambda$ /, երբ կարելի է անտեսել մակաձված /ինդուկցիոն/ դաշտերը՝ $E_\theta = H_\varphi$ և $E_\varphi = -H_\theta$: Հետևաբար, կարելի է սահմանափակել միայն E_θ, E_φ կամ միայն H_θ, H_φ տանգենցիալ ընդհանուր շաղկապներով: Չստրանալով մեթոդաբանական ձևափոխությունների հետ կապված մանրամասների մեջ, գրենք ստացվող արտահայտության սկզբունքային տեսքը.

$$\{a_n, b_n\} = F_n(z_0) \langle E_\theta, E_\varphi; M_\theta, M_\varphi; N_\theta, N_\varphi \rangle /15.10,ա/$$

որտեղ անվյուռն մակագծերը նշանակում են ինտեգրում ըստ φ -ի և θ -ի z_0 շառավղով գնդի մակերևույթի վրա: Օգտվելով Լեճանդրի Քազմանդանների և Հանկելի սֆերիկ ֆունկցիաների հատկություններից, կարելի է ցույց տալ, որ վերլուծության /15.10ա/ գործակիցների համար տեղի ունի էներգիայի հաշվեկշիռի հետևյալ անհրաժեշտությունը՝

$$\int \vec{S} d\vec{S} = \frac{c}{8\pi} \text{Re} \int [\vec{E} \vec{H}^*]_{\vec{z}_0} z^2 d\Omega = \sum K_{nm} (|a_{nm}|^2 + |b_{nm}|^2),$$

որտեղ K_{nm} գործակիցները պայմանավորված են Լեճանդրի Քազմանդանների նորմավորվածությամբ:

Տեղադրելով /15.10 ա/-ն /15.6/-ում, $r = z_0$ մասնավոր դեպքում կարելի է վերականգնել անտեսված մատագայման դաշտը շառավղից հեռավորությունների վրա /Յրաունհոֆերի սֆերոյի / նրա ուղղորդվածության դիարամր: Ստացված արտահայտությունները հարավորություն են տալիս որոշել նաև անտեսված մատագայման մոնոլոբոմատիկ դաշտի համար Ստրոնգի պարամետրերը, այսինքն՝ սրա Բեռնոսցյան Բնութագրերը՝

$$I = |E_\theta|^2 + |E_\varphi|^2, \quad Q = |E_\theta|^2 - |E_\varphi|^2,$$

$$U = E_\theta E_\varphi^* + E_\theta^* E_\varphi = 2 \text{Re}(E_\theta^* E_\varphi),$$

$$V = i(E_\theta E_\varphi^* - E_\theta^* E_\varphi) = 2 \text{Im}(E_\theta E_\varphi^*),$$

$$I^2 = Q^2 + U^2 + V^2 \quad /15.11/$$

Բ/ Գլանային հարմոնիկների մեթոդը:

Այս դեպքում շափումները կատարվում են գլանային մակերևույթի վրա: Եթե առաջին դեպքում հարմար էր, պահելով գոնորը անշարժ, պտտել անտեսան, ապա այս դեպքում Քամական է պտտել անտեսան միայն դստ ազիմուտի տեղաշարժելով գոնորը ուղղաձիգ հարթության մեջ / \neq առանցքին գուգահեռ, ըստ առաջացող գլանի ծնիչի/: Այսպիսով, գոնորի հեռավորությունը պտտման առանցքից համասար է այն գլանի շառավղին, որն ընդգրկում է անտեսան, և որի վրա շափվում են էլեկտրամագնիսական դաշտի ընդհանուր շաղկապները:

Համապատասխան \vec{M}_n և \vec{N}_n ֆունկցիաները որոշվում են /15.1/ և /15.2/ համասարումներից՝ գրված գլանային կոորդինատային համակարգում, ըստ որում /15.1/ համասարման լուծումներն ունեն

$$\psi_{nh} = Z_n(\Lambda \rho) \frac{\cos n\varphi}{\sin n\varphi} e^{ikhz} \quad /15.12/$$

տեսքը: /15.12/ում $Z_n(\Lambda \rho)$ -ը արդեն Հանկելի առաջին սեռի գլանային ֆունկցիան է՝ $H_n^{(1)}(\Lambda \rho)$ -ը, և սեռի ընտրությունը դարձյալ պայմանավորված է ժամանակային $e^{-i\omega t}$ կախվածությամբ, $\Lambda^2 + h^2 = \kappa^2$, $\kappa = \frac{\omega}{c}$: Տեղադրելով /15.12/-ը /15.2/-ում ստանում ենք \vec{M}_n և \vec{N}_n սեփական ֆունկցիաների տեսքը գլանային ρ, φ, z կոորդինատային համակարգում /եթե $\vec{a} = \vec{z}_0$ -ն միավոր վեկտորն է/՝

$$\vec{M}_{nh_0} = \vec{r} \vec{f}_0 \frac{n}{\rho} Z_n(\Lambda \rho) \frac{\sin n\varphi}{\cos n\varphi} - \vec{f}_0 \frac{\partial}{\partial \rho} [Z_n(\Lambda \rho)] \frac{\cos n\varphi}{\sin n\varphi}$$

$$\vec{N}_{nh_0} = \vec{f}_0 \frac{ik}{k} \frac{\partial}{\partial \rho} [Z_n(\Lambda \rho)] \frac{\cos n\varphi}{\sin n\varphi} \vec{r}$$

$$\vec{r} \vec{f}_0 \frac{ikn}{k\rho} Z_n(\Lambda \rho) \frac{\sin n\varphi}{\cos n\varphi} + \vec{z}_0 \frac{\Lambda^2}{k} Z_n(\Lambda \rho) \frac{\cos n\varphi}{\sin n\varphi} \quad /15.13/$$

հնչյուն ասված էր վերը, ըստ այն սեփական արժեքների, որոնք ունեն փոփոխման անընդհատ ընդունված, /15.6/-ում պետք է կատարել հետևյալը: /15.12/ Փունկցիան ներկայացնում է ըստ z առանցքի վազող ալիք և, հետևաբար, h ալիքային թվերը ընդունում է անընդհատ արժեքներ: Այս դեպքում /15.6/-ը հավաստի է ներկայացնել

$$\vec{E} = \sum_n \int_{-\infty}^{\infty} [a_n(h)\vec{M}_n + b_n(h)\vec{N}_n] e^{ikhz} dh$$

$$\vec{H} = -i \sum_n \int_{-\infty}^{\infty} [a_n(h)\vec{N}_n + b_n(h)\vec{M}_n] e^{ikhz} dh \quad /15.6,ա/$$

տեսքով: /15.6,ա/-ում $a_n(h)$ և $b_n(h)$ գործադիցները դարձյալ կարելի է որոշել, օգտվելով /15.12/ Փունկցիաների օրթոգոնալությունից:

$$\{a_n(h), b_n(h)\} = \langle E_\varphi, E_z; M_\varphi, M_z, N_\varphi, N_z \rangle$$

/15.10,բ/

/15.10,բ/-ն Բացահայտ տեսքով մակերևութային հետագրալ է ըստ φ և z կոորդինատների, f_0 շառավղով գլանային մակերևույթի վրա:

հնչյուն ասել էինք, անտեսնալի մոտազայնման դաշտը հեռավոր Ֆրաունհոֆերյան տիրույթում հանդիսանում է գնդային ալիք, որը հարմար է նկարագրել r, θ, φ բևեռային կոորդինատային համակարգում:

/15.6,ա/ հետագրալները հաշվելիս օգտվենք գերաբազ վայրընթացի եղանակից: , թափային կետը, որոշվում է $h = \cos \theta$ պայմանից: $a_n(h)$, $b_n(h)$ գործադիցները, որոնք որոշված են $z=z_0$ վերջավոր հեռավորության վրա կատարված $E_z(h)$, $E_\varphi(h)$ /կամ $H_z(h)$, $H_\varphi(h)$ / մեծությունների շահված արժեքներով, կարելի է գրել մեծ հեռավորությունների վրա, եթե նրանցում կատարվի $h \rightarrow k \cos \theta$ փոխանակումը: /15.6,ա/ արտահայտությունը գերաբազ վայրընթացի եղանակով հետագրելիս, ի վերջո, զալիս է՝

$$\vec{E} = 2k \frac{e^{ikz}}{z} \sin \theta \sum_n i^n \{ \vec{f}_0 a_n(k \cos \theta) + \vec{\theta}_0 i b_n(k \cos \theta) \} e^{in\varphi}$$

$$\vec{H} = \frac{[\vec{z} \vec{E}]}{z}$$

/15.14/

տեսքի: /15.14/-ը հետագոտվող անտեսնալի ուղղն է:

գ/ Հարթ ալիքների մեթոդը:

Դեկարտյան կոորդինատային համակարգում (x, y, z) /15.1/ հավասարման լուծումը հետևյալն է՝

$$\Psi(x, y, z) = e^{i\vec{k}\vec{z}} = e^{i(k_x x + k_y y + k_z z)}$$

/15.15/

Այսինքն, մենք x , y , z առանցքներով ունենք վազող հարթ ալիքներ: Եթե հիմա /15.2/-ում ընդունենք $\vec{a}_0 = \vec{z}_0$, ապա \vec{M} և \vec{N} սեփական Փունկցիաների համար կունենանք հետևյալ արտահայտությունները՝

$$\vec{M} = [\vec{k} \vec{z}_0] e^{i\vec{k}\vec{z}}$$

$$\vec{N} = \frac{1}{k} [\vec{k} [\vec{k} \vec{z}_0]] e^{i\vec{k}\vec{z}} \quad /15.16/$$

հնչյուն հետևում է /15.15/և /15.16/ բանաձևերից, \vec{M} և \vec{N} Փունկցիաների սեփական արժեքները՝ $k_x - \rho$, $k_y - \rho$, $k_z - \rho$ ընդունում են անընդհատ արժեքներ: Ցանկացած $z = \cos \theta t$ հարթության վրա, ելնելով $k^2 - \omega^2/c^2 = 0$ դիսպերսիոն հավասարումից՝ /15.6/-ը կարելի է գրել \vec{E} և \vec{H} վեկտորների տանգենցիալ Բադարիչների

կրկնակի ֆուրյե-ձևափոխության տեսքով՝

$$\vec{E}_z = \iint \vec{E}_z(k_x, k_y) \exp[i(k_x x + k_y y + \sqrt{k^2 - k_x^2 - k_y^2} z_0)] dk_x dk_y$$

$$\vec{H}_z = \iint \vec{H}_z(k_x, k_y) \exp[i(k_x x + k_y y + \sqrt{k^2 - k_x^2 - k_y^2} z_0)] dk_x dk_y$$

/15.17/

որտեղ՝

$$\vec{E}_z = a(k_x, k_y) \vec{M}_z + b(k_x, k_y) \vec{N}_z$$

և

$$\vec{H}_z = -i [a(k_x, k_y) \vec{N}_z + b(k_x, k_y) \vec{M}_z]$$

/15.18/

/15.17/ ինտեգրալը գլանային հարմոնիկների նմանությամբ ինտեգրվում է գերաբազ վայրընթացի եղանակով, ըստ որում՝ անտենայից մեծ հեռավորությունների վրա, եթե արտահայտել x -ը և y -ը Բլեռային կոորդինատներով՝ z -ով, θ -ով, φ -ով, ապա ρ , θ մեթոդին, կետերը որոշվում են հետևյալ ձևով՝

$$k_x = k \sin \theta \cos \varphi$$

$$k_y = k \sin \theta \sin \varphi$$

/15.19/

ի վերջո, /15.17/-ը Բերում է հետագոտվող անտենայի ուղի-ի համար հետևյալ արտահայտությանը՝

$$\vec{E}(z, \theta, \varphi) = ik \cos \theta \frac{e^{ikz}}{z} \vec{A}(k \sin \theta \cos \varphi, k \sin \theta \sin \varphi), \quad \vec{H} = \frac{[\vec{z} \vec{E}]}{z}$$

/15.20/

որտեղ՝

$$\vec{A} = \frac{1}{(2\pi)^2} \iint \left\{ a(k \sin \theta \cos \varphi, k \sin \theta \sin \varphi) [\vec{k} \vec{z}_0] + b(k \sin \theta \cos \varphi, k \sin \theta \sin \varphi) [\vec{k} [\vec{k} \vec{z}_0]] \right\} \exp[-ik(x \sin \theta \cos \varphi + y \sin \theta \sin \varphi)] dx dy$$

/15.14/

Մենք քննարկեցինք երեք մեթոդներ, որոնք սկզբունքորեն հնարավորություն են ստեղծում վերականգնել անտենայի ճառագայթման դաշտը մեծ հեռավորությունների վրա, ըստ անտենայի մոտակա տիրույթում կատարված դաշտի անվիտուղի և փուլի չափումների: Իհարկե, մենք չխորացանք այս չափումների ֆիզիկական և մաթեմատիկական շատ մանրամասների մեջ և դիտարկեցինք հաջգի սկզբունքային դրվածքը:

Համեմատելու, հարկ է ուշել հետևյալը՝

Բ/ և գ/ տիպի չափումներում սկզբունքային նշանակություն է ստանում չափման տիրույթի որոշումը, մինչդեռ ա/ տիպի չափումներում այն պայմանավորված է հիմնականում սարքերի զգայնությամբ և օգտագործվող էՀՄ-ի հիշողության ծավալով:

Բ/ և գ/ չափումներում տիրույթի չափսերը կախված են չափման մակերևույթի հեռավորությունից և ալիքի երկարությունից; իսկ ա/ տիպի չափումներում այսպիսի սահմանափակումը կարող է պայմանավորված լինել միայն չափող զոնդի և փորձարկվող անտենայի որոշակի մոխաղարձ դիրքով: Բ/ և գ/ տիպի չափումներում, քանի որ չափման ղնթացքում մոտիվում է չափող զոնդի և անտենայի մոխաղարձ դիրքը, անհրաժեշտ է լինում հաշվի առնել չափող զոնդի ուղի-ն: ա/ տիպի չափումներում սրա անհրաժեշտությունը չկա: Բոլոր տիպի չափումներում պետք է որոշել այն անհրաժեշտ դիսկետը, ըստ որի զոնդը չափում է փորձարկվող անտենայի ճառագայթման դաշտը:

ԳՐԱԿԱՆՈՒԹՅՈՒՆ

1. Дх.Стреттон. Теория электромагнетизма. М., ГИИТЛ, 1947.
2. A.C.Ludwig. Near-Field - Far Field Transformation With the Spherical Harmonics. "IEEE Trans.AP", AP-19, No.2, March 1971.
3. P.J.Wood. The Prediction of Antenna Characteristics from Spherical Near Field Measurements. Part I. Theory. "The Marconi Review", XL, No. 204, First quarter, 1977.

ԽՆԴԻՐՆԵՐԻ ԵՎ ՎԱՐՃՈՒԹՅՈՒՆՆԵՐ

1. Հաշվել դիպոլային ճառագայթման դաշտի ինտենսիվությունը:

Ցուցում. Հաշվարկը կատարել վեկտորական պոտենցիալի միջոցով և հաշվի առնել, որ $\lambda \gg a$, որտեղ a -ն դիպոլի չափն է:

2. Ապացուցել, որ v ծավալում տրված $U(x, y, z)$ և $V(x, y, z)$ Ֆունկցիաների համար, որոնք անընդհատ են սովյալ տիրույթում և ունեն անվավեր միջև երկրորդ կարգի անընդհատ ածանցյալներ ընդհուպ միջև v ծավալը սահմանափակող S մակերևույթը, իրավասու է հետևյալ Բանաձևը/Գրի-նի Բանաձև/՝

$$\int_V (\Delta U - V \Delta U) dv = - \oint_S (U \frac{\partial V}{\partial n} - V \frac{\partial U}{\partial n}) dS,$$

որտեղ n -ը S մակերևույթի ներքին նորմալն է:

Ցուցում. օգտվել Գաուս-Օստրոգրադսկու թեորեմից:

3. Ստանալ Կիրխհոֆի ինտեգրալի արտահայտությունը ոչ մոնոքրոմատիկ ալիքների համար:

Ցուցում. օգտվել նախորդ խնդրում ստացված Գրի-նի Բանաձևից և երկրորդ ենթաբաժնում շարադրված մեթոդից:

4. Ճառագայթման խնդիրների լուծումների վրա սովորաբար դրվում է /տես, ենթաբաժին 3-րդ /

$$\lim_{R \rightarrow \infty} R \left(\frac{\partial \Psi}{\partial R} - i k \Psi \right) = 0$$

պայմանը, որը հայտնի է որպես ճառագայթման պայման:

Ցույց տալ, որ այս պայմանի կատարումը նշանակում է, որ Ψ Ֆունկցիան նկարագրում է աղբյուրից տարածվող վազող ալիք:

Ցուցում. օգտվել Գրի-նի Բանաձևից:

5. Ցույց տալ, որ էլեկտրամագնիսական դաշտի կոմպլեքս ներկայացման դեպքում Պոյնտինգի վեկտորը կընդունի

$$\frac{c}{8\pi} \operatorname{Re} [\vec{E} \vec{H}^*]$$

կամ մոնոքրոմատիկ դաշտերի համար

$$\frac{c}{16\pi} \{ [\vec{E}^* \operatorname{rot} \vec{E}] - [\vec{E} \operatorname{rot} \vec{E}^*] \}, \quad \kappa = \frac{\omega}{c}$$

տեսքը:

*) Աստղանիշով խնդիրները նպատակահարմար է հանձնարարել սեմինար պրոպոնուցների համար:

Ցուցում. աստղանիշով տրված են կոմպլեքս համալուծ մեծությունները: Հաշվի առնել, որ դիտվում է Պոյնտինգի վեկտորի միջին արժեքն ըստ ժամանակի և օգտվել Մաքսվելի հավասարումներից, որտեղ ժամանակային կախումը տրված է $e^{-i\omega t}$ ձևով:

6. Ցույց տալ, որ /7.11/ Բանաձևերում համապատասխանորեն՝

$$-\frac{1}{4\pi i \kappa} \oint \operatorname{grad} \psi (\vec{H} d\vec{\ell}), \quad -\frac{1}{4\pi} \int \operatorname{grad} \psi (\vec{n} \vec{E}) dS$$

և

$$\frac{1}{4\pi i \kappa} \oint \operatorname{grad} \psi (\vec{E} d\vec{\ell}), \quad \frac{1}{4\pi} \int \operatorname{grad} \psi (\vec{n} \vec{H}) dS$$

անդամները փոխդարձաբար չեզոքացնում են միմյանց Բացվածքից շատ մեծ հեռավորությունների վրա և դիֆրակցիայի փոքր անկյունների դեպքում:

Ցուցում. $\psi = \frac{e^{i\kappa z}}{z}$, $\nabla \psi = (i\kappa - \frac{1}{z}) \frac{e^{i\kappa z}}{z} \vec{z} \approx i\kappa \vec{z} \frac{e^{i\kappa z}}{z}$, երբ $z \rightarrow \infty$:

7. Ցույց տալ, որ /7.11/ Բանաձևերով նկարագրվող դաշտերը Բավարարում են Մաքսվելի

$$\operatorname{rot} \vec{H}(P) = -i\kappa \vec{E}(P), \quad \operatorname{rot} \vec{E}(P) = i\kappa \vec{H}(P)$$

հավասարումներին:

Ցուցում. դիֆերենցումը կատարել ըստ P կետի կոորդինատների: 8. Ուղղանկյուն մեղք ունեցող իդեալական հողորդիչ անվերջ եկրանի հարթությունը համընկնում է $z = 0$ հարթությանը: $z < 0$ տիրույթից, x -երի առանցքի նկատմամբ α անկյան տակ ընկնում է հարթ ալիք՝

$$\vec{E} = \{ \sin \alpha, 0, \cos \alpha \} \exp[-i\kappa(x \cos \alpha - z \sin \alpha)]$$

$$\vec{H} = \{ 0, 1, 0 \} \exp[-i\kappa(x \cos \alpha - z \sin \alpha)]$$

Ուղղանկյուն մեղքի չափսերն են՝

$$-\frac{a}{2} \leq x \leq \frac{a}{2}, \quad -\frac{b}{2} \leq y \leq \frac{b}{2}$$

Ելնելով /7.14/ և /7.15/ Բանաձևերից հաշվել դիֆրակցիոն դաշտը $z > 0$ տիրույթում.

ա/ ճեղքից բավական մեծ, սակայն, վերջավոր Z հեռավորության վրա,

բ/ երբ $z \rightarrow \infty$,

գ/ քննարկել փուլում քառակուսային մոտավորության անդամների ան- տեսման անհրաժեշտ և բավարար պայմանները.

Ցուցում. օգտվել՝ ա/ Ֆրենելի Ֆունկցիաներից; որոշված

$$F(x) = \int_0^x e^{it^2} dt$$

տեսքով, բ/ նրանց մոտարկումից, երբ $x \rightarrow \infty$

$$F(x) \sim \frac{\sqrt{\pi}}{2} e^{i\frac{\pi}{4}} - \frac{i}{2x} e^{-ix^2}$$

գ/ դեկարտյան և գնդային կոորդինատային համակարգերում մեկտորների բաղադրիչների միջև եղած առնչություններից /տես, 32-րդ խնդիրը/:

9. Անտեսայի ուղղորդված գործողության գործակցի /ուլգո/՝ G_0 -ի և գործող մակերեսի՝ S_g -ի, միջև կապը տրվում

$$G_0 = d S_g$$

Բանաձևով /տես ենթաբաժին 9-րդ, /9.10/ Բանաձևը/:

Որոշել համեմատականության d գործակցի արժեքը՝

ա/ հաշվարկելով դիպոլի ցրման հատույթի մակերեսը և օգտվելով դիպոլի

$$F(\theta) = \sin \theta$$

ուղղորդվածության դիագրամից,

բ/ օգտվելով /10.12/ Բանաձևից և անտեսային ջերմաստիճանի համար ստաց- ված արտահայտություններից,

10. Որոշել գծային օսցիլյատորի վրա հարթ, գծային Բևեռացված ալիքի ցրման հատույթը, հաշվի առնելով ճառագայթման արգելված մասնիկները:

11. Երկու համարժեք անտեսաների համար ուղիղհարողման /9.4/ հավասա- րումը կարելի է ներկայացնել

$$P_{\text{ընդ}} = \frac{\lambda^2}{(4\pi r)^2} G^2 P_{\text{առա}}$$

տեսքով, որտեղից՝

$$G = \frac{4\pi r}{\lambda} \sqrt{\frac{P_{\text{ընդ}}}{P_{\text{առա}}}}$$

Այսպիսով, ուղղորդված գործողության գործակցի (G) որոշումը հանգում է $P_{\text{ընդ}}/P_{\text{առա}}$ հարաբերության չափմանը: Այդ Բևեռներն այս չափումը կա- րելի է կատարել հեռույալ կերպ. նախ՝ չափել ընդունող անտեսայի մուտ- քի ազդանշանի մեծությունը, այնուհետև տեղափոխել և միացնել ընդունիչը անմիջականորեն ճառագայթող անտեսայի ելքին, չափելու համար ճառագայթ- վող հզորության և ընդունող անտեսայի մուտքին չափված ազդանշանի հարա- բերական մեծությունը՝ $P_{\text{ընդ}}/P_{\text{առա}}$ -ը:

Ցույց տալ, որ՝ ունենալով և՛ ընդունիչ, և՛ ճառագայթող անտեսային սարքերում համարժեք ընդունիչներ, գեներատորներ և մարիչներ/առնչու- ւորներ /կարելի է $P_{\text{ընդ}}/P_{\text{առա}}$ հարաբերության չափումն իրացնել առանց տեղափոխումների և շատ ավելի արագ: Նկարագրել չափման եղանակը: Քննարկել չափման սխալները:

Ցուցում. ա/ համարել $\eta_0 = 1$, այսինքն՝ $G = \tilde{G}$,

բ/ անցնել դեցիբելային միավորների՝ $10 \lg G = 10 \lg \frac{4\pi r}{\lambda} + 5 \lg \frac{P_{\text{ընդ}}}{P_{\text{առա}}}$

գ/ չափման սխեման և ճառագայթող և ընդունող կողմերում ընդունել նույնը,

դ/ արդյունքում չափում է երկու անտեսաների միջև ազ- դանշանի մարման կրկնապատիկը,

ե/ անտեսաները համաձայնեցված են ըստ Բևեռացումների:

12. Առանցքային-սիմետրիայի դեպքում անտեսայի ուղ-ը կարող է ունենալ հեռույալ տեսքը՝

$$F(\theta) = e^{-d \left(\frac{\theta}{\theta_{0.5}}\right)^2}$$

որտեղ $\theta_{0.5}$ -ը որոշվում է $F^2(\theta) = 0,5$ հավասարումից:

Քննարկել այսպիսի անտեսայի ուլգո-ի կամ ուլգ-ի կախումը θ/λ հարաբերությունից / θ -ն անտեսայի բացվածքի տրամագիծն է, λ -ն՝ ալիքի երկարությունը/:

Ցուցում. Ենթադրել, որ $\theta_{0.5} = \kappa \frac{\lambda}{D}$, κ -ն հաստատուն գործա- կից է:

13. Որոշել էլեկտրամագնիսական հարթ ալիքի Բևեռացման էլիպսը՝ ըստ տրո- ված կոմպլեքս ամպլիտուդի: Չևակերպել Ստոքսի պարամետրերը մոնոքրոմատիկ ալիքների համար:

14. Չևակերպել Ստոքսի պարամետրերը անտեսայի ճառագայթման մոնոքրոմա- տիկ դաշտի F_θ և F_φ բաղադրիչների օգնությամբ:

15. Դիցուք՝ ճառագայթման դաշտը նկարագրվում է E_x և E_y բաղադրիչ- ներով: $z = \text{const}$ հարթության մեջ, x -երի առանցքի նկատմամբ

η-անկյան տակ տեղադրված է չափող զծային Բևեռացված անտենան/զոնդը/։
 ա/ ցույց տալ, որ չափող ինտենսիվության կախումը η անկյունից
 տրվում է հետևյալ բանաձևով՝

$$P(\eta) = \frac{1}{2} \left\{ |E_x|^2 + |E_y|^2 + \left[|E_x|^2 + |E_y|^2 - \frac{4|E_x||E_y| \sin^2 \varphi}{|E_x|^2 - |E_y|^2} \right]^{1/2} \cos 2(\eta - \eta_0) \right\}$$

որտեղ φ -ն E_x և E_y Բաղադրիչների միջև եղած փուլերի տար-
 բերությունն է, η = η₀ -ն համապատասխանում է չափող ազդանշանի
 էքստրեմումին և հավասար է՝

$$\operatorname{tg} 2\eta_0 = \frac{2|E_x||E_y|}{|E_x|^2 - |E_y|^2} \cos^2 \varphi$$

Բ/ քննարկել զծային, շրջանային, էլիպսային Բևեռացման դեպքերը և կա-
 ոուցել համապատասխան գրաֆիկները /«հանտելային»-կոր /:

16. Օգտվելով նախորդ խնդրում ստացված բանաձևից, ցույց տալ, որ մա-
 ճազային դաշտի Բոլոր, Բնութագրերը, Բացառությամբ Բևեռացման գոտման
 ուղղության, կարելի է չափել զծային Բևեռացված զոնդի օգնությամբ՝

դիրքորոշելով վերջինս երեք տարբեր ուղղություններով՝ η₁, η₂, η₃ :
 Ցուցում. հարմար է մտցնել էլիպսականության անկյան հասկացու-
 թյունը, որպես՝

$$2\alpha = \arcsin \left\{ \frac{2|E_x||E_y|}{|E_x|^2 + |E_y|^2} \right\}$$

17. Օգտվելով 15-րդ և 16-րդ խնդրների արդյունքներից՝ մշակել ան-
 տենայի մոտազային դաշտի Բևեռացման Բնութագրերի /Բացառությամբ Բևե-
 ռացման գոտման ուղղության/ չափման եղանակ, ,խաչ-վիճրատորի,, օգնու-
 թյամբ:

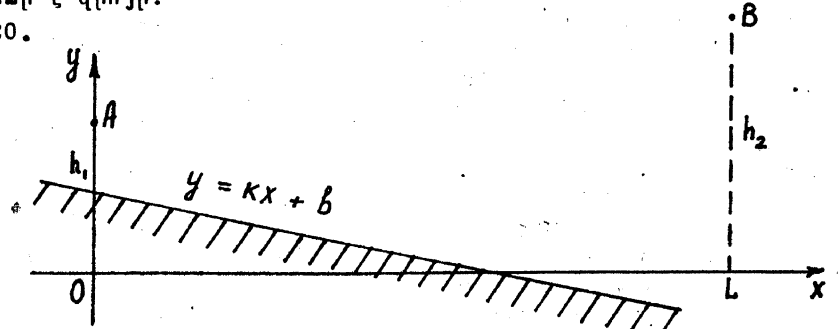
Ցուցում. ա/ , ,խաչ-վիճրատորի,, թևերը կոմուտացվում են զույգ
 առ զույգ; այնպես, որ η անկյունն ընդունի 0, $\frac{\pi}{4}$
 և $\frac{\pi}{2}$ արժեքները:

Բ/ Քննարկել կոմուտացիայի հետևանքով ուղ-ի մեծության
 հնարավոր փոփոխությունը և սրա չեզոքացման եղանակ-
 ները:

18. Հաշվել անվերջ, հարթ, իդեալական հաղորդիչ էկրանից h Բարձրու-
 թյան վրա տեղադրված էլեկտրական դիպոլի դաշտը: Քննարկել երկու Բևեռա-
 ցումների դեպքերը՝ ուղղաձիգ և հորիզոնական:

19. Օգտվելով երկու դիէլեկտրիկների սահմանին ընկնող հարթ էլեկտրա-
 մագնիսական ալիքների համար Ֆրենելի բանաձևերից՝ որոշել այն անկ-
 ման անկյունը, որի դեպքում անդրադարձված ալիքը լրիվ Բևեռացված է
 /Բոլոր ստերի անկյուն/։ Ցույց տալ, որ ուղղաձիգ Բևեռացման դեպքում
 Բյուլստերի անկյան տակ անդրադարձված ալիքի ինտենսիվությունը հավա-
 սար է զրոյի:

20.



Նկարում պատկերված է անտենայի փորձադաշտի հատույթը x, y, z = 0
 կոորդինատական համակարգում: A (0, h₁, 0) կետում տեղադրված է
 կետային իզոտրոպ մոնոզայթիչ, B (L, h₂, 0) կետում՝ նույնպիսի ըն-
 դունիչ: y = kx + b հավասարումը փորձադաշտի /որը ենթադրվում է
 երկչափ / կտրվածքի հավասարումն է:

ա/ Օգտվելով անդրադարձման եղանակից՝ որոշել y = kx + b հար-
 թության վրա, դեպի B կետը անդրադարձման Ֆրենելյան առաջին տիրույ-
 թը /ստանալ էլիպսի առանցքների մեծությունները/,

Բ/ նույնը, երբ y = kx + b հարթությունը դիէլեկտրիկ է՝ n = √ε;

գ/ քննարկել h₁ > b, h₂ > kL + b պայմանների ֆիզիկական Բո-
 վանդակությունը:

Ցուցում. կառուցել A -ի հայելային պատկերը y = kx + b
 հարթության նկատմամբ, միացնել այն ուղիղ գծով B -ին և տանել այս
 ուղիղին ուղղահայաց՝ x, y հարթության մեջ:

21. Ստանալ /14.5/ արտահայտությունը ելնելով Գրինի վեկտորական Բանա-
 ձևից, Կիրխհոֆի -Կուլերի ինտեգրալ Բանաձևից /6.5/ և հաշվի առնելով
 շաշտերի արժեքը գետնի վրա:

22. Ցույց տալ, որ ստացիոնար փուլի կետում /14.5/ արտահայտության մեջ՝

$$\vec{\beta} = \vec{a} - 2\vec{n}_0(\vec{n}_0 \cdot \vec{a}),$$

$$\vec{q} = \kappa(\vec{\beta} - \vec{a}) = 2\kappa\vec{n}_0(\vec{n}_0 \cdot \vec{\beta}),$$

որտեղ՝

$$\vec{n}_0 = \frac{\vec{q}}{q}, \quad \vec{q} = \vec{x} - \vec{r},$$

$$\chi = \kappa\vec{\beta} = -\kappa\vec{\nabla} R_2,$$

$$\vec{r} = \kappa\vec{a} = \kappa\vec{\nabla} R_1,$$

23. Բողոսել տրված դաշտի Բևեռացման մատրիցան՝ J_{ik} -ն /ենթաբաժին 14-րդ/ Ստորսի Բևեռացման մատրիցայի հետ:

Քննարկել մատրիցայի տարրերի ֆիզիկական իմաստը:

24. Ապացուցել կոտելնիկով-նայկվիստի թեորեմը: Ցույց տալ, որ $z = const$ հարթության վրա կատարվող չափումներում $k^2 - \omega^2/c^2 = 0$ դիսպերսիոն հավասարումից հետևում է, որ $\xi_{max} = l/\lambda$ և $\eta_{max} = l/\lambda$ և, համապատասխանաբար՝ $\Delta x_{min} = \lambda/2$ և $\Delta y_{min} = \lambda/2$:

Ցուցում. ξ -ն և η -ն այսպես կոչված, տարածական համախառնություններն են, Δx -ը և Δy -ը՝ չափան ղիսկրեան՝ քայլի մեծությունները /տես ենթաբաժին 14-րդ/:

25. Ցույց տալ, որ Հելմհոլցի՝

$$\Delta \Psi_{nm0} + \kappa^2 \Psi_{nm0} = 0$$

սկալյար հավասարմանը Բավարրող

$$\Psi_{nm0} = \sum_n (k_n) P_n^m(\cos \theta) \frac{\cos m\varphi}{\sin m\varphi}$$

Ֆունկցիաների օգնությամբ /տես ենթաբաժին 15-րդ/ կառուցված

$$\vec{M}_{nm0} = \text{rot}(\vec{a} \Psi_{nm0}) \quad \text{և} \quad \vec{N}_{nm0} = \frac{1}{\kappa} \text{rot} \text{rot}(\vec{a} \Psi_{nm0})$$

վեկտորական ֆունկցիաները կԲավարրան

$$\text{rot} \vec{M}_{nm0} = \kappa \vec{N}_{nm0}, \quad \text{rot} \vec{N}_{nm0} = \kappa \vec{M}_{nm0}$$

հավասարումներին, երբ $\vec{a} = \vec{z}_0$:

Ցուցում. հաշվարկը կատարել կոորդինատների գնդային համակարգում:

26. Ցույց տալ, որ

ա/ կոորդինատների գլանային համակարգում (ρ, φ, z) նախորդ խնդրում առաջարկված հավասարումները կԲավարրվեն, երբ $a = \vec{z}_0$ և

$$\Psi_{nh0} = \sum_n (A_n) \frac{\cos n\varphi}{\sin n\varphi} e^{ikz}, \quad (\Lambda^2 + k^2 = \kappa^2)$$

տես, նաև, ենթաբաժին 15-րդ/,

բ/ մառազայթման դաշտը, գրված

$$\vec{E} = \int \sum (a_{nh0}(h) \vec{M}_{nh0} + b_{nh0}(h) \vec{N}_{nh0}) e^{ikhz} dh$$

$$\vec{H} = -i \int \sum (a_{nh0}(h) \vec{N}_{nh0} + b_{nh0}(h) \vec{M}_{nh0}) e^{ikhz} dh$$

տեսքով, կԲավարրի Մաքսվելի հավասարումներին,

գ/ գերաբազ վայրընթացի եղանակով կատարվող ինտեգրումը Բերում է /երբ $hz \gg 1$ / մառազայթման դաշտի համար հետևյալ արտահայտությանը, գրված z, θ, φ կոորդինատների գնդային համակարգում

$$\vec{E} = 2\kappa \frac{e^{ikz}}{z} \sin \theta \sum \{ \vec{y}_0 a_n(\kappa \cos \theta) + i \vec{\theta}_0 \beta_n(\kappa \cos \theta) \} e^{in\varphi},$$

$$\vec{H} = \frac{[z \vec{E}]}{z}$$

որտեղ a_n և β_n գործակիցները արտահայտվում են a_{n0} -ի և b_{n0} -ի միջոցով:

27. Օգտվելով $\vec{L}, \vec{M}, \vec{N}$ ֆունկցիաների տեսքից կոորդինատների դեկարտյան համակարգում՝ ցույց տալ, որ անտենայի մառազայթման դաշտը կարելի է ներկայացնել գնդային կոորդինատային համակարգում

$$\vec{E} = i\kappa \cos \theta \frac{e^{ikz}}{z} \vec{A} (\kappa \sin \theta \cos \varphi, \kappa \sin \theta \sin \varphi)$$

$$\vec{H} = \frac{[z \vec{E}]}{z}$$

տեսքով, եթե ինտեգրումը կատարվի գերաբազ վայրընթացի եղանակով:

Ցուցում. ներկայացնել մառազայթման դաշտը՝ E -ն, $z=0$

հարթության վրա երկչափ ֆուրյե-վերլուծության տեսքով՝

$$\vec{E} = \frac{1}{2\pi} \iint \vec{A}(k_x, k_y) \exp[i(k_x x + k_y y + k_z z)] dk_x dk_y,$$

հաշվի առնելով, որ $k_z = \sqrt{k^2 - k_x^2 - k_y^2}$:

28. Ելնելով Հանկելի Ֆունկցիաների Դեբայի մոտարկումից՝ ցույց տալ, որ մատագայթման դաշտը նկարագրող գնդային հարմոնիկների թիվը չի գերազանցում $4\pi^2 R \sin \alpha / \lambda$ -ին, որտեղ $R \sin \alpha$ -ը անտենան ընդգրկող փոքրագույն գնդի շառավիղն է:

29. Ցույց տալ, որ Լեժանդրի միացված Բագմանդամների համար տեղի ունի օրթոգոնալության հետևյալ պայմանը՝

$$\int_0^\pi \left(\frac{\partial P_n^m(\cos \theta)}{\partial \theta} \frac{\partial P_{n'}^m(\cos \theta)}{\partial \theta} + \frac{m^2 P_n^m(\cos \theta) P_{n'}^m(\cos \theta)}{\sin^2 \theta} \right) \sin \theta d\theta = 0, \text{ երբ } n \neq n'$$

$$= \frac{2}{2n+1} \frac{n+m}{n-m} n(n+1), \text{ երբ } n = n'$$

30. Ստանալ 15-րդ ենթաբաժնում բերված վերլուծության a_n և b_n գործակիցների Բացահայտ տեսքը գնդային հարմոնիկների միջոցով: Ցույց տալ, որ Բավականաչափ մեծ շառավղով գնդային մակերևույթի վրա

$$E_\theta \sim E_\varphi \text{ և } E_\varphi \sim H_\theta:$$

Ցուցում. դաշտերը ներկայացնել $\vec{E} = \sum a_N \vec{E}_N$ և $\vec{H} = \sum a_N \vec{H}_N$ վերլուծության տեսքով, որտեղ a_N -ը a_n և b_n գործակիցներն են, որված E և H տիպի ալիքների համար: Օգտվել \vec{M} և \vec{N} Ֆունկցիաների օրթոգոնալության հատկություններից և Հանկելի սֆերիկ Ֆունկցիաների վոտնսկիանից:

31. Դեկարտյան (x, y, z) և գնդային (r, θ, φ) կոորդինատական համակարգերի միջև կապը տրված է

$$x = r \sin \theta \cos \varphi$$

$$y = r \sin \theta \sin \varphi$$

$$z = r \cos \theta$$

ձևով: Ցույց տալ, որ կամայական \vec{A} վեկտորի Բաղադրիչները մի համակարգից մյուսին անցնելիս ձևափոխվում են հետևյալ օրենքով՝

$$A_z = A_x \sin \theta \cos \varphi + A_y \sin \theta \sin \varphi + A_z \cos \theta$$

$$A_\theta = A_x \cos \theta \cos \varphi + A_y \cos \theta \sin \varphi - A_z \sin \theta$$

$$A_\varphi = -A_x \sin \varphi + A_y \cos \varphi$$

Բ Ո Վ Ա Ն Դ Ա Կ Ո Ւ Թ Յ Ո Ւ Ն

Ներածություն	3
Կիրխոֆի ինտեգրալի արտածումը	11
Դիֆրակցիայի երկչափ խնդիրը: Գրինի Ֆունկցիայի մեթոդը	20
Կիրխոֆի տեսության քննադատությունը	28
Ռելեյի մեթոդը	34
Գրինի քանաձևի վեկտորական համաբանությունը: Կիրխոֆի ինտեգրալ քանաձևերի արտածումը էլեկտրամագնիսական ալիքների համար	44
Ձևափոխություններ Կիրխոֆի ինտեգրալների հետ էկրանի վրա առաջացրած բացվածքի դեպքում	50
Փոխադարձության սկզբունքը /Լորենցի լեմմա/	58
Անտենայի դաշտը ընդլայնվող հիմնական պարամետրերը	64
Անտենայի դաշտը ընդլայնվող հիմնական պարամետրերը /շարունակություն /	71
Անտենաների պարամետրերի չափման տեսության հարցեր	78
Անտենաների պարամետրերի չափման տեսության հարցեր /շարունակություն /	84
Անտենաների պարամետրերի չափման տեսության հարցեր /շարունակություն /	88
Անտենաների պարամետրերի չափման տեսության հարցեր /շարունակություն /	94
Անտենայի մատագայթման դաշտի ուղի-ի որոշումը ամպլիֆուլաչափային եղանակով	103
Խնդիրներ և վարժություններ	114

ԳԱԶԱՐՑԱՆ ԷԴՄՈՆԴ ԴԱՎԹԻ
ԱՆՏԵՆԱՑԻՆ ՀԱՄԱԿԱՐԳԵՐԻ ԱՆԱԼԻՋԸ ԵՎ ՍԻՆՑԵՋԸ

Հրատարակչության խմբագիր՝ Լ. Գ. ՄԱՆՈՒՑՅԱՆ
Տեխնիկական խմբագիր՝ Ֆ. Գ. ՏՈՆՈՅԱՆ

24

ՎՖ 06326: Պատվեր 176: Տպարանակ 300: Ստորագրված է տպագրության
30.05.1983թ.: Թուղթ № 2, չափեր 60.84 1/16, տպագրության եղանակը՝
,,ֆոթո օֆսեթ,,: Հրատարակչական 4,9 մամուլ: Տպագրական 7,5 մամուլ,
7,2 պայմանական մամուլի: Գինը՝ 20 կոպ.:
Երևանի համալսարանի հրատարակչություն, Երևան, Մոսկվյան փ. № 21:

Издательство Ереванского университета, Ереван, Мравяна № 1.

Երևանի համալսարանի ,,Ռոտապրինտ,, արտադրամաս, Երևան, Մոսկվյան փ. № 21

Цех "Ротапринт" Ереванского университета, Ереван, ул. Мравяна 1.